

АЗЭРБАЙЧАН ССР ЕЛМЛЭР АКАДЕМИЯСЫ
АКАДЕМИЯ НАУК АЗЕРБАЙДЖАНСКОЙ ССР

МЭРҮЗЭЛЭР ДОКЛАДЫ

ТОМ ХХII ЧИЛД

6

АЗЭРБАЙЧАН ССР ЕЛМЛЭР АКАДЕМИЯСЫ НЭШРИЈАТЫ
ИЗДАТЕЛЬСТВО АКАДЕМИИ НАУК АЗЕРБАЙДЖАНСКОЙ ССР

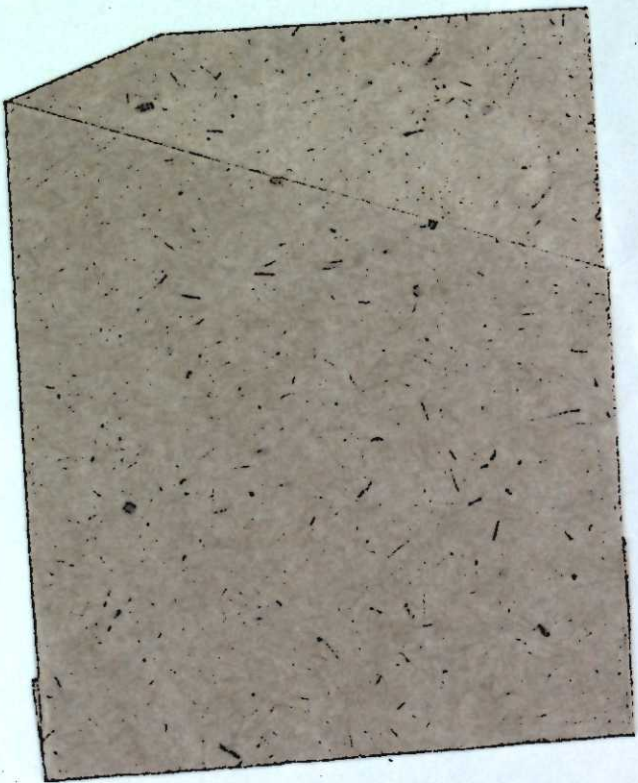
Бакы—1966—Баку

АЗӘРБАЙЧАН ССР ЕЛМЛӘР АКАДЕМИЈАСЫ
АКАДЕМИЯ НАУК АЗЕРБАЙДЖАНСКОЙ ССР

МӘ'РҮЗӘЛӘР ДОКЛАДЫ

ТОМ XXII ЧИЛД

№ 6



АЗӘРБАЙЧАН ССР ЕЛМЛӘР АКАДЕМИЈАСЫ НӘШРИЈАТЫ
ИЗДАТЕЛЬСТВО АКАДЕМИИ НАУК АЗЕРБАЙДЖАНСКОЙ ССР
БАКЫ—1966—БАКУ

Р. Ю. АМЕНЗАДЕ

УСТОЙЧИВОСТЬ ЭКСЦЕНТРИЧЕСКОГО ТОНКОГО КОЛЬЦА,
ИЗГОТОВЛЕННОГО ИЗ НЕЛИНЕЙНО-УПРУГОГО МАТЕРИАЛА

(Представлено академиком АН Азербайджанской ССР З. И. Халиловым)

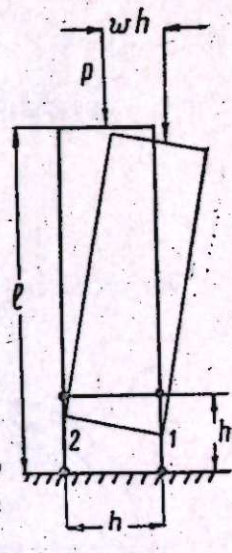
Целью данной статьи является исследование устойчивости круглого кольца с малым эксцентризитетом, изготовленного из нелинейно-упругого материала, подверженного равномерному внешнему давлению.

Эта задача нами решается вариационным методом Рейснера [1] который представляет собой обобщение классических экстремальных принципов теории упругости.

Данный принцип оказывается особенно эффективным для задач нелинейной теории упругости; независимость задания аппроксимирующих функций для напряжений и перемещений позволяет обойти основную трудность решения такого рода задач.

§ 1. Рассмотрению задачи о кольце предпошлем решение модельной задачи Шенли, на которой удобно выяснить существование явления потери устойчивости нелинейно-упругой системы. Эта модель, показанная на рис. 1, состоит из жесткой части длиной $l-h$ и двух малых, одинаковых, деформируемых стерженьков-1 и 2 длиной h и площадью поперечного сечения $\frac{F}{2}$, отстоящих друг от друга на расстоянии h . До нагрузки начального искривления нет.

Напряжения и деформации в стерженьках 1 и 2 обозначим соответственно σ^+ , e^+ и σ^- , e^- . Среднее сжимающее напряжение равно $\sigma = \frac{P}{F}$.



Уравнения равновесия жесткой части имеют вид:

$$(\sigma^+ + \sigma^-) \frac{F}{2} = P; \quad (1, 1)$$

$$(\sigma^+ - \sigma^-) \frac{Fh}{4} = Pwh. \quad (1, 2)$$

П49020
Центральная научная
БИБЛИОТЕКА
Академии наук Киргизской ССР

РЕДАКЦИОННАЯ КОЛЛЕГИЯ: З. И. Халилов (главный редактор), Ш. А. Азизбеков, В. Р. Волобуев, Д. М. Гусейнов, И. А. Гусейнов, М. А. Дадашзаде (зам. главного редактора), М. А. Далин, Ч. М. Джуварлы, С. М. Кулиев, М. Ф. Нагиев (зам. главного редактора), М. А. Топчибашев, Г. Г. Зейналов (ответственный секретарь).

Адрес: г. Баку, Коммунистическая, 10. Редакция «Докладов Академии наук Азербайджанской ССР».

Откуда

$$\sigma^+ = \sigma(1 + 2w) \quad (1, 3)$$

$$\sigma^- = \sigma(1 - 2w). \quad (1, 4)$$

Имеем следующее очевидное соотношение

$$l(e^+ - e^-) = wh$$

или

$$w = \frac{(e^+ - e^-)l}{h}. \quad (1, 5)$$

Предположим, что материал кубически нелинейно-упругий, напишем:

$$e^+ = k(\sigma^+)^3, \quad e^- = k(\sigma^-)^3. \quad (1, 6)$$

Подставляя в (1, 6) соответственно (1, 3) и (1, 4), будем иметь:

$$e^+ = k[\sigma(1 + 2w)]^3, \quad (1, 7)$$

$$e^- = k[\sigma(1 - 2w)]^3. \quad (1, 8)$$

Подставляя (1, 7) и (1, 8) в (1, 5) и введя обозначение $\sigma \sqrt{\frac{lk}{h}} = P$,

после несложных упрощений будем иметь:

$$w = 4P^3[3w + 4w^3],$$

откуда

$$P^3 = \frac{1}{4(3 + 4w^2)}.$$

При $w \rightarrow 0$, имеем $P_0 = \frac{1}{12}$. (1, 9)

Теперь предположим, что мы имеем начальное искривление w_0 . Тогда

$$w - w_0 = 4P^3(3w + 4w^3)$$

$$P^3 = \frac{w - w_0}{4(3w + 4w^3)}.$$

Из этого выражения видно, что P является функцией w_0 и имеет экстремум — критическую силу. При $w_0 \rightarrow 0$ получаем критическую силу, когда начального искривления нет. Таким образом, выражение (1, 9) — значение критической силы.

Таким образом

$$P_0 = \lim_{w_0 \rightarrow 0} [P_{\max}(w_0)]. \quad (1, 10)$$

§ 2. Рассмотрим устойчивость круглого тонкого кольца с малым эксцентриситетом, изготовленного из кубически-нелинейного упругого материала, подверженного равномерному внешнему давлению (рис. 2).

Обозначения:

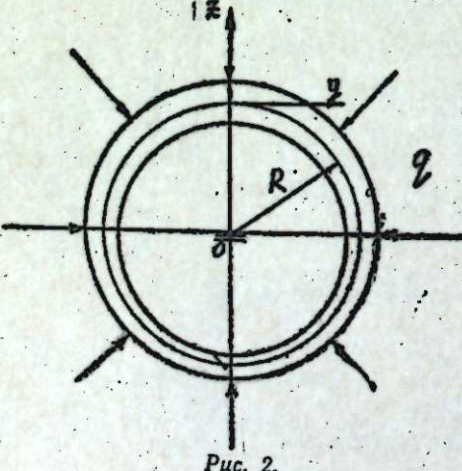


Рис. 2.

x — изменение кривизны;
 R — осредненный радиус кольца;
 $w(\sigma) = k\sigma^4$ — упругий потенциал;
 k — упругая константа материала;
 $h = h_0(1 + \lambda \sin \theta)$ — толщина кольца;
 q — величина распределенной нагрузки;
 v — проекция перемещения на ось z ;
 σ — напряжение в площадке с нормалью y ;
 ϵ — компонент тензора деформации;

Представим напряжение и деформацию следующим образом:

$$\sigma = \sigma_0 + \frac{z}{h_0} \sigma_1$$

$$\epsilon = \epsilon_0 - zx$$

Здесь

$$\epsilon_0 = \frac{1}{R} \left(w + \frac{\partial v}{\partial \theta} \right) + \frac{1}{2R^2} \left\{ \left(\frac{\partial v}{\partial \theta} + w \right)^2 + \left(\frac{\partial w}{\partial \theta} - v \right)^2 \right\}$$

$$z = \frac{1}{R^2} \left(\frac{\partial^2 w}{\partial \theta^2} - \frac{\partial v}{\partial \theta} \right)$$

как это следует из общих уравнений теории тонких оболочек. Далее, следуя Серпико (2), при $n = 2$, положим:

$$\sigma_0 = a + b \sin 2\theta$$

$$\sigma_1 = c \cos 2\theta$$

$$w = w_0 + A \cos 2\theta$$

$$v = B \sin 2\theta,$$

где a, b, c, A, B, w_0 — подлежащие варьированию постоянные. Тогда, после несложных алгебраических и тригонометрических преобразований, для ϵ_0 и z будем иметь:

$$\begin{aligned} \epsilon_0 &= \frac{1}{R} w_0 + \frac{1}{R} A \cos 2\theta + \frac{2}{R} B \cos 2\theta + \frac{1}{2R^2} w_0^2 + \frac{2}{R^2} AB + \frac{1}{2R^2} A^2 + \\ &+ \frac{3}{2R^2} A^2 \sin^2 2\theta + \frac{1}{2R^2} B^2 + \frac{3}{2R^2} B^2 \cos^2 2\theta + \frac{1}{R^2} (A + B) w_0 \cos 2\theta \\ z &= -\frac{2}{R^2} (2A + B) \cos 2\theta. \end{aligned}$$

В данном случае функционал Рейснера (1) примет вид:

$$I = R \int_{-h}^{h} \int_0^{2\pi} [\sigma - W(\sigma)] dz d\theta + qR \int_0^{2\pi} wd\theta.$$

В результате вычисления данного функционала, а также пренебрегая членами, содержащими λ выше первой степени, получим:

$$\begin{aligned} I &= 4aw_0h_0\pi + \frac{2}{R} w_0^2 ah_0\pi + \frac{8}{R} ABah_0\pi + \frac{5}{R} A^2 ah_0\pi + \frac{5}{R} B^2 ah_0\pi + \\ &+ \frac{4c}{3R} h_0^2 (2A + B)\pi - 4Rka^4 h_0\pi - 12Rka^2 b^2 h_0\pi - \frac{3}{2} Rkb^4 h_0\pi - \end{aligned}$$

$$-\frac{3}{2}Rkb^4h_0\pi - Rkb^2c^2h_0\pi - 4kRa^2c^2h_0\pi - \frac{3}{10}kRc^4h_0\pi + 2qRw_0\pi.$$

Приравнивая нулю вариации I относительно a, b, c, A, B и w_0 после некоторых сокращений, получим следующую систему шести алгебраических уравнений:

$$2w_0 + \frac{1}{R}w_0^2 + \frac{4}{R}AB + \frac{5}{2R}A^2 + \frac{5}{2R}B^2 - 8kRa^3 - 12kRab^2 - 4kRac^2 = 0$$

$$12a^2b + 3b^3 + bc^2 = 0$$

$$\frac{2}{3R}h_0(2A + B) - kRb^2c - 4kRa^2c - \frac{3}{5}kRc^3 = 0$$

$$4Ba + 5Aa + \frac{4}{3}h_0c = 0 \quad (2, 1)$$

$$4Aa + 5Ba + \frac{2}{3}h_0c = 0$$

$$2ah_0 + \frac{2}{R}w_0ah_0 + 2qR = 0.$$

Дальнейшей нашей целью является выражение внешнего давления q через перемещения. Далее, при решении оказывается удобным выразить q через комбинацию $2A + B$.

Считая, что $\frac{w_0}{R} \ll 1$, будем пренебрегать в системе (2, 1) вторыми

членами в первом и последнем уравнениях. Тогда из последнего уравнения сразу можно определить

$$a = -\frac{qR}{h_0}.$$

Вынесем из второго уравнения b .

Тогда

$$b(12a^2 + 3b^2 + c^2) = 0.$$

Отсюда следует: $b = 0$.

Из четвертого и пятого уравнений имеем

$$B = -\frac{A}{2}.$$

Подставляя это значение в пятое уравнение получим

$$B = \frac{2}{9} \frac{h_0c}{a}.$$

Значит

$$A = -\frac{4}{9} \frac{h_0c}{a}.$$

Тогда

$$2A + B = -\frac{2}{3} \frac{h_0c}{a}.$$

Откуда

$$c = -\frac{3}{2} \frac{a}{h_0} (2A + B).$$

Обозначая $\frac{2A + B}{h_0}$ через z и подставляя значение c в третье уравнение, получим:

$$q^3 = \frac{2h_0^5}{3kR^5 \left(6 + \frac{81}{40}z^2 \right)}.$$

Откуда при $z = 0$ имеем:

$$q^3 = \frac{2h_0^5}{18kR^5}. \quad (2, 2)$$

Выражение (2, 2) на основании (1, 10) можно считать критическим давлением.

Как мы видим, λ не входит в полученное значение критического давления. Это объясняется тем, что возмущение, создаваемое эксцентрикитетом, ортогонально рассматриваемой форме потери устойчивости.

Пользуясь случаем, приношу благодарность академику АН СССР Ю. Н. Работнову за руководство.

ЛИТЕРАТУРА

1. Рейнер. Проблемы механики сплошных сред. М., 1962.
2. Serrico. A Study of Creep Collapse of a long Circular Cylindrical Shell Under various distributed force Systems, 1958 г.

Институт математики
и механики

Поступило 7.II 1966

Р. Й. Эмэнзадэ

Георихэтли-эластичи материалдан гаырылыш назик
екссентрик налганын дајаныглығы

ХУЛАСЭ

Мәгәләдә мүнтәзәм пајланыш харичи тәзілгі алтында георихэтли-эластичи материалдан дүзәлдилмиш, кичик екссентрикитет малик назик даирәви налганын дајаныглығы шәрһ олунур (2-чи шәкил). Бұ мәсәлә Рейнерин вариасија методу илә һәлл едилмишидір. (1, 10) ифадәсинә әсасән (2, 2) ифадәсини критик тәзілгі гәбул етмәк олар. Алымыш критик тәзілгіни ифадәсинә λ параметринин дахил олмадығыны екссентрикитетин жаратдығы тәсирин бағылан һәлгәнин итирил-миш дајаныглығы формасына ортогонал олмасы илә изән етмәк олар.

ГИДРОДИНАМИКА

К. Н. ДЖАЛИЛОВ

**О ЗАКОНОМЕРНОСТИ ОБВОДНЕНИЯ СКВАЖИН С УЧЕТОМ
НЕОДНОРОДНОСТИ ПЛАСТА И РАЗЛИЧИЯ ВЯЗКОСТЕЙ
НЕФТИ И ВОДЫ**

(Представлено академиком АН Азербайджанской ССР З. И. Халиловым).

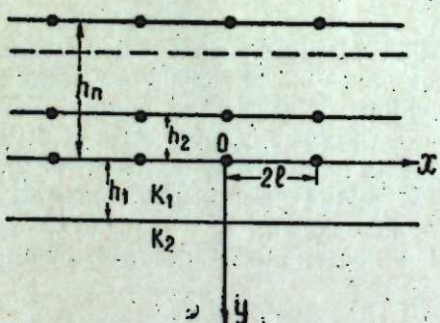
Задача о вытеснении одной жидкости другой к батареям скважин с учетом различия вязкостей их приводится к задаче Коши для интегро-дифференциального уравнения [2, 10]. Для решения этих уравнений предложены разные приближенные подходы.

Гидродинамическое исследование особенностей стягивания первоначального прямолинейного контура, расположенного параллельно батарее скважин в бесконечно-неоднородном пласте, состоящем из двух зон с проницаемостями K_1 и K_2 , проведены нами в работе [5].

В данной статье эта же задача обобщена для случая совместной работы n прямолинейных батарей скважин, а также решена задача о влиянии различия в вязкостях нефти и воды на процесс обводнения их (рисунок). При этом, для последнего случая использован метод изменяемых трубок тока. При соблюдении условий $h_1 \geq l$, $h_j \geq 2l$ ($j = 2, 3, \dots, n$) получены простые расчетные формулы. Рассмотрим следующие случаи.

1. Для работы n прямолинейных батарей скважин в неоднородном по проницаемости пласте, характеристическая функция для первой зоны пишется в виде:

$$F_1(z) = \frac{q_1}{2\pi} \ln \sin \frac{\pi z}{2l} + \sum_{j=2}^n \frac{q_j}{2\pi} \ln \sin \frac{\pi(z + ih_j)}{2l} + \\ + \lambda \frac{q_1}{2\pi} \ln \sin \frac{\pi(z - i2h_1)}{2l} + \lambda \sum_{j=2}^n \frac{q_j}{2\pi} \ln \sin \frac{\pi(z - i2h_j - ih_j)}{2l} + C_1 + iC_2, \quad (1)$$



где q_j — дебит скважины j -ряда; $2l$ — расстояние между скважинами в рядах; $\lambda = \frac{K_1 - K_2}{K_1 + K_2}$; $z = x + iy$.

Для второй зоны:

$$F_2(z) = (1 - \lambda) \left[\frac{q_1}{2\pi} \ln \sin \frac{\pi z}{2l} + \sum_{j=2}^n \frac{q_j}{2\pi} \ln \sin \frac{\pi(z + ih_j)}{2l} \right] + C_3 + iC_4 \dots \quad (2)$$

Как известно, при $h_1 \geq l$ и $h_j \geq 2l$ ($j = 2, 3, \dots, n$), (1) и (2) легко приводятся к виду:

$$F_1(z) = \frac{q_1}{2\pi} \left[\ln \sin \frac{\pi z}{2l} - iv_1 z \right] + C'_1 + iC'_2, \quad (3)$$

$$F_2(z) = (1 - \lambda) \frac{q_1}{2\pi} \left[\ln \sin \frac{\pi z}{2l} - iv_2 z \right] + C'_3 + iC'_4, \quad (4)$$

где

$$v_1 = \frac{\pi}{2l} \left[\sum_{j=2}^n \frac{q_j}{q_1} (1 - \lambda) - \lambda \right] \quad (5)$$

$$v_2 = \frac{\pi}{2lq_1} \sum_{j=2}^n q_j. \quad (6)$$

Из (3) функция эквипотенциальных линий и уравнение линий тока получаются в следующем виде:

$$\varphi = -\frac{q_1}{4\pi} \left[\ln \left(\operatorname{ch} \frac{\pi y}{l} - \cos \frac{\pi x}{l} \right) + \frac{\pi A}{l} y \right] + C'_1, \quad (7)$$

$$\operatorname{arc tg} \left(\operatorname{ctg} \frac{\pi x}{2l} \operatorname{th} \frac{\pi y}{2l} \right) - A \frac{\pi x}{2l} = C, \quad (8)$$

где

$$A = \frac{2l}{\pi} v_1.$$

Уравнение движения жидкости по любой линии тока в первой зоне будет иметь вид:

$$\tau = \frac{1}{1+A} \ln \frac{\cos[(1+A)\alpha + C]}{\cos[(1+A)\beta + C]} - \frac{1}{1-A} \ln \frac{\cos[(1-A)\alpha - C]}{\cos[(1-A)\beta - C]}, \quad (9)$$

где

$$\tau = \frac{\pi q_1 t}{4ml^2}, \quad C = 0.$$

θ — угол, образованный между осью x и касательной к линиям тока, α и β определяются из следующего уравнения при начальном и текущем значениях y :

$$\operatorname{th} \frac{\pi y}{2l} = \operatorname{tg} \theta_2 \operatorname{tg}(C + A\theta_2). \quad (10)$$

Из функции (4) легко получаются такие же выражения, как (7), (8) и (9) только с той разницей, что вместо (5) будет (6) и вместо $q_1 - q_1(1 - \lambda)$.

По главной и нейтральной линиям уравнения движения частицы жидкости примут вид:
при $A > 1$

$$\tau_2 = \frac{2}{A^2 - 1} \left[\frac{\pi A}{2l} (y_0 - y) - \ln \frac{\operatorname{sh} \left(\frac{\pi y_0}{2l} + \operatorname{arcth} \frac{1}{A} \right)}{\operatorname{sh} \left(\frac{\pi y}{2l} + \operatorname{arcth} \frac{1}{A} \right)} \right];$$

$$\tau_u = \frac{2}{A^2 - 1} \left[\frac{\pi A}{2l} (y_0 - y) - \ln \frac{\operatorname{ch} \left(\frac{\pi y_0}{2l} + \operatorname{arc th} \frac{1}{A} \right)}{\operatorname{ch} \left(\frac{\pi y}{2l} + \operatorname{arc th} \frac{1}{A} \right)} \right].$$

Полученные решения легко обобщаются для случая любого расположения скважин относительно оси y и для различных расстояний между скважинами в рядах.

2. При вытеснении нефти водой $\lambda = \frac{\mu_n - \mu_v}{\mu_n + \mu_v}$,

где μ_n, μ_v — вязкости нефти и воды.

Вышеуказанный расчетный схема остается в силе и для этого случая.

Полученные формулы дают возможность определить безразмерное время τ от угла θ . Учитывая выражение, предложенное М. Д. Миллионщиком [9],

$$\frac{Q_w}{Q} = \frac{1}{1 + \frac{\frac{1}{2} + 0/\pi \mu_v}{\frac{1}{2} - 0/\pi \mu_n}},$$

будем иметь зависимость между безразмерным дебитом воды $\frac{Q_w}{Q}$ и τ .

В [8] обосновано, что в процессе вытеснения нефти водой формы линий тока почти сохраняются, как при системе одножидкостного течения.

По схеме, указанной в [2, 3], определены только моменты прорыва воды в скважины прямолинейных батарей при помощи ЭЦМ „Стрела“ и была предложена простая расчетная формула [11]. Проведены со-поставления с результатами метода неизменяемых трубок тока в больших диапазонах изменения значений μ_n и μ_v [7]. Расхождения между результатами по точной и приближенной формулам оказались не больше 12%.

С учетом отдельных факторов проведенные многочисленные исследования для одножидкостной системы показывают, что большой процент обводнения скважин происходит в начале процесса за короткое время. Если число рядов больше двух, тогда это время совсем сокращается и контур нефтеносности движется почти с таким законом, как в случае равномерного стягивания его. Указанные факты позволяют применить с большой точностью метод неизменяемых трубок тока.

Из (10) при $y = 0; \beta = 0$. Для практически интересных случаев, т. е. при $y_0 \geq 2l_1$, $\operatorname{th} \frac{\pi y_0}{2l_1} \approx 1$. Тогда из (10) находим $\alpha = \frac{0}{A+1}$.

Подставляя С из (10) и найденные значения α и β в (9), после некоторых преобразований будем иметь:

$$\tau = \frac{2}{A^2 - 1} \left[\ln \frac{\sin \left(\frac{20}{A+1} \right)}{\sin 0} + \frac{\pi(A-1)}{2l_1} y_0 \right] \quad (11)$$

по главной и нейтральной линиям тока

$$\begin{aligned} \tau_{ra} &= \frac{2}{A^2 - 1} \left[(A-1) \frac{\pi y_0}{2l_1} - \ln \frac{A+1}{2} \right], \\ \tau_u &= \frac{2}{A^2 - 1} \left[(A-1) \frac{\pi y_0}{2l_1} - \ln \frac{A+1}{2A} \right]. \end{aligned} \quad (12)$$

Из формул (11), (12) вытекает, что при фиксированном λ и μ характер закономерности скважин в зависимости от расстояний между скважинами не меняется. Кривые зависимости Q_w/Q от τ будут смещены параллельно друг другу.

ЛИТЕРАТУРА

1. Власов А. М. Инженерный журнал, т. II, вып. 3, 1962.
2. Данилов В. Л. Изв. Казанс. ФАН СССР, серия физ.-мат. и техн. наук, 1957, вып. 11.
3. Данилов В. Л., Скворцов В. В. Изв. АН СССР, серия физ.-мат. и техн. наук, 1959, вып. 13.
4. Джалилов К. Н. Изв. АН Азерб. ССР, 1955, № 11.
5. Джалилов К. Н. ДАН Азерб. ССР, 1962, № 11.
6. Джалилов К. Об учете влияния неоднородности по проницаемости пласта и различия в вязкостях нефти и воды. Отчет лаборатории подземной гидродинамики ИРН и ГМ АН Азерб. ССР, 1963.
7. Джадаров Н. Д. Некоторые вопросы перемещения водонефтяного контакта и обводнения батарей скважин. Отчет лаборатории разработки ИРН и ГМ АН Азерб. ССР, 1964.
8. Куранов И. Ф., Коган Л. Г. Расчет вытеснения нефти водой в системе скважин. Труды ВНИИ, вып. XXI, 1959.
9. Миллионщик М. Д. Инженерный сборник, т. 5, вып. 1, 1948.
10. Пилатовский В. П. Научные записки МИИВХ, т. 20, 1956.
11. Скворцов В. В. Татарская нефть, № 4, 1961.
12. Чарный И. А. Подземная гидродинамика. Гостехиздат, 1948.
13. Щелкачев В. Н., Лапук Б. Б. Подземная гидравлика. Гостоптехиздат, 1949.

Институт проблем глубинных нефтегазовых месторождений

Поступило 6.VII.1965

Г. Н. Челилов

Лаын гејри-бирчинслилиини, нефт вә сујун өзлүлүккәрнәкі фәрги нәзәрә алдыгда гујуларын сулашмасынын ганунаујғуилуғы һағында

ХУЛАСЭ

- [2, 10] ишләрнәк апарылан тәдгигатлар көстәрмишdir ки, өзлүлүккәр мұхтәлиф олар бир маєнин башта маје илә сыйыштырылmasы мәсәләси. интегрориференциал тәнлик үчүн Коши мәсәләсисе кәтирилир. Мәсәләсисиң һәллиндән өтү мұхтәлиф тәгреби үсуллар тәклиф едилмиш вә анчаг сујун гујуја дахилолма вахты тә'жин олунмушдур.

Бирчинсли маје системи үчүн кечиричилиji мұхтәлиф олан ики зонадан ибарәт лајда гујуларын бир сырасынын сулашмасы мәсәләсінә [5] ишиндә бахылмышдыр.

Бу мәгаләдә исә һәмин мәсәлә гујуларын бир нечә дүзхәтли сыралары үчүн һәлл едилмишdir. Бунунла бәрабәр, өзлүлүкleri мұхтәлиф олан мајеләр системи үчүн бирчинсли лајда сулашма процеси арашдырылмышдыр. Ахырынчы мәсәлә тәгриби үсул—дәжишилмәз чәрәjan хәтләри үсүл илә һәлл олунмушдур. Бундан башта, мұхтәлиф амилләри нәзәрә алмаг шәрти илә, алымыш несабат дүстурларынын даһа да садәләшдирилмәси ѡоллары көстәрилмишdir. Дүстурларын тәһлили уйғын тәчрүби әһәмиjjәти олан иәтичеләр әлдә етмәjә имкан вермишdir.

Г. Б. АБДУЛЛАЕВ, Я. Н. НАСИРОВ, Я. С. ФЕИЗИЕВ

ВЛИЯНИЕ ЧАСТИЧНОГО ЗАМЕЩЕНИЯ ГЕРМАНИЯ ЛАНТАНОМ НА ТЕРМОЭЛЕКТРИЧЕСКИЕ СВОЙСТВА GeTe

Исследования показывают, что GeTe кристаллизуются с 2,5% избыточного теллура [1], обычно с концентрацией носителей $\sim 10^{21} \text{ см}^{-3}$ и считается самолегирующимся полупроводником. Термоэлектрические свойства в зависимости от температуры обнаруживают аномалии, связанные с наступлением собственной проводимости [2].

Наблюдаемые аномалии в температурных зависимостях термоэдс и подвижности носителей авторы объясняют привлечением модели сложной структуры энергетических зон GeTe, состоящей из двух смешанных относительно друг друга на энергетический зазор подзон (валентная зона) с различной плотностью состояний. Для полноты объяснения экспериментальных результатов, видимо, нужно было бы привлекать наличие межзонного рассеяния, что предложено для SnTe в работе [3].

Настоящая работа посвящена исследованию влияния частичного замещения компонентов, в частности германия лантаном, на термоэлектрические свойства GeTe. Исследования производились на однотипных и однородных образцах сплава систем $[GeTe]_{1-x} - [LaTe]_x$, где x —молярная доля исходных соединений в диапазоне $x = 0,01 \div 0,08$. Зависимость термоэдс от состава (рис. 1) обнаруживает максимум при $x = 0,01$, т. е. на тех сплавах, на которых, концентрация носителей имеет минимум (рис. 2).

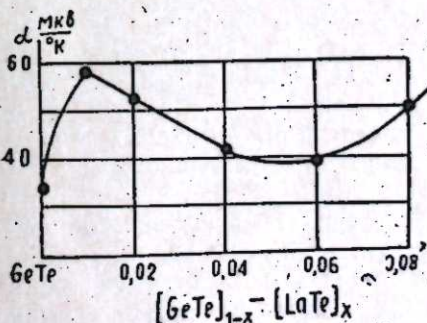


Рис. 1. Зависимость термоэдс от состава.

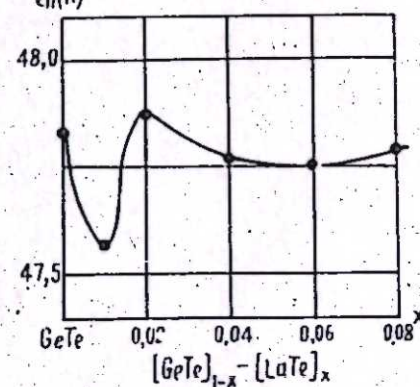


Рис. 2. Зависимость концентрации носителей от состава.

Теплопроводность кристаллической решетки и подвижность носителей тока (рис. 3) обнаруживают максимум на сплавах состава $x=0,01$, т. е. в случае $[GeTe]_{0.99} - [LaTe]_x$. По измерениям Холловской, эдс концентрации дырок при $x=0,01$ уменьшается от $\sim 6 \cdot 10^{20} \text{ см}^{-3}$ для GeTe до $4,5 \cdot 10^{20} \text{ см}^{-3}$, а подвижность растет от $50 \frac{\text{см}^2}{\text{в. сек}}$ (незначительно) до $\sim 60 \frac{\text{см}^2}{\text{в. сек}}$.

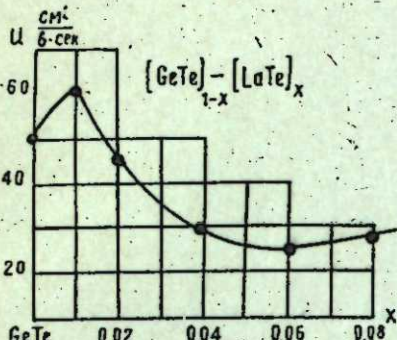


Рис. 3. Зависимость подвижности носителей от состава.

Авторы предполагают, что при частичном замещении германия лантаном на сплавах состава $x=0,01-0,08$ происходит одновременно как уменьшение концентрации "дефектов" из-под Ge в GeTe, так и появление "новых" дефектов в связи с образованием твердых растворов.

Первый процесс является превалирующим при $x=0-0,01$, тогда как второй при $x>0,02$.

ЛИТЕРАТУРА

- McHugh J. P. and Tiller W. A. Trans. Metall. Soc. 218, 1960.
- Коломоец Н. В., Лев Е. Я., Сысоева Л. М. ФТТ, т. 6, 706-713. 1964.
- Ефимова Б. А., Кайданов В. И., Мойжес Б. Я., Черник И. А. ФТТ, т. 7, № 8, 2524-2527, 1965.

Институт физики

Поступило 3.VI 1966

Б. Абдуллаев, Ж. Н. Насиров, Ж. С. Феизиев

GeTe бирләшмәсіндә галајы лантанла әвәзетмәнин бирләшмәнин термоелектрик хассасында тәсирин тәдгиги

ХУЛАСӘ

Мәлүмдүр ки, GeTe бирләшмәсі әмәлә кәләркән она дахил олан элементләрин нисбәти ғанундан кәнап олдуғу үчүн бирләшмәдә Ge маддәсінә хас олан бош йерләр мөвчуддур. Бундан башта, мөвчуд ярымкечиричиләрдән фәргли оларға, бурада бәзи физики параметрләр мүстәсна һал тәшкил едир ки, бу да GeTe бирләшмәсіндә енеркетик сәвијәләр зонасының мүрәккәблији илә изаһ олунур. Валент золагы санкы бири дикәриндән де мәсафәдә йерләшмиш ики мұхтәлиф күтләјә малик йүқдашылықтара мәнсүб золаглардан ибартады. Ады чәкилән аномал һалларын айынлаштырылmasы үчүн биз Ge атомларының бирниссесини La атомлары илә әвәз етдик (1-8 мол % LaTe гәдәр).

Тәрүбәдә термо ЕhГ, електриккечирмә әмсалы, нол ЕhГ, истиликечирмә әмсалы вә сыйхылғ өлчүлүштүрдүр. Ашкар олмушшур ки, әвәзетмәдә әвәзедән елементтің мигдарындан асылы оларға, әввәлчә GeTe-а хас олан "дефектләrin" нисбәтән тутулмасы, даһа соңра исә бәрк мәһлүлүн яраңмасы илә јени дефектләrin әмәлә кәлмәсі башверир. Бизим нүмүнәләрдә GeTe-а хас олан бүтүн аномал һаллар өз күчүндә галып, ярымкечиричилек хассаси исә LaTe мол % артдыгча даһа ашыры температурларда мушаңидә олунур. Лантаның мәһлүлдә мигдары 1% оларса, йүқдашылықтың сыйхылғы бир тәртиб азалып, йүрүклүлүк исә аз дәјишир.

ЭЛЕКТРОФИЗИКА

Х. ДАВЖАНОВ, М. Г. ШАХТАХТИНСКИЙ, В. И. ТАГИРОВ,
Б. С. АЛИЕВА, А. А. КУЛИЕВ

ОБ ИНВЕРСИИ КОЭФФИЦИЕНТА ХОЛЛА ТЕЛЛУРА, ЛЕГИРОВАННОГО ТАЛЛИЕМ

(Представлено академиком АН Азербайджанской ССР Ч. М. Джусварлы)

Исследования электрических свойств теллура показали, что независимо от рода и концентрации примесей, он является полупроводником *p*-типа в области примесной проводимости. При этом было обнаружено двойное изменение знака коэффициента Холла как в чистом теллуре, так и в теллуре, содержащем различные примеси.

Первая точка инверсии коэффициента Холла, как в обычных полупроводниках *p*-типа [1], наблюдается при переходе от примесной проводимости к собственной и зависит от концентрации примесей (с ростом концентрации носителей тока точка инверсии смещается в сторону высоких температур). А вторая точка инверсии наблюдается в области собственной проводимости.

Причем, не обнаружено [2] влияния легирующего элемента на температуру второй инверсии коэффициента Холла теллура.

Первая—низкотемпературная инверсия, хорошо объясняется в рамках обычной зонной теории. Вторая инверсия не может быть объяснена обычной теорией без дополнительных предположений.

В литературе встречается несколько предположений, объясняющих вторую инверсию знака коэффициента Холла:

Наиболее правдоподобными являются предположения о наличии более легких дырок [3], в валентной зоне или более тяжелых электронов в зоне проводимости [4]. Однако до настоящего времени зонная структура теллура остается неясной. Это требует дальнейших исследований электрических свойств теллура с различными примесями.

Поэтому целью настоящей работы являлось исследование коэффициента Холла теллура, легированного таллием, в интервале 180-530°К.

Другим стимулирующим фактором выбора примеси таллия является то, что в литературе имеются данные [5], свидетельствующие о специфическом проведении примеси таллия в селене. Поскольку кристаллическая структура селена и теллура подобна, можно было ожидать аналогичное влияние таллия на свойства теллура.

Выращивание монокристаллов теллура с примесью таллия производилось на установке, описанной в работе [6]. Применяемый теллур

заранее очищался дистилляцией в потоке водорода и зонной перекристаллизацией [7]. Рост монокристаллов происходил в направлении оси "С". Из выращенных монокристаллов изготавливались образцы в виде прямоугольного параллелепипеда.

Измерение проводилось обычным компенсационным методом как в направлении главной оси "С" монокристалла, так и перпендикулярно к ней.

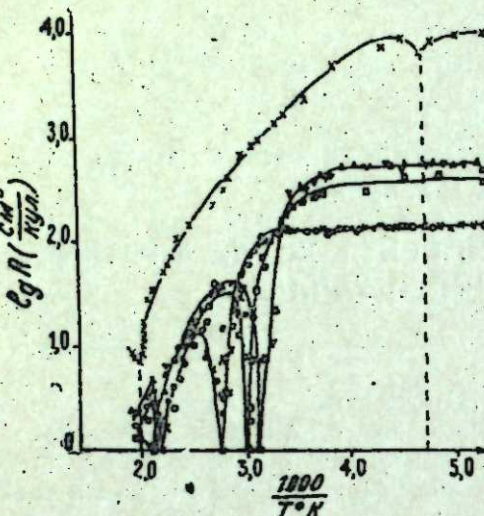
Отметим, что таллий уменьшает сопротивление теллура, т. е. аналогии в поведении примеси таллия в селене и теллуре не наблюдается.

Результаты измерения коэффициента Холла приведены на рисунке. Кривая 1 относится к чистому теллуру, а кривые 2, 3, 4 — к теллуру, легированному таллием с концентрациями при 77°K $1,4 \cdot 10^{16} \text{ см}^{-3}$; $2,0 \cdot 10^{16} \text{ см}^{-3}$ и $5,0 \cdot 10^{16} \text{ см}^{-3}$ соответственно. Эти значения концентрации носителей тока вычислены по коэффициенту Холла и могут не соответствовать химической концентрации таллия.

Однако изучение коэффициента сегрегации таллия при кристаллизации теллура [8] показывает, что растворимость таллия в твердом теллуре мала. Поэтому можно ожидать, что концентрация таллия, определенная по эффекту Холла, будет близка к его истинной концентрации.

Для каждой концентрации (2, 3, 4) точки, соответствующие разным направлениям кристаллографической оси, ложатся на одну кривую, т. е. коэффициент Холла не зависит от направления кристаллографической оси кристалла. Образцы, вырезанные вдоль и перпендикулярно слитку, имеют одинаковую концентрацию, что свидетельствует о равномерном распределении таллия в выращенных кристаллах.

Как видно из рисунка, низкотемпературная точка инверсии коэффициента Холла с повышением концентрации таллия смещается в область высоких температур, как в обычных полупроводниках p -типа. Особенностью теллура, легированного примесью таллия, является смещение высокотемпературной точки инверсии в сторону низких температур с повышением концентрации таллия. В таблице приведены значения температур инверсии в зависимости от концентрации примесей.



Зависимость коэффициента Холла теллура, легированного таллием:
1 — чистый теллур; 2, 3, 4 — теллур, легированный таллием.

Изменение второй точки инверсии коэффициента Холла в зависимости от содержания примесей наблюдается впервые.

Отметим, что проводимость теллура независимо от концентрации таллия сохраняет дырочный характер.

Можно предполагать, что примесь таллия изменяет структуру энергетических зон теллура.

Однако достоверность такого предположения не выяснена, и вопрос о поведении теллура, легированного таллием, остается открытым.

ЛИТЕРАТУРА

1. Смит Р. Полупроводники. ИЛ., 1952.
2. Н. Krommuller H., Jauman und Seller K. Z. Naturforsch., 11a, 243—250, 1956.
3. Fan H. V. Report on Progress in Physics, vol. 19, p. 107, 1956.
4. A. Nussbaum A. Phys. Rev., 94, 337, 1954.
5. Nijland L. M. Philips. Res. Rep., 9, 259, 1954.
6. Шилкин А. И., Кулиев А. А., Приборы и техника эксперимента, 5, 172, 1961.
7. Кулиев А. А., Мовланов Ш. Изв. АН ССР, ОТН. "Металлургия и топливо", 1962, 1.
8. Кулиев А. А., Мовланов Ш., Шилкин А. И., Кажлаева Р. А., Шахтахтинский М. Г. ДАН Тадж. ССР, 1963, 6, 2.

Поступило 27. XII 1965

Ю. Давжанов, М. Н. Шахтахтински, В. И. Таиров, Б. С. Элијева, Э. А. Гулијев

Таллиумла ашгарланмыш теллурун һолл эмсалынын инверсијасы һагында

ХУЛАСЭ

Тәдгигатда таллиумла ашгарланмыш теллур монокристаллары көјәрдилмиш вә бу кристалларын һолл эмсалынын температурдан асылылығы өјрәнилмишdir. Теллурун һолл эмсалынын мәхсуси кечиричилик областындағы инверсија негтәсінин жүкдашыңыларын сыйхындан асылы олараг дәндишмәсі илк дәфәдир ки, мұшақидә едилмишdir.

Концентрация носителей тока, см^{-3}		Первая точка инверсии, $^{\circ}\text{K}$	Вторая точка инверсии, $^{\circ}\text{K}$
Чистый теллур	Теллур с таллием		
$7,9 \cdot 10^{14}$		320	482
	$1,4 \cdot 10^{16}$	213	500
	$2,0 \cdot 10^{16}$	330	467
	$5,0 \cdot 10^{16}$	358	455

ХИМИЯ

С. Д. МЕХТИЕВ, Р. А. БАБАХАНОВ, Ш. Г. АХМЕДОВ, Р. А. ИСМАИЛОВА

СИНТЕЗ АЛКИЛЦИКЛОГЕКСИЛЗАМЕЩЕННЫХ ПРОПАНОЛОВ

Ароматические спирты (фенилэтиловый, фенилпропиловые и др.) и их эфиры являются одним из ценнейших душистых веществ. Обладая достаточной стойкостью и малой летучестью, они показали исключительно хорошие свойства в составе парфюмерных изделий.

В одной из работ нами разработан простой и удобный метод синтеза фенилпропилового спирта и его алкилпроизводных [1], исходя из галоидалкилзамещенных ароматических углеводородов.

По аналогии с ароматическими спиртами спирты и эфиры циклогексанового ряда также должны обладать подобными свойствами. Однако в литературе отсутствует описание простого и удобного метода их синтеза.

Опубликованные работы в основном относятся к описанию синтеза циклогексилэтапного спирта, сущность которых сводится: 1) к гидрированию фенилэтапного спирта [2, 3] и 2) действию окиси этилена на магнийгалоидциклогексан [4].

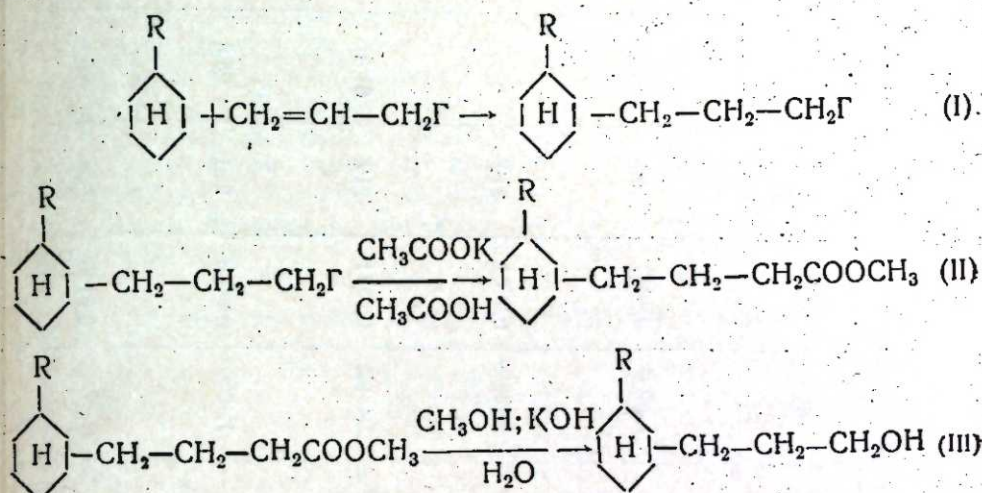
Получение циклогексилэтапного спирта посредством гидрирования фенилэтапного спирта или через магнийорганический синтез является многостадийным и сложным процессом, и делает сомнительным целесообразность его получения по указанным схемам. Такой же сложностью и дороговизной отличается получение циклогексилэтапного спирта путем этилирования циклогексановых альдегидов ацетиленидом натрия в жидким амиаке с последующим гидрированием полученных ацетиленовых спиртов в присутствии *Pt* и *Pd*-катализаторов [5].

Существенным недостатком всех известных нам методов синтеза циклогексилэтапного спирта является то, что этими методами трудно, а в ряде случаев практически невозможно получить другие спирты циклогексанового ряда и их алкилпроизводные, которые могут представлять самостоятельный интерес.

Нами разработан новый, простой и удобный для осуществления метод получения спиртов циклогексанового ряда из дешевого и доступного сырья—продуктов переработки нефти—циклогексановых углеводородов и аллилгалогенидов.

Основой для осуществления указанного синтеза явилась изученная нами реакция галоидалкилирования циклогексановых углеводородов [6].

Синтез алкилциклогексилзамещенных пропанолов, по нашей схеме, проводится в три стадии: циклогексановый углеводород алкилируют галоидалкилированием— γ -галоидалкилциклогексан (I), ацетилируют нагреванием со смесью уксусной кислоты и ацетата калия при температуре кипения галоидпродукта в течение 6–7 час.; гидролиз ацетата (II) приводит к образованию соответствующего спирта (III).



Приведенная схема выгодно отличается еще и тем, что как продукт галоидалкилирования, так и соответствующие им ацетаты сами по себе обладают рядом ценных свойств и могут найти самостоятельное практическое применение.

Первая стадия получения циклогексиловых спиртов—синтез γ -галоидалкилпроизводных алкилциклогексановых углеводородов описана нами ранее [6].

Вторая стадия—получение ацетатов—осуществлялась следующим образом.

Процесс превращения фракций γ -галоидалкилпроизводных циклана в соответствующие ацетаты осуществлялся действием уксуснокислого калия на них в среде уксусной кислоты.

Уксуснокислый калий предварительно прокаливали в течение 6–8 час., а продажную ледянную уксусную кислоту разгоняли на насадочной колонке.

Опыты по получению уксуснокислых эфиров проводили во вращающемся автоклаве, емкостью 0,5 л. Затем, смесь перемешивали в течение 6–7 час. при температуре кипения галоидпродукта. Давление в автоклаве—5–6 атм. Затем в автоклав добавляли воду до полного растворения образовавшегося осадка. Органический слой отделяли, водный—экстрагировали эфиром (трижды по 50 мл). Эфирную вытяжку и органический слой объединяли, промывали водой и сушили над Na_2SO_4 , после отгона эфира остаток разгоняли в вакууме на колонке эффективностью в 25 теоретических тарелок.

В установленных оптимальных условиях процесса получения ацетатов выход достигает 80–85% от теории на превращенный галоидпродукт.

Положение заместителей в циклогексановом ядре соответствует 1,3-замещению, что было нами ранее показано при синтезе исходных галоидалкилпроизводных снятием спектров в инфракрасной области на ИКС-14 и методом комбинационного рассеяния света.

Таблица 1

Физико-химические константы полученных ацетатов

Исходные галоидалкилзамещенные циклана	Ацетаты	Пределы кипения при 3 м.м., °C	n_D^{20}	d_4^{20}	Мол. вес	MRD		Выход, %
						Найд.	Вычес..	
1-бром-3-(метилциклогексил) пропан		100—105	1,4520	0,9347	196	57,4	56,5	83
1-хлор-2- метил-3 (метилциклогексил) пропан		103—109	1,4580	0,9361	210	61,3	61,12	72
1-бром-3-(этилциклогексил) пропан		103—110	1,4590	0,9371	212	61,87	61,12	70
1-бром-3-(изопропилциклогексил) пропан		109—114	1,4600	0,9408	226	65,8	65,738	74,4
1-хлор-2- метил-3- (изопропилциклогексил) пропан		114—120	1,4620	0,9420	240	70,1	70,356	70

В табл. 1 приведены физико-химические константы ацетатов, полученных из продуктов галоидалкилирования метил-, этил- и изопропилциклогексанов.

Полученные сложные эфиры синтезированы впервые нами.

СИНТЕЗ СПИРТОВ ОМЫЛЕНИЕМ УКСУСНОКИСЛЫХ ЭФИРОВ ЦИКЛОГЕКСАНОВОГО РЯДА

К смеси 0,33 моль сложного эфира и 80 мл метилового спирта прибавляют раствор 0,4 моль KOH в 80 мл воды.

Реакционная смесь нагревается 6 час. при постоянном перемешивании при температуре 60°C, затем продукт реакции экстрагируется эфиром.

После сушки и отгонки растворителя вакуумной разгонкой выделяется спирт. Этим способом впервые нами получены пять новых представителей циклановых спиртов.

В табл. 2 приведены физико-химические константы полученных спиртов (см. табл. 2).

Таблица 2

Физико-химические константы синтезированных спиртов

Спирты	Пределы кипения при 3 м.м. °C	n_D^{20}	d_4^{20}	Выход, %	MRD		Мол. вес
					Найд.	Выч.	
	102—107	1,4660	0,9098	90,01	47,5	47,705	156
	106—110	1,4670	0,8927	91,3	52,61	52,32	170
	105—110	1,4660	0,8928	85,6	52,71	52,323	170
	110—115	1,4700	0,8935	81,1	57,46	57,3	184
	115—120	1,4710	0,8912	80,0	61,9	61,559	198

Все синтезированные соединения (как спирты, так и эфиры) представляют собой прозрачные жидкости, обладающие приятным цветочным запахом.

Выводы

1. Разработан простой и удобный метод синтеза замещенных циклогексилпропанолов и их эфиров.

2. В найденных оптимальных условиях реакции выход как спиртов, так и эфиров приближается к теоретическому.

3. Синтезировано и идентифицировано 10 новых представителей эфиров и спиртов циклогексанового ряда, могущих представить самостоятельный практический интерес.

ЛИТЕРАТУРА

- Мехтиев С. Д., Бабаханов Р. А., Мусаева А. Р., Шахгельдиев М. А., Магеррамов М. Н., Авт. свед. СССР по заявке 885280/23—4 с приоритетом от 17. II 1964.
- Егорова ЖРХО, 43, 1116, 1910.
- Левина Р. Ф., Потапова П. А. ЖОХ 7, 353, 1937.
- Hiers G. S., Adams R., J. Am. Chem. Soc. 48, 1091, 1926.
- Красильников Г. К. ЖОХ, 32, 8, 1962.
- Бабаханов Р. А., Мехтиев С. Д., Ахмедов Ш. Р., Исмайлова Р. А. Авт. свед. СССР по заявке 809481/23—4 с приоритетом от 21. XII 1962.

Поступило 25.V 1966

ИНХП

С. Ч. Меңдиев, Р. Э. Бабаханов, Ш. Т. Эһмәдов, Р. Э. Исмайлова

Алкилтсиклоіксыл төрәмәли пропанолларын синтези

ХҮЛАСӘ

Илк дәфә олараг, тсиклоіксан карбоидрокенләри ефирләринин вә спиртләрин алынмасынын јени методу өјрәнилмишdir. Реаксија мүхтәлиф шәрайтләрдә апарылараг оптималь шәрант мүәллән олунмушdur.

Алынмыш маддәләрин һамысы Јенидир. Бунларын гурулушу физики вә кимјәви үсулларла тә'жин едилмишdir.

АЗӘРБАЙЧАН ССР ЕЛМЛӘР АКАДЕМИЯСЫНЫН МӘРҮЗӘЛӘРИ
ДОКЛАДЫ АКАДЕМИИ НАУК АЗЕРБАЙДЖАНСКОЙ ССР

ТОМ XXII

№ 6

1966

ФИЗИЧЕСКАЯ ХИМИЯ

З. Г. ЗУЛЬФУГАРОВ, А. А. НОВРУЗОВ

ИССЛЕДОВАНИЕ ВЛИЯНИЯ ХИМИЧЕСКОГО СОСТАВА НОСИТЕЛЕЙ И ХРОМОКИСНЫХ КАТАЛИЗАТОРОВ ПОЛИМЕРИЗАЦИИ НА ИХ ЭЛЕКТРОПРОВОДНОСТЬ И ТЕРМОЭДС

(Представлено академиком АН Азәрбайджанской ССР А. М. Кулевым)

За последнее время проводится широкое исследование по изучению связи между активностью и электропроводниками свойствами гетерогенных катализаторов.

В результате этих исследований, в одних случаях, найдены определенные корреляции между указанными свойствами, в других—этого не обнаружено [1, 2, 3, 4, 5, 6, 7, 8].

Электронное состояние поверхности катализаторов наряду с другими факторами, зависит также от их химического состава, концентрации и соотношения составных компонентов.

Последнее в литературе мало освещено. Учитывая вышеизложенное, мы считали интересным изучить влияние количества окислов алюминия в составе стронцийсиликатных носителей и промотора K_2CrO_4 как в обогащенных CrO_3 хромокислых катализаторах полимеризации на их электропроводниковые свойства.

Экспериментальная часть и обсуждение полученных результатов

Объектом исследования служили стронцийсиликатные носители с различным содержанием окиси алюминия и синтезированные на их базе хромокисные катализаторы, промотированные K_2CrO_4 и обогащенные хромовым ангидридом [9, 10, 11]*, физико-химические показатели которых показаны в таблице.

Электропроводность и термоэдс катализаторов и их носителей определялись общепринятыми методами на видоизмененном приборе Г. Б. Абдуллаева, Г. Гусейнова и Г. Ахундова [12].

Для измерения электропроводности и термоэдс носители и катализаторы измельчались в порошок, затем подвергались формовке путем прессования в виде прямоугольного параллелепипеда размером $5 \times 10 \times 15 \text{ mm}^3$, при давлении 2000 кг/см^2 и температуре 300°C .

* Носители и катализаторы любезно предоставлены Г. И. Алимардановым.

Формованные образцы катализаторов помещались в прибор между держателями, на поверхность которых наносилось серебро путем испарения в вакууме.

Электропроводность образцов измерялась соответственно молибденовыми зондами, а термоэдс—по медным ветвям, изменение температуры образцов производилось хромел-алюмелевыми термопарами.

Приведены результаты исследования зависимости электропроводности и термоэдс носителей и катализаторов от их нагревания.

На основании полученных данных рассчитаны энергия активации проводимости и концентрация носителей тока, что показано в таблице. Из данных таблицы видно, что по мере увеличения содержания Al_2O_3 в составе носителей и температуры нагрева, электропроводность и энергия активации проводимости увеличиваются, а концентрация носителей тока остается постоянной, в то время как термоэдс при низких температурах с ростом содержания Al_2O_3 увеличивается и при дальнейшем повышении температуры практически не изменяется.

Причем, проявление собственной проводимости указанных носителей начинается при 120° (23°C, 27°C) и 140°C (25°C).

Экспериментальные данные, а также величины удельной поверхности исследованных носителей дают основание считать, что алюмостронцийсиликатные носители являются полупроводниками *p*-типа, а их проводимость в основном зависит от химического состава.

Электропроводность и термоэдс хромокисных катализаторов, полученных на базе алюмостронцийсиликатных носителей, обогащенных Cr_2O_3 и промотированных K_2CrO_4 , как видно из данных таблицы, также зависит от температуры их нагрева и химического состава.

Нужно отметить, что величины электропроводности, термоэдс и энергии активации хромокисных катализаторов резко отличаются от таковых носителей. А именно, по мере повышения температуры нагрева, электропроводность катализаторов увеличивается в большей степени, чем их носителей.

По мере повышения содержания окиси алюминия в их составе при $t=40^\circ\text{C}$ термоэдс хромокисных катализаторов также резко повышается, в то время как энергия активации проводимости остается практически постоянной, хотя энергия активации катализаторов гораздо ниже, чем носителей.

На основании полученных данных можно заключить, что повышенные значения σ , α и пониженные значения ΔE -катализаторов обусловлены содержанием в их составе окислов алюминия и хрома и K_2CrO_4 .

Сказанное подтверждается результатами определения электропроводности и термоэдс хромстронцийсиликатных катализаторов (таблица).

Как видно из таблицы, по мере повышения температуры нагрева, наиболее высокое увеличение электропроводности имеет место в случае хромстронцийсиликатных катализаторов, обогащенных Cr_2O_3 и промотированных K_2CrO_4 , затем идет катализатор, обогащенный Cr_2O_3 и наименьшее значение σ имеет исходный образец хромстронцийсиликатного катализатора.

Интересно отметить, что большие значения константы Брунауэра "С", связанные с чистой энергией адсорбции, имеют место у тех катализаторов и носителей, которые обладают повышенными электропроводностью и термоэдс и пониженными значениями энергии активации проводимости, и наоборот.

Исследованные нами носители и хромокисные катализаторы отличаются тем, что чистая Al_2O_3 обладает проводимостью типа "Р". Это объясняется тем, что природа проводимости под влиянием окислов хрома носителя изменяется.

Обозначение обр.	Наименование носителей и катализаторов	Молекулярное соотношение составных компонентов образцов				% содержания CrO_3 в K_2CrO_4	Удельная поверхность, m^2/g	$\sigma \cdot 10^{-10} \text{ о.м}^{-1} \cdot \text{с.м}^{-1}$	$\Delta E_{\text{активации}}$, эВ	$\eta \cdot 10^{21} \text{ см}^{-2}$	$\eta_{\text{нагрев}} \text{ при } 20^\circ\text{C}$
		Al_2O_3	SiO_2	Cr_2O_3	Al_2O_3						
23-ЭС	Алюмостронцийсиликат	17,7	1,0	0,74	—	—	68	62,4	4,1	21	0,56
25-ЭС	Алюмостронцийсиликат	20,1	1,0	1,04	—	—	—	3,2	0,76	+400	6,31
27-ЭС	Алюмостронцийсиликат	19,0	1,0	1,50	—	—	238	163	180	1,33	43
23-ЭА	Хромалюмостронцийсиликат	19,1	1,0	0,61	0,80	4,9	1,6	—	—	1,34	41
25-ЭА	Хромалюмостронцийсиликат	18,2	1,0	1,43	0,80	4,8	1,6	267	175	218	1,35
27-ЭА	Хромалюмостронцийсиликат	18,2	1,0	2,10	0,80	4,7	1,6	319	67	401	4,1
18-Э	Хромстронцийсиликат	21,50	1,0	—	—	1,04	—	—	348	191	250
18-ЭА	Хромстронцийсиликат	21,05	1,0	—	—	1,34	4,7	—	322	142	280
18ЭАБ	Хромстронцийсиликат	20,9	1,0	—	—	1,53	4,7	1,5	373	118	521

Выводы

1. Исследованы температурная зависимость электропроводности, энергии активации и типа проводимости термоэдс стронцийсиликатных и алюмостронцийсиликатных носителей и синтезированных на их базе различного химического состава хромокисных катализаторов, промотированных K_2CrO_4 и обогащенных CrO_3 .

Установлено, что наиболее высокими значениями электропроводности обладают хромстронцийсиликатные катализаторы, промотированные K_2CrO_4 и обогащенные CrO_3 , затем идут исходные хромокисные катализаторы, обогащенные CrO_3 и наименьшие значения электропроводности наблюдаются у стронцийсиликатных и алюмостронцийсиликатных носителей.

3. Установлена симбатная связь между активностью хромокисных катализаторов, промотированных K_2CrO_4 , и величиной электропроводности и энергией активации проводимости.

4. Для исследованных нами катализаторов концентрация носителей тока остается почти постоянной, а параметры α , σ и ΔE почти не зависят от величины их удельной поверхности.

5. По мере увеличения в составе носителей и хромокисных катализаторов Al_2O_3 их электропроводности и термоэдс при нагреве увеличиваются, а энергия активации проводимости — уменьшается.

6. Исследованные носители и хромокисные катализаторы обладают проводимостью типа „Р“.

ЛИТЕРАТУРА

1. Волькенштейн Ф. Ф. Полупроводники как катализаторы химических реакций. Л., 1956.
2. Hauffe, Glang, Engell. Z. phys. Chem. 201, 223, 1953.
3. Жермен Ж. Гетерогенный катализ. Изд. ИЛ, 1961.
4. Сб. „Проблемы кинетики и катализа“, вып. Х. Физика и физико-химия катализа. Изд. АН СССР М., 1960.
5. Проблемы кинетики и катализа, т. XI. 6. Кейер Н. П., Рогинский С. З., Сазанова И. С. ДАН СССР*, 1956, 106, 859.
7. Белянский А., Дерень И., Габер И. Бюлл. Польской Академии наук. отд. 3, 221, 1955, 4, 791, 1955.
8. Хауффе К. Катализ-электронные явления ИЛ. 1958.
9. Зульфугаров З. Г., Алимарданов Г. И. и Агамирзоева З. Азерб. хим. журнал*, 1962, № 3.
10. Зульфугаров З. Г., Новрузов А. А. и Алимарданов Г. И. Азерб. хим. журнал*, 1966.
11. Алимарданов Г. И. Диссертационная работа, 1964 г. бюлл. ТИХХП.
12. Абдуллаев Г. Б., Гусейнов Г., Ахундов Г. Физика твердого тела, т. IV, изд. АН СССР, 1962.

Институт неорганической
и физической химии

Поступило 6. VII 1965

З. Н. Зульфугаров, Э. Э. Новрузов

Хромоксиди катализаторлары вә дашијычыларын кимјәви
тәркибинин онларын електрик кечиричилигинә вә термо
ЕhГ-нә тә'сириниң тәдгиги

ХУЛАСЭ

Мәгаләдә стронсиум, алюмостронсиликат дашијычыларынын вә онларын базасында назырламыш, CrO_3 -лә зэнкинләшмиш, K_2CrO_4 промотору илә мұхтәлиф кимјәви тәркиби хромоксиди катализаторларынын температурдан асылы оларға електрик кечиричилини, активләшмә енержиси вә термо ЕhГ тәдгиг едилмишdir.

Апартылан тәдгигатлардан ашағыдақы нәтичәләрә кәлмәк олар:

1. CrO_3 илә зэнкинләшмиш, K_2CrO_4 -лә промотор олунмуш хромстронсиликат катализаторлары даһа јүксәк електрик кечиричилијә маликдир. Соңра исә хромоксиди катализаторларыны CrO_3 -лә зэнкинләшdirдикдә стронсиликат вә алумостронсиликат дашијычыларынын електрик кечиричилијин азалмасы көзләнилir.

2. K_2CrO_4 промоторунда хромоксиди катализаторларынын активлиji илә електрик кечиричилији вә кечиричинин активләшмә енержиси арасында симбатлы әлагә варды.

3. Мүәjjәn олунмушдур ки, катализаторларын дашијычы чәрәjanынын гатылығы сабит галыр, α , σ , ΔE параметрләре исә катализаторларын хүсуси сәтниндән асылы олмур.

4. Гыздырма заманы Al_2O_3 хромоксиди катализаторлары вә дашијычыларын тәркиби артдыгча онларын електрик кечиричилији артыр вә кечиричинин активләшмә енержиси азалыр.

5. Мә'лум олумушдур ки, хромоксиди катализаторлары вә дашијычылары „Р“ тип кечиричилијә маликдир.

ОРГАНИЧЕСКАЯ ХИМИЯ

С. И. САДЫХ-ЗАДЕ, А. С. РЗАЕВА

О ВЛИЯНИИ ПРИРОДЫ ЗАМЕСТИТЕЛЕЙ В СЛОЖНЫХ ВИНИЛОВЫХ ЭФИРАХ ОКСИУКСУСНОЙ И β -ОКСИПРОПИОНОВОЙ КИСЛОТ НА СКОРОСТЬ ОМЫЛЕНИЯ

(Представлено академиком АН Азербайджанской ССР М. А. Далинным)

Реакция омыления сложных эфиров изучалась рядом исследователей [1, 2, 3] и установлено, что щелочной гидролиз их протекает с разрывом связи между карбоксильным углеродом и эфирным кислородом.

Ростовским, Ушаковым и Бариновой [4] изучена кинетика омыления сложных виниловых эфиров карбоновых кислот жирного ряда и найдено, что скорость бимолекулярной реакции в значительной степени зависит от природы заместителей в кислотном остатке.

В предыдущих работах [5, 6, 7] нами сообщено об исследовании влияния различных заместителей в сложных виниловых эфирах общей формулы $\text{ROCH}_2\text{COOCH}=\text{CH}_2$ и $\text{ROCH}_2\text{CH}_2\text{COOCH}=\text{CH}_2$ на их полимеризационные свойства.

В результате этих исследований установлено, что природа заместителей в указанных эфирах значительно влияет на характер получаемых полимерных продуктов.

В свете изложенного представлялось интересным изучить влияние природы заместителя и длины углеродной цепи кислотного остатка на электрофильный характер карбонильного кислорода в сложных виниловых эфирах оксикусусной и β -оксипропионовой кислот в реакции омыления. Указанные эфиры были синтезированы по методике [5, 6, 7].

Омыление виниловых эфиров, замещенных оксиуксусной и β -окси-пропионовой кислот, проводилось спиртово-щелочным раствором при комнатной температуре.

Полученные результаты гидролиза исследуемых эфиров графически изображены на рисунке.

Для более точного сравнения вычислены константа и относительная скорость омыления этих эфиров, строение и константы скорости омыления которых приведены в таблице.

Установлено, что скорость омыления эфиров арилоксусной кислоты (V, VI, VII) значительно больше, чем у β -арилоксипропионовой кислоты (VIII, IX, X). Следовательно, увеличение длины угле-

родной цепи кислотного остатка на $-\text{CH}_2-$ -группу замедляет скорость индукционного влияния арильного радикала в связи с затуханием еще в одну метиленовую группу от карбонильного кислорода.

Такая же закономерность наблюдается при сравнении соединений VIII и XII. В этом случае замедлению омыления способствует $\text{CH}_2\text{CH}_2\text{O}$ -группа.

Найдено, что введение метильного радикала в фенильное ядро заместителя во всех случаях (VI, VII, IX, X) понижает скорость омыления.

Уменьшение скорости омыления у виниловых эфиров (VI, VII, IX и X) по сравнению с V и VIII, можно объяснить электродонорным явлением метильного радикала.

Скорость омыления у винильного эфира β -этоксипропионовой кислоты (XI) в 2 раза ниже, чем у VIII и почти приближается к винилacetату (1).

Таким образом, замена одного атома водорода в метильной группе винилацетата как на арилокси-, так и на циклогексокси группу (II, III, IV) сильно влияет на электрофильный характер карбоксильного кислорода.

Константы скорости омыления сложных виниловых эфиров

№ п.п.	Эфир	Константа омыления, $\times 10^3$	Относительная скорость омы- ления*
I	$\text{CH}_3\text{COOCH}=\text{CH}_2$	19,74	1
II	$\text{C}_6\text{H}_{11}\text{OCH}_2\text{COOCH}=\text{CH}_2$	118,45	6,0
III	$2-\text{CH}_3\text{C}_6\text{H}_{10}\text{OCH}_2\text{COOCH}=\text{CH}_2$	124,95	6,33
IV	$3-\text{CH}_3\text{C}_6\text{H}_{10}\text{OCH}_2\text{COOCH}=\text{CH}_2$	123,31	6,24
V	$\text{C}_6\text{H}_5\text{OCH}_2\text{COOCH}=\text{CH}_2$	175,17	8,87
VI	$\text{o}-\text{CH}_3\text{C}_6\text{H}_4\text{OCH}_2\text{COOCH}=\text{CH}_2$	153,85	7,79
VII	$\text{n}-\text{CH}_3\text{C}_6\text{H}_4\text{OCH}_2\text{COOCH}=\text{CH}_2$	123,31	6,24
VIII	$\text{C}_6\text{H}_5\text{OCH}_2\text{CH}_2\text{COOCH}=\text{CH}_2$	52,09	2,64
IX	$\text{o}-\text{CH}_3\text{C}_6\text{H}_4\text{OCH}_2\text{CH}_2\text{COOCH}=\text{CH}_2$	43,24	2,11
X	$\text{m}-\text{CH}_3\text{C}_6\text{H}_4\text{OCH}_2\text{CH}_2\text{COOCH}=\text{CH}_2$	43,24	2,11
XI	$\text{C}_2\text{H}_5\text{OCH}_2\text{CH}_2\text{COOCH}=\text{CH}_2$	29,33	1,48
XII	$\text{C}_6\text{H}_5\text{OCH}_2\text{CH}_2\text{OCH}_2\text{CH}_2\text{COOCH}=\text{CH}_2$	29,14	1,43

* Константа скорости омыления винилацетата принята за единицу.

Удаление замещенной окси-группы от карбоксильного кислорода приводит к ослаблению его электрофильного характера.

ЭКСПЕРИМЕНТАЛЬНАЯ ЧАСТЬ

Омыление эфиров (II—XII) проводилось 0,089 н. спиртовым (93%) раствором NaOH (с точным титром) при 25° ($\pm 0,1^\circ$). К навеске исследуемого эфира приливали 25 мл вышеуказанного раствора щелочи (избыток щелочи 1,5—1,8 раза) и помещали в термостат. Отбор проб по 5 мл проводился через 2, 15, 30 и 60 мин.

К каждой отобранный пробе приливали 5 мл ледяной воды для замедления реакции омыления и оставшуюся в смеси щелочь титровали слабым раствором уксусной кислоты.

По количеству израсходованной на титрование уксусной кислоты, определяли количество оставшейся щелочи и вычисляли число групп омылевшегося эфира за определенный промежуток времени.

Полученные данные гидролиза графически изображены на рисунке.

В тех же условиях было проведено сравнительное омыление (1). Полученные результаты также изображены на рисунке.

Выводы

1. Изучена скорость реакции омыления сложных виниловых эфиров, замещенных оксиуксусной и β -оксипропионовой кислот. Установлено, что увеличение длины углеродной цепи кислоты в сложных виниловых эфирах на группу CH_2 приводит к уменьшению скорости омыления.

2. Найдено, что замещение атома водорода в фенильном ядре на метильный радикал в арилоксикислотах также приводит к уменьшению скорости омыления.

ЛИТЕРАТУРА

1. Polanyi, Szabo. Trans. Farad., Soc., 30, 508, 1934.
2. Кравченко А., Пензова В. ЖХХ, 20, 2076, 1956.
3. Бродский А. И. Химия изотопов. Изд. АН СССР, М., 1952, стр. 248.
4. Ростовский Е. Н., Ушаков С. Н., Баринова А. Н. „Изв. АН СССР“, 1958, 1, 59.
5. Садых-заде С. И., Раева А. С. „Азерб. хим. журнал“, № 6, 1964.
6. Садых-заде С. И., Раева А. С. „Уч. зап. АГУ“, 1, 75, 1965.
7. Садых-заде С. И., Раева А. С. ЖХХ, № 196.

ИНХП

Поступило 24. II 1965

С. И. Садыхзаде, А. С. Раева

Оксисиркэ вә β -оксипропион туршуларынын мүреккәб винил ефирләrinдә әвәзедичиләrin сабунлашма реаксијасынын сүр'етинә тә'сири

ХУЛАСӘ

Мәгалә әвәз едилмиш окисиркэ вә β -оксипропион туршуларынын мүреккәб винил ефирләrinни сабунлашма реаксијасынын өjrәнилмәссиә һәср едилмишdir.

Мүэjjэн едилмишdir ки, көстәрилән ефирләrdә әвәзедичи фенил радикалы олдугда сабунлашма реаксијасынын сүр'ети алкил әвәзедичисинә нисбәтән хејли артыг олур. Арилокситуршуларда фенил радикалынын бир һидрокенини метил радикалы илә әвәз етдиkdә сабунлашманын сүр'ети азалыр.

Мүреккәб винил ефирләrinдә туршу галығынын карбон зәнчирини— CH_2 —группу һәddиндә узадылмасы сабунлашма сүр'етинин азалмасына сәбәб олур.

ГЕОХИМИЯ

А. Д. СУЛТАНОВ, А. Л. ГУСЕИНОВ, О. Ш. НАИБОВ, Л. Г. ТУМИКЯН

К ВОПРОСУ О РАСПРЕДЕЛЕНИИ МИКРОЭЛЕМЕНТОВ В ПОРОДАХ КЮРОВДАГСКОЙ СТРУКТУРЫ

Как известно, одной из основных проблем геохимии является изучение формы нахождения и закономерностей распределения химических элементов в земной коре. Этой проблеме посвящены труды известных ученых—В. И. Вернадского, А. Е. Ферсмана, А. П. Виноградова, Д. П. Малюга и др.

Особо важное значение эта проблема приобрела за последнее десятилетие, в связи с разработкой прямых геохимических и радиометрических методов поисков и разведки нефтяных и газовых месторождений.

Большой вклад в разработку этих методов внесли: В. И. Красников, И. И. Гинзбург, А. И. Перельман, А. А. Сауков, В. А. Ковда, Ф. А. Алексеев, П. С. Славин, Г. А. Могилевский, Р. П. Готтих и др.

Ими установлено, что нефтяные и газовые залежи отмечаются микробиологическими, газобиохимическими, гидрогеологическими особенностями и аномалиями в распределении радиоактивных и стабильных элементов.

Аномальное распределение стабильных элементов выражается в том, что содержание их, определяемое количественным спектральным анализом над залежью ниже, чем за ее пределами.

Следует отметить, что изучение распределения химических элементов в осадочных породах нефтегазоносных районов Азербайджана начато давно и имеется целый ряд ценных работ следующих авторов: А. Д. Султанов, З. М. Ализаде, Д. И. Зульфугарлы, Г. Х. Эфендиева, Ч. М. Халифзаде, Ф. И. Векиловой, А. Д. Исраелян и др.

Работы этих авторов были посвящены решению ряда геологических задач (корреляций немых толщ, вопросам палеогеографии и др.).

С целью решения ряда задач прямых радиогеохимических методов поисков нефти и газа в 1958 г. сотрудниками ВНИИЯГа и АзНИИ по ДН были исследованы некоторые нефтегазоносные структуры Прикуринской низменности.

Ими было установлено аномальное распределение радиоактивных и стабильных элементов в почвах над залежами нефти и газа, в частности аномальность в распределении химических элементов наблюдалась в Кюровдагской нефтегазоносной структуре [1, 2, 3].

В пределах данной структуры аномалия по микроэлементам четко отражает контур залежи и хорошо согласуется с зоной пониженных значений гамма-поля (рис. 2).

Полученные выше закономерности в распределении радиоактивных и стабильных элементов в почвах Кюровдагской структуры, представляют интерес при исследовании распределения микроэлементов в породах, отобранных по разрезам скважин, находящихся внутри и за контуром нефтеносности данной структуры.

С этой целью нами изучались образцы кернов в количестве 61 пробы, отобранные из 6 структурно-поисковых скважин Кюровдагской структуры.

Глубина исследования резервов скважин составляет от 0 до 600 м.

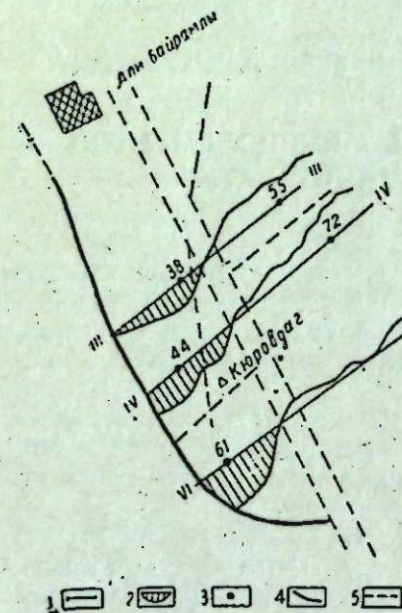


Рис. 1.

1—радиометрические профили; 2—участки с аномально повышенной гамма-активностью; 3—скважины; 4—контур нефтеносности; 5—линии нарушений.

На рис. 1 изображен схематический план расположения исследуемых скважин, изменение характера гамма- поля по профилям, а также контур нефтеносности исследуемой площади. Как видно из рис. 1, зона пониженных значений гамма-активности отлично совпадает с известным контуром нефтеносности.

В настоящей статье излагаются результаты количественного спектрального и гранулометрического анализов пород данной структуры.

Анализы пород произведены в лабораториях Института геологии АН Азербайджанской ССР.

Спектральным анализом определялось содержание следующих элементов: Ba, Mn, Pb, Sr, V, Ni, Cu, Ti и Cr.

Анализы проводились по методике одновременного количественного определения многих элементов.

Среднее содержание ряда химических элементов, полученное в результате анализов пород по разрезам отдельных скважин, приведено в таблице.

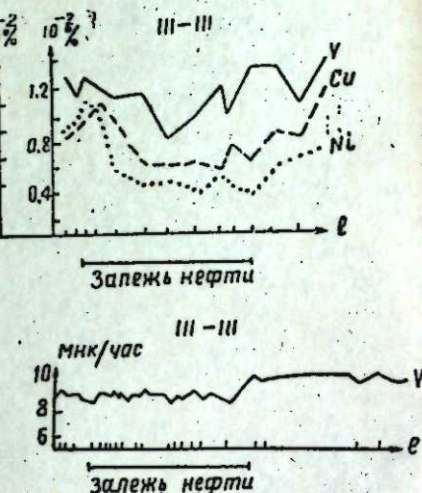


Рис. 2.

№ пп. скв.	№ скв.	Возраст	Местонахождение	Спектральный анализ, %						Механический анализ*			
				0.01-0.25 Mn	0.01-0.25 Pb	0.01-0.25 Sr	0.01-0.25 V	0.01-0.25 Ni	0.01-0.25 Cu	0.25-0.1 Mн/с	0.25-0.1 Pb	0.25-0.1 Sr	0.25-0.1 V
1	38	Аш-ропский	Внутри контура нефте- коности	7,15	5,0	5,1	4,5	1,3	8,7	1,6	6,25	27,68	54,08
2	55	Тот же	За контуром нефте- коности	4,5	8,35	6,1	6,2	6,3	14,5	13,0	2,1	7,6	25,17
3	44	*	Внутри контура нефте- коности	2,9	4,9	4,1	3,87	1,9	1,3	3,8	10,0	5,0	23,28
4	72	*	За контуром нефте- коности	10,0	9,2	7,1	7,0	5,1	2,1	4,5	10,75	6,7	20,55
5	61	*	Внутри контура нефте- коности	3,0	4,5	5,6	1,35	5,4	0,55	6,5	2,1	4,9	18,16
6	78	*	За контуром нефте- коности	7,0	5,5	5,8	4,7	8,1	2,8	8,7	3,12	5,3	23,32
В литосфере													
				5·10 ⁻²	9·10 ⁻²	4·10 ⁻²	15·10 ⁻³	16·10 ⁻³	15·10 ⁻³	1·10 ⁻²	6·10 ⁻²	1·10 ⁻²	2·10 ⁻²

* Содержание отдельных фракций по механическому анализу вычислено с учетом растворимой части породы.

Согласно полученным данным отмечается аномалийность в распределении микроэлементов в породах исследуемой структуры. Эта аномалийность выражается в том, что содержание микроэлементов в породах из скважин 38, 44, 61, находящихся внутри контура нефтеносности, заметно понижено (см. таблицу) по сравнению с данными из скважин 55, 72 и 78, расположенных за контуром нефтеносности. Так, например, величины усредненных значений процентного содержания элементов указанных в таблице для проб отобранных из скважин внутри контура нефтеносности не превышают 29—54% от таких за контуром нефтеносности.

Следует также отметить, что среднее содержание изученных элементов (за исключением Pb) в породах исследуемой структуры ниже, чем их кларковое содержание [4] в литосфере (таблица).

По данным механического анализа исследуемые пробы почти не отличаются друг от друга (см. таблицу), что затрудняет выделения некоторых аномалий, которые можно было бы связать с вышеуказаниной аномальностью в распределении микроэлементов.

Исходя из вышеприведенного можно предположить, что наблюдаемая закономерность в распределении микроэлементов в породах по площади Кюровдагской структуры обусловлена наличием особой геохимической обстановки над залежью нефти и, по-видимому, является частью общей геохимической аномалии, характерной для большинства нефтегазоносных структур.

ЛИТЕРАТУРА

1. Алексеев Ф. А., Готтих Р. П., Сундукова Г. Д. Результаты радиометрических исследований нефтяного месторождения Кюровдаг. Сб. „Ядерная геофизика“, 1962. 2. Сб. „Ядерная геофизика“, 1959. 3. Совещание по состоянию и совершенствованию прямых методов поисков нефтяных и газовых месторождений. Тез. докл. г. Волгоград, 1964. 4. Виноградов А. В. Геохимия редких и рассеянных химических элементов в почвах. 1964.

Институт геологии

Поступило 10. IV 1965

Э. Ч. Султанов, Э. Л. Ыссеинов, О. Ш. Наибов, Л. Г. Тумикян

Кюровдаг структуру сухурларында микроэлементләрин пајланмасына даир

ХУЛАСЭ

Кюровдаг структуру сухурларында микроэлементләрин ичә пајланысының өјрәнмәк мәгсәди илә 6 гујудан көтүрүлмүш 61 нүмүнә мигдары спектрометрик вә механики анализ үсүлү илә тәдгиг едилмишdir. Тәдгигатын иәтичәләри 1-чи чәдвәлдә верилмишdir.

Әлдә едилән мә’лumatлар көстәрир ки, нефти саһәдә јерләшән гујулардан (38, 44 вә 61) көтүрүлмүш нүмүнәләрдә микроэлементләрин (Ba, Mn, Sr, Pb, V, Ni, Cu, Ti вә Cr) фазалә мигдары нефтил контуру харичинде газылыш гујуларын (55, 72 вә 78) нүмүнәләрине иисбәтән бир гәдәр ашағыдыр (1-чи чәдвәл).

Мүэллифләр көрә, Кюровдаг структуру сухурларында микроэлементләрин пајланмасында мушаңидә олунаң бу ганунаујғунлуг һәмин структурда јерләшән нефт ятагының тә’сири иәтичәсидir.

ГЕОХИМИЯ

Э. А. АГАМИРЗОЕВА

УПРУГОСТЬ И КОМПОНЕНТНЫЙ СОСТАВ ВОДНОРАСТВОРЕННЫХ ГАЗОВ ПОДКИРМАКИНСКОЙ СВИТЫ БАЛАХАНЫ-САБУНЧИ-РАМАНИНСКОГО МЕСТОРОЖДЕНИЯ

(Представлено академиком АН Азербайджанской ССР Ш. Ф. Мехтиевым)

В 1963—1965 гг. впервые в Азербайджане проведены исследования газов, растворенных в пластовых водах ПК свиты Балаханы-Сабунчи-Раманинского месторождения. Это месторождение, расположенное в 12 км от г. Баку, приурочено к одному из воздыманий Фатман-Зыхской антиклинальной зоны.

Разрез ПК свиты, общая мощность которой варьирует от 80 до 115 м, представлен среднезернистыми песками с редкими прослоями глии (1—2 м). ПК свита в районе грязевого вулкана Богбога (у села складки) залегает на глубине 100 м. В восточном и юго-восточном направлении она резко погружается и в Раманы-Сураханском седле ее кровля отмечается на глубине 1840 м.

Структура ПК свиты осложнена множеством тектонических нарушений, из которых наибольшую амплитуду имеют два региональных круто падающих сброса, удаленные друг от друга на 300—400 м. Прослеживаясь вдоль осевой части структуры, эти главные нарушения делят складку на тектонические поля: приподнятое северо-восточное и опущенное на 70—100 м—южное.

Нефтяная залежь расположена в основном на северо-восточном поле, хотя и на южном крыле имеются незначительные нефтеносные участки, примыкающие к нарушению.

Залежь ПК свиты характеризуется режимом растворенного газа, и только на юго-восточном окончании несколько проявляется водона-порный режим.

Воды ПК свиты—щелочные, гидрокарбонатнонатриевого типа. Общая минерализация колеблется в пределах 556—880 мэкв/л.

Всего по ПК свите исследовано 19 глубинных проб. Исследования велись по следующей методике. Пробоотборником типа ПРИЗ из обводненных скважин отбирались глубинные пробы воды. Затем эти пробы дегазировались термовакуумным способом. Извлеченный таким способом газ подвергался анализу на приборах ВТИ и хроматографе¹.

¹ Анализ газов производился в газовой лаборатории ЦНИПРа НПУ „Лениннефть“ инженером-химиком И. А. Шахназаровой.

При дегазировании определялся объем газа, приходящегося на единицу объема воды, который являлся исходной величиной для расчета важнейшей характеристики воднорастворенного газа — упругости (давления насыщения). Так как значения упругости на изучаемой площади относительно небольшие и состав растворенных газов сравнительно простой, то упругость газов рассчитывалась по законам Генри и Дальтона.

По данным исследований составлена схема упругости (рисунок). Распределение изолиний упругости позволяет отметить следующие закономерности.

Сравнительно высокими значениями упругости (30—40 атм) характеризуется центральная часть сводовой полосы в зоне развития большого количества сбросов (см. рисунок).

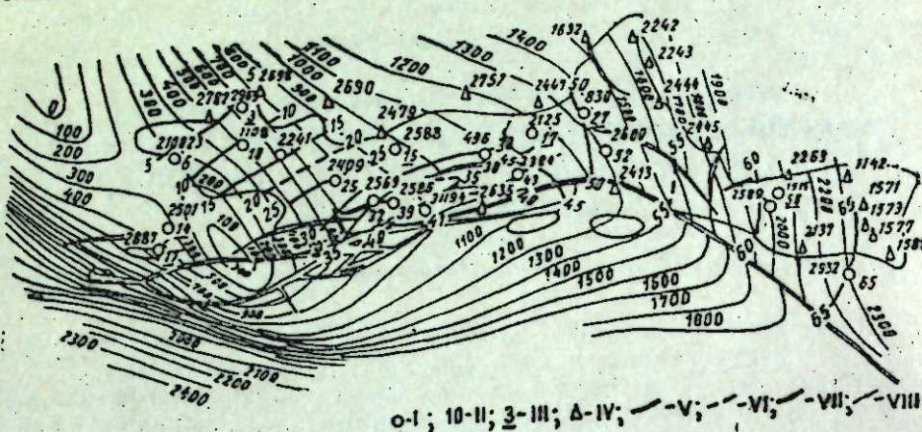


Схема изменения общей упругости воднорасторимого газа ПК свиты:
 I—скважина, в которой производились исследования воднорасторимого газа;
 II—значение упругости, атм; III—аномальное значение упругости, атм; IV—
 нагнетательные скважины; V—изолинии упругости; VI—предполагаемые линии
 упругости; VII—контуры нефтеносности; VIII—структура по кр. ПК
 (Составила Э. А. Агамирзоева)

(Составила Э. А. Агамирзоева).

Кроме того, упругость заметно растет по мере регионального погружения всей складки в юго-восточном направлении. В северо-западном направлении от указанной полосы вдоль северо-восточного крыла наблюдается постепенное понижение упругости воднорастяренных газов, доходящей до 5 атм у самой северо-западной кромки контура залежи в районе расположения скважины № 210023.

Однако имеются случаи, когда в отдельных скважинах общая закономерность распределения упругости воднорастворенных газов нарушается аномальными значениями, например, по скважинам №№ 2965, 2588, 2125, 830, 1515, 2501, 2887. Это явление объясняется компонентным составом растворенных газов (таблица).

Изучение воднорастворенных газов ПК свиты показало, что в компонентном составе последних основную роль играют углеводороды, особенно метан (95—99%); содержание углекислого газа обычно не превышает 3—4% (см. таблицу). В указанных аномальных скважинах в составе воднорастворенных газов встречаются в сравнительно больших количествах углекислый газ (6—41%) и азот (3—15%) и соответственно снижается содержание метана до 70 или даже до 50% (см. таблицу). При этом углекислый газ, обладающий гораздо меньшей парциальной упругостью, чем метан, обуславливает понижение общей упругости.

THI

Балахны-Сабуучи-Раманинского месторождения неф

№ пп.	Скважина	Состав газа, об./%						Газонасыщенность, $\text{м}^3/\text{м}^3$			Парциальная пр-гость, ат.к		Общая пр-гость, ат.к
		Ингервал перфорации, м	Уровень отбора, м	Глубина отбора, м	CH ₄	C ₂ H ₆	C ₃ H ₈ C ₄ H ₁₀ C ₆ H ₁₂	CO ₂	N ₂ 2 своб.	H ₂	CH ₄	CO ₂	N ₂
1	2600	1335—1364	586	1335	97,1	1,43	1,01	0,46	—	—	52	—	52
2	210023	320—329	230	96,1	0,49	1,2	2,21	—	—	—	6	—	0,6
3	2569	852—887	630	852	96,0	0,55	0,65	1,3	—	1,5	31,6	—	31,5
4	2569	2072—2099	500	2072	98,35	0,7	—	0,3	0,65	—	61,0	—	61,0
5	2501	354—364	160	354	54,0	0,7	1,1	41	3,2	14	0,3	0,15	14,45
6	1515	2069—2083	310	2069	80,3	0,65	0,75	10,1	8,2	51	0,2	7,0	58,2
7	2687	474—489	190	474	53,0	0,6	0,9	37,0	3,5	862	17	0,32	0,1
8	2125	1194—1204	655	1194	70,2	1,4	2,3	19,1	7,0	686,1	14	0,15	17,15
9	830	1345—1365	960	1345	74,85	0,75	—	6,3	15,6	695,3	20	—	27,0
10	496	1103—1131	980	1103	97,65	0,3	0,8	0,4	—	825,3	30	—	30,0
11	2965	643—656	350	643	72,0	1,2	1,2	25,6	—	5	3	—	3,0
12	2932	2407—2421	560	2407	97,1	0,73	1,15	0,41	—	1387,9	65	—	65,0
13	2409	832—869	528	832	95,6	0,3	1,4	2,7	—	661,7	25	—	25,0
14	2384	1056—1072	703	1056	95,2	1,1	1,8	1,4	—	1342,2	43	—	43,0
15	1108	580—645	316	590	94,5	0,4	0,8	4,3	—	221,2	10	—	10,0
16	2588	1002—1020	650	1002	80,1	1,74	1,21	14,6	—	619,3	15	0,1	15,17
17	2586	958—964	600	958	97,0	0,4	0,7	0,66	—	1107,5	39	—	39,0
18	31194	931—974	781	931	95,0	0,6	0,9	2,5	—	1204,5	41	—	41,0
19	2241	700—710	700	700	98,0	0,51	—	—	—	265,5	12	—	12,0

Причина. Парциальные упругости некоторых компонентов не приведены; из-за незначительных содержаний их невозможно определить.

Следует отметить, что лабораторными исследованиями установлено воздушное происхождение азота, обнаруженного в этих скважинах.

Промысловые данные показывают, что скважины №№ 2501, 2887, 830, 1515 эксплуатируются компрессорным способом, а скважины №№ 2965, 2588, 2125, 1515 находятся соответственно под воздействием нагнетательных скважин №№ 2698, 2479, 2447, 2263.

Указанная выше метаморфизация состава газов, по-видимому, обусловливается окислением нефти под воздействием воздуха, поступающего в пласт при закачке или компрессорном способе эксплуатации. Кислород воздуха, как химически активный элемент, вступает во взаимодействие с нефтью, в результате чего образуется углекислый газ легко растворяющийся в воде, а инертный азот, освободившийся из воздуха, растворяется частично². При этом следует отметить, что повышенное содержание азота в скважинах №№ 830, 1515 по сравнению со скважинами №№ 2501, 2887, по-видимому, объясняется погружением пласта в первом случае на глубину 1500—2000 м, где повышенное давление (до 100 atm) и температура (65°) благоприятствуют растворению азота в пластовой воде.

Изменение давления насыщения и состава воднорастворенных газов ПК свиты в зависимости от воздействия на пласт вторичными методами или компрессорного способа эксплуатации позволяет рекомендовать подобные исследования для определения участков, охваченных воздействием вторичными методами, а также для выбора правильного режима компрессорной эксплуатации.

Приуроченность повышенных значений упругости к нарушенной сводовой части должна быть обусловлена стремлением газов к приподнятым, к тому же ослабленным нарушениям участкам структуры.

Рост упругости по мере погружения пласта в юго-восточном направлении разрешает предположить, что источник питания пластовых вод углеводородами располагается в Южно-Каспийской впадине [3], откуда происходит боковая миграция их, играющая немаловажную роль в формировании нефтяных залежей.

ЛИТЕРАТУРА

1. Корценштейн В. Н. Гидрогеология газоносной провинции Центрального Предкавказья. Гостоптехиздат, 1960.
2. Намиот А. Ю. и Бондарева М. М. Растворимость газов в воде под давлением. Гостоптехиздат, 1963.
3. Султанов Б. И. Основные теоретические вопросы распределения нефтей и вод, геохимия и гидрохимия и условия формирования их в продуктивной толще Ашеронской нефтеносной области. Изд. Азнефтехим. 1961.

Институт геологии

Поступило 19.VI 1965

Е. Э. Агамирзяева

Балаханы-Сабунчу-Рамана нефт ятағы ГА дәстәсинин суда һәлл олумыш газларының дојма тәзілгі вә компонент тәркиби

ХҮЛАСӘ

Суда һәлл олумыш газларын тәдгиги нәтичесинде ГА дәстәси газларының суда дојма тәзілгінин пајланмасы ганунаујғуилуғу мүәjjән едилмишdir. Мә’лум олумшудур ки, газларын суда дојма тәзілгі газларын компонент тәркибләриндән асылыдыр.

² Растворимость азота в водах затруднена, так его коэффициент растворимости в 10 раз меньше, чем у углекислого газа [2].

Газларын суда нисбәтән јүксәк дојма тәзілгі (40—45 atm) текtonик позулманың жаһыныңында, гырышыны ох хәтти бојунда мүшәнидә едилмишdir.

Гырышыны чәнуб-шәрг периклиналы һиссәсендә газларын суда дојма тәзілгі максимума (65 atm) чатыр. Гырышыны шимал-шәрг ганады боју шимал-гәрбә дөгру газларын суда дојма тәзілгі кәсқин сурәтдә азалараг 5 atm-ә чатыр.

Бә’зи гујуларда газларын суда дојма тәзілгі көстәрилән ганунаујғуилугдан кәнара чыхыр. Бу вәзијәт лајлара сүн’и тә’сир көстәрмәк методундан вә компрессор үсулу илә истисмардан асылы олар, газларын компонент тәркибләринин дәжишмәсі илә изаһ олунур. Белә ки, газларда ади карбоидрокен тәркибләриндән башга, атмосфер азоту вә карбон туршусы газы да мүәjjән едилмишdir.

Газларын суда дојма тәзілгінин пајланмасыны ганунаујғуилуғу вә газларын компонент тәркибинин дәжишмәсендән ашағыдақы нәтичәләрә кәлмәк олар.

1. ГА дәстәси ятағынын әмәлә кәлмәсindә карбоидрокенләрин jan миграциясынын мүәjjән ролу олумшудур. Чох күман ки, ГА дәстәсini гидаланма мәнбәни. Чәнуби Абшерон чөкәклийндә јерләшир [3].

2. Лајлара сүн’и тә’сир зонасыны, һәмчинин компрессор үсулу илә истисмар заманы гујуларын дүзкүн режимини мүәjjән етмәк мәгсәди илә суда һәлл олумш газларын тәдгиги мүһүм әһәмијәтә маликдир.

ГЕОФИЗИКА

[Ш. С. РАГИМОВ], Ф. Т. КУЛИЕВ, К. Ш. ИСЛАМОВ

ХУДАТСКОЕ ЗЕМЛЕТРЯСЕНИЕ 10 МАЯ 1963 ГОДА

(Представлено академиком АН Азербайджанской ССР М. А. Кашиком)

10 мая 1963 г. в 10 час 57 мин 24 сек Гринвичского времени северо-западнее от г. Худат произошло 6-балльное землетрясение. По инструментальным данным положение эпицентра определено [1, 2] как $\phi = 41^{\circ}40'N$ и $\lambda = 48^{\circ}30'E$, что согласуется с эпицентром, найденным по макросейсмическим данным (рисунок). Интен-

Картина изосейст Худатского землетрясения 10. V 1963 г.:
1—эпицентр землетрясения; 2—сила землетрясения 6 баллов; 3—5—6 баллов; 4—5 баллов; 5—4—5 баллов; 6—4 балла; 7—3—4 балла; 8—3 балла; 9—изосейсты.

сивность землетрясения $M = 3 \frac{3}{4}$, глубина очага оценена [3, 4] по соотношениям балльностей и расстояний между соответствующими изосейстами и в среднем равна 15—20 км.

Последствия землетрясения были рассмотрены путем опроса населения и ознакомления с районом землетрясения.

Картина проявления силы землетрясения следующая: (оценка силы землетрясения в различных пунктах дана по сейсмической шкале ИФЗ АН ССР, составленной С. В. Медведевым).

В Кулларе, Дустагир-оба, Ясав-оба, СДК (граница Азербайджан—Дагестан), Буд-Казмаляре, Мамраше, Ширвановке, Леджете и Худате землетрясение ощущалось силой 6 баллов. В этих пунктах во многих зданиях отмечались легкие повреждения, в отдельных зданиях группы А и В—значительные. Имели место обвалы ветхих строений и осипание грунтов. Качались висячие предметы, сдвигалась легкая мебель, падали посуда и книги, многие выбегали из помещений, передвигаться без опоры было трудно.

В Зухул-оба, Яламе, Кырах-оба, Ягуб-оба, Кехна-Худате, Муджух-Казмаляре землетрясение ощущалось с силой 5—6 баллов; в Кусарче, Бала-Кусаре, Пир-Кули-оба, Орта-оба, Зейхур-оба, Бедыркале, Пердыкране, Белиджи, Мугтадире, Шолларе и Габибкенте—5 баллов; в Укур-оба, Кубе и Набране—4—5 баллов; в Кусарах, Мугудже, Испике, Мискинчи, Хутарге, Мака и Хачмасе—4 балла; в Судуре и совхозе им. Советской Конституции—3—4 балла; в Шабране (Рагими), Дустагире, Шалбуздаге и Дербенте—3 балла. В Махачкале не ощущалось.

ЛИТЕРАТУРА

- Левицкая А. Я., Лебедева Т. М. Годограф сейсмических волн Кавказа. Квартальный сейсмический бюллетень. Тбилиси, 21, № 1—4, 1963.
- Кузнецов В. П. Годограф землетрясений Юго-восточного Кавказа. Изв. АН ССР, серия геофизич., 1961, № 6.
- Медведев С. В. Инженерная сейсмология. Госстройиздат, М., 1962.
- Айвазов И. В. Зависимости между балльностью, интенсивностью и глубиной очага для Кавказских землетрясений. Сообщения АН Груз. ССР, XXVI, № 2, 1961.

Институт геологии

Поступило 28. IV 1964

[Ш. С. Рагимов, | Ф. Т. Гулиев, К. Ш. Исламов

10 мај 1963-чү ил Худат зәлзәләси

ХУЛАСЭ

1963-чү ил мајын 10-да Гринвич вакты илә saat 10—57 дәгүгәдә Худат шәһәриндән шимал-гәрбдә 6 бал күчүндә зәлзәлә башвермишdir. Чиңазларын вердији вә зәлзәлә рајонунун билаваситә јохланмасындан алышан мә’луматлара әсасен епсентрик координаты $\phi = 41^{\circ}40'N$, $\lambda = 48^{\circ}30'E$, $M = 3 \frac{3}{4}$ вә очагын дәринлиji $h = 15—20$ км олмушшур.

Мәгаләдә мұхтәлиф јашаыш мәнтәгәләрindә зәлзәләниң иечә бал күчүндә нисс едилмәси һағында мә’лumat верилмишdir.

40

ГЕОЛОГИЯ НЕФТИ

А. А. САРКИСОВ

ВЛИЯНИЕ ТЕМПЕРАТУРЫ НА ОТМЫВ НЕФТИ
С ПОВЕРХНОСТИ КАРБОНАТНЫХ ПОРОД

(Представлено академиком АН Азербайджанской ССР А. А. Якубовым)

Известно, что карбонатные породы являются одним из основных породообразующих минералов, наиболее часто встречающихся в нефтяных коллекторах продуктивной толщи (Апшерона). Петрографические исследования показывают, что карбонатные породы сильно отличаются по своей структуре.

Поэтому с целью выяснения влияния структуры минерала на отрыв и отмыв нефти, исследование проводилось с тремя разновидностями минералов, состоящих только из одного кальцита.

Первый образец представлял собой чистый кристаллический кальцит, второй—крупнозернистую породу с мозаичной структурой, размер зерен в основном 1,5–2,5 мм, третий образец—мелкозернистая порода с гетеропластовой структурой, размер зерен колеблется от 0,05 до 0,6 мм.

В опытах при различных температурах определялось количество отмытых с поверхности пластинок, изготовленных из указанных образцов минералов нефти, а также изменение краевого угла смачивания в зависимости от времени.

Для определения количества отмытой нефти с поверхности пластинок была использована методика Г.А. Бабаляна.

Предварительно из целого куска минерала вырезались пластинки размером 40×30×10 мм, которые затем подвергались шлифовке.

Неоднократной промывкой в дистиллированной воде добивались полной чистоты поверхности пластинок. После этого высушенные при $t=104^{\circ}\text{C}$ пластинки приводились в контакт с нефтью.

Затем эти пластинки устанавливались вертикально и фильтровальной бумагой снимался стекающий избыток нефти.

Каждый образец в опытах использовался только один раз. Подготовленный таким способом образец опускался в стакан с водным раствором ОП-10, затем в стакан подливался очищенный керосин определенного объема.

По мере всплывания от поверхности погруженной пластинки отмытая нефть растворялась в керосине. Количество отмытой нефти определялось по изменению оптической плотности (D) керосинового рас-

твора нефти и по зависимости $D=f(c)$ определялась соответствующая концентрация или количество нефти, растворенные в керосине (P).

Подобные измерения производились по мере увеличения количества отмытой нефти с поверхности пластинок.

Количество оставшейся на поверхности минералов нефти определялось по формуле

$$P_{\text{н}} = P_2 - P_1,$$

где

P_1 —вес пластиинки;

P_2 —вес пластиинки с нанесенной пленки нефти.

Таким образом, зная величину $P_{\text{н}}$, определялась нефтеотдача пластиинки по формуле

$$\eta = \frac{P}{P_{\text{н}}}.$$

Для измерения краевого угла смачивания использовался метод проектирования капель нефти. Опыты проводились с высокоактивной нефтью ПК „Артемнефть“.

Результаты проведенных исследований приведены в виде кривых зависимостей на рис. 1, 2, 3 и в таблице, из которых видно, что увеличение температуры в пределах от 20 до 82°C во всех случаях приводит к увеличению нефтеотдачи пластиинок. При этом максимальное увеличение нефтеотдачи происходит на пластиинках из чистого кальцита, минимальное—на пластиинках из третьего образца минерала с мелкозернистой структурой.

По-видимому, это объясняется тем, что относительно большое число микротрещин, и пор образца три способствуют лучшему капиллярному пропитыванию нефти в глубь образца.

В связи с этим при прочих равных условиях прочность связи углеводородной жидкости с поверхностью минерала из образца три будет больше, чем при образцах два и один.

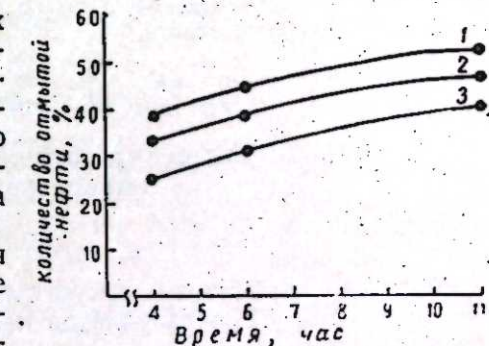


Рис. 1. Нефтеотдача пластиинки из образца минерала 1 в среде раствора ОП-10 в морской воде.
При температуре: 1— 20°C ; 2— 52°C ; 3— 82°C .

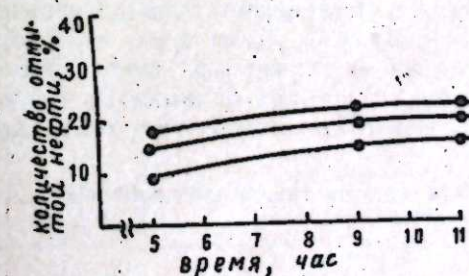


Рис. 2. См. подпись к рис. 1.

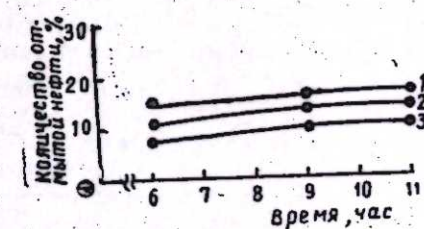


Рис. 3. См. подпись к рис. 1.

О том, что на величину отмыва нефти большое влияние оказывает структура минерала также указывает кинетика изменения краевого угла смачивания (см. таблицу).

Равновесное значение краевого угла смачивания в морской воде, град.

№ образца	Время, час.	20°C	52°C	82°C	Примечание
1	8	124	118	112	Измерялся со стороны водной фазы
	12	110	104	96	
2	8	162	158	152	0
	12	157	153	148	
3	8	166	159	155	Измерялся со стороны водной фазы
	12	164	156	153	

Из приведенных данных таблицы видно, что краевой угол смачивания при прочих равных условиях на поверхности пластиинки из образцов три больше, чем из образцов один и два.

Таким образом, результаты измерения количества отмыва нефти и величины краевого угла смачивания на поверхности карбонатных пород показывают, что смачиваемость минералов помимо других факторов существенным образом зависит от их структуры.

Институт проблем глубинных нефтегазовых месторождений

Поступило 27. V 1966

А. А. Саркисов

Карбонатлы сухур сәттіндән нефтин жуулмасына температурун тәсіри

ХУЛАСӘ

Мәгәләдә карбонатлы сухур сәттінин гурулушундан асылы олараг, мұхтәлиф температурларда нефтин һәмнің сәттіләрдән жуулмасы ежрәнилмишdir.

Еjни заманда, тәрүбәдә карбонатлы сухур сәттінин нефтлә, вахтадан асылы олараг, исланма бучаглары гијметинин дәжишмәсі тә'жин едилмишdir.

Мә'лум олмушдур ки, карбонат сухур сәттіндән жуулан нефтин мигдары вә исланма бучагларының гијмети башга факторлардан әла-вә, онларын сәттінин гурулушундан да асылыдыр.

АЗЭРБАЙЧАН ССР ЕЛМЛӘР АҚАДЕМИЈАСЫНЫН МӘРҮЗӘЛӘРИ

ДОКЛАДЫ АКАДЕМИИ НАУК АЗЕРБАЙДЖАНСКОЙ ССР

ТОМ XXII

№ 6

1966

ГЕОГРАФИЯ

Р. Л. РЕИФМАН

О СООТНОШЕНИИ ПРЯМОЙ, РАССЕЯННОЙ И СУММАРНОЙ РАДИАЦИИ НАД ЮЖНЫМ КАСПИЕМ

(Представлено академиком АН Азербайджанской ССР М. А. Кашиевым)

В последние годы все чаще и чаще в науке поднимается вопрос о возможных путях расчета погоды. Весьма важным в этой связи является выяснение количества тепла, которое способна отдать атмосфере подстилающая поверхность. Одним из факторов, определяющих этот процесс, является отражательная способность (альбедо). Величина альбедо в свою очередь во многом зависит от той формы, в которой приходят к отражающей поверхности солнечные лучи, проходя через атмосферу.

Из теории вопроса о рассеянии света известно, что

$$\alpha = \frac{S^1}{Q} \alpha_s + \frac{D}{Q} \alpha_d, \quad (1)$$

где S^1 —прямая радиация на горизонтальную поверхность;

D —рассеянная радиация;

Q —суммарная радиация на горизонтальную поверхность;
 α_s ; α_d —альбедо прямой и рассеянной радиации.

Принимая, что α_d —постоянно, для изучения изменения величины относительного отражения следует подробнее остановиться на соотношении величин S^1 , D и Q . Величина α_s для идеальной атмосферы вычисляется по формуле Френеля. Нами вычислено отношение рассеянной радиации к прямой по материалам экспедиционных актинометрических наблюдений в Южном Каспии.

Таблица 1*

Соотношения между прямой, рассеянной и суммарной радиациями для идеальной атмосферы

h_0	3°	15°	30°	45°	60°	90°
D/s'	0,444	0,119	0,066	0,049	0,041	0,036
s'/Q	0,70	0,90	0,94	0,95	0,96	0,97

* Величины взяты из [1].

Таблица 2

Отношение рассеянной радиации к прямой (D/S') при безоблачном небе и за все дни (по экспедиционным наблюдениям)

h_0	2,5°	7,5°	15°	25°	35°	45°	55°	65°	70–75°
При безоблачном небе	Ч. сл.	8	22	46	15	17	21	21	16
	Ср.	2,21	1,78	0,89	0,39	0,32	0,30	0,25	0,23
При общей облачности	Ч. сл.	39	75	125	37	51	49	55	53
	Ср.	3,35	2,33	1,32	0,72	0,56	0,52	0,43	0,37

Таблица 3

Отношение прямой радиации к суммарной (S'/Q) при безоблачном небе и за все дни (по экспедиционным наблюдениям)

h_0	2,5°	7,5°	15°	25°	35°	45°	55°	65°	70–75°
При безоблачном небе	Ср.	0,31	0,36	0,53	0,72	0,76	0,77	0,80	0,81
При общей облачности	Ср.	0,23	0,30	0,43	0,58	0,64	0,66	0,70	0,70

Из табл. 1–3 и рис. 1, 2 видно ослабление, которое претерпевают солнечные лучи, проходя не через идеальную атмосферу, как предполагал Френель, а в условиях исследуемого района, при наличии влажности воздуха, облачности и запыления. Очевидно, что наибольшие искажения вносит облачность.

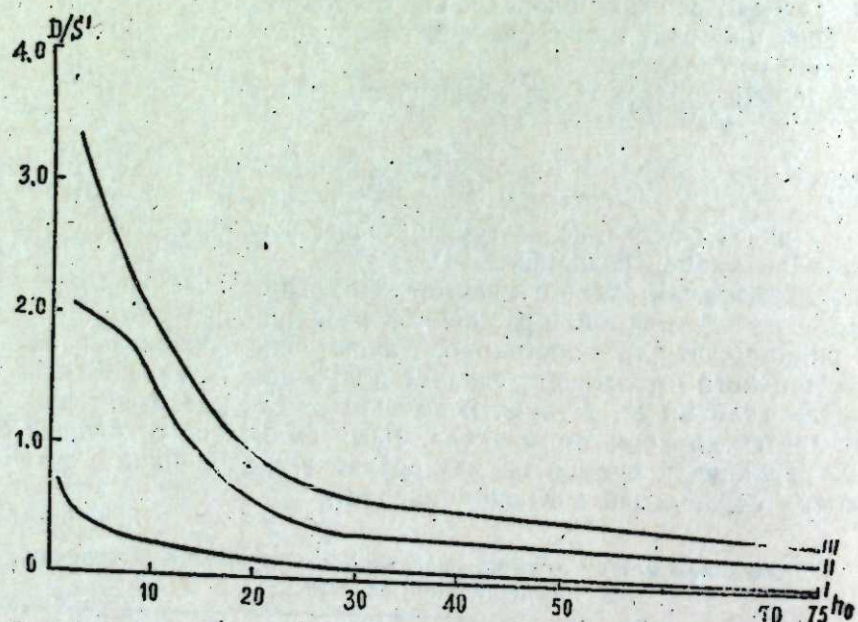


Рис. 1. Отношение рассеянной радиации к прямой для идеальной атмосферы (I), для безоблачного неба (II) и за все дни наблюдений (III).

С уменьшением высоты солнца отношение прямой радиации к суммарной очень быстро убывает и, как показали наблюдения, имеется много случаев, когда при высоте солнца 7–8° и безоблачном небе прямая радиация альбедометром не ощущается.

При высотах солнца, максимальных для исследуемого района (72–76°) и безоблачном небе рассеянная радиация составляет только $\frac{1}{5}$ (20%) часть прямой, при наличии облачности в ясные дни эта доля возрастает до $\frac{1}{3}$ (37%).

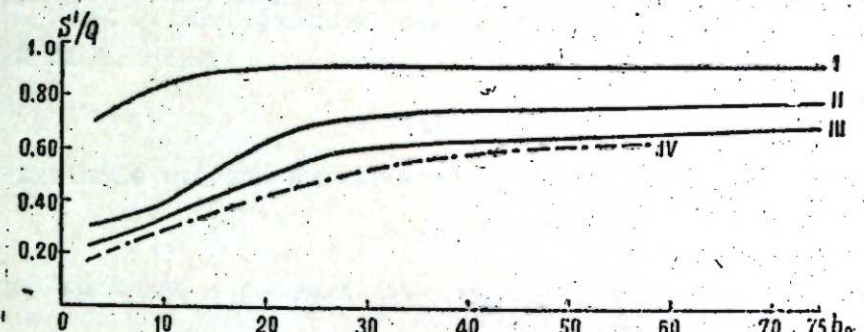


Рис. 2. Отношение прямой радиации к суммарной для идеальной атмосферы (I), для безоблачного неба (II), за все дни наблюдений (III), за все дни наблюдений в пункте Варнемюнде (IV).

Таким образом, летом в околополуденные часы на поверхность Южного Каспия приходит суммарная радиация, состоящая на $\frac{3}{4}$, из прямого и только на $\frac{1}{4}$ из рассеянного излучения солнца.

Полученные результаты характеризуют соотношение этих компонентов в теплую, менее облачную половину года, так как большая часть наблюдений относится к этому периоду.

Расчеты, произведенные для прибрежных ГМС, производящих актинометрические наблюдения (Баку, о. Артема, Кара-Богаз-гол, Красноводск), показали, что в среднем за год доля прямой радиации в суммарной составляет около 60%, а так же имеет хорошо выраженный годовой, который согласуется с ходом общей облачности.

Соотношения составляющих солнечной радиации, рассчитанные по стационарным наблюдениям для каждого месяца удовлетворительно согласуются с приведенными данными в табл. 2 и 3.

Г. Матцке, на основании одного года учащенных актинометрических наблюдений в Варнемюнде (1947–1948) на берегу Балтийского моря подсчитано соотношение прямой, рассеянной и суммарной радиации для ясных дней и в среднем за все дни наблюдений (за год) [2].

Сравним полученные величины с выводами Г. Матцке: при высоте солнца 55° и общей облачности отношение прямой радиации к суммарной у берегов Балтийского моря составляет 66%, на Каспии – 70%; при 25° – в обоих районах около 50%, а при 7,5° на Балтике оно равно 27%, на Каспии – 30% (рис. 2).

Приведенный для сравнения пункт (Варнемюнде) расположен на пути прохождения морского полярного воздуха, богатого влагой. Этим, очевидно, можно объяснить полученные расхождения. С накоплением материала актинометрических наблюдений на Каспии, особенно в зимний период, приведенная кривая III, возможно, несколько сместится вниз. В этом случае она вплотную подойдет к кривой IV.

Приведенное сравнение говорит о том, что если наши величины соотношений и несколько завышены, то это завышение имеет порядок 5%, что не уходит далеко за пределы принятой точности расчетов.

При подстановке этих результатов в формулу (1) альбедо морской поверхности в Южном Каспии получилось выше, чем для Мирового океана на исследуемой широте, особенно в летний период.

Дальнейшее возможное уточнение приведенных соотношений это различие, по нашему мнению, не опровергнет.

ЛИТЕРАТУРА

1. Кондратьев К. Я. Лучистая энергия Солнца. Гидрометиздат, 1954.
2. Matzke H. Über den Zusammenhang von diffuser Himmelstrahlung und Bevölkung an Ostsee- und Mittelmeerküste. Wissenschaftliche Zeitschrift, EMAWI, Jahrgang VII. 1957/58, mathematische-naturwissenschaftliche Reihe, № 3/4.

Институт географии

Поступило 30. VI 1964

Р. Л. Рейфман

Дүз, яылмыш вә чәм радиасијаларын нисбәти һагыда

ХУЛАСЭ

Мәгаләдә яылмыш радиасија мигдарынын дүз радиасија мигдарына вә дүз радиасија мигдарынын чәм радиасија мигдарына олан нисбәти верилмишdir. Бу нисбәт чәдвәл вә графикләрдә айдын көстәрилмишdir. Чәдвәл вә графикләр Җәнуби Хәзәрдә апарылмыш актинометрик мүшәнидә материалларынын несабланмасы нәтичәсindә тәртиб олунмушdur. Бу заман булудсуз һавада апарылан мүшәнидәләрин нәтичәләри ажыра несабланмышдыр. Графикләрдәки дүз радиасија илә чәм радиасија нисбәтини көстәрән әжриләр Балтик дәнизи саһил бою үчүн (Варнемүнде) тәртиб едилмиш графикин әжриләринә уйғун кәлир.

АЗЭРБАЙЧАН ССР ЕЛМЛӘР АКАДЕМИЈАСЫНЫН МӘРҮЗӘЛӘРИ
ДОКЛАДЫ АКАДЕМИИ НАУК АЗЕРБАЙДЖАНСКОЙ ССР

ТОМ XXII

№ 6

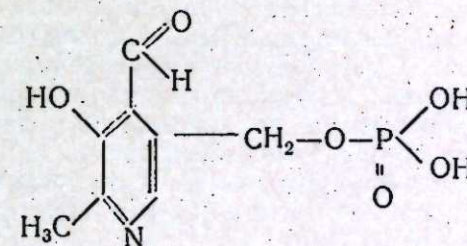
1966

МЕДИЦИНА

А. М. ЭФЕНДИЕВ, А. М. АЛИЕВ, А. С. ГАСАНОВ

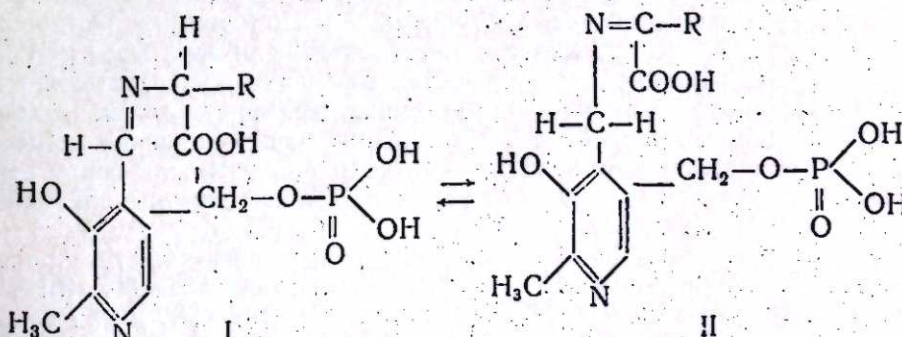
НОВАЯ РЕАКЦИЯ НА ФОСФОПИРИДОКСАЛЬ И ЕЕ
СПЕКТРОФОТОМЕТРИЧЕСКОЕ ИЗУЧЕНИЕ

Пириодоксаль-5-фосфат или фосфоририодоксаль является простетической группой многих ферментов. В 1943 г. советские учёные—А. Е. Браунштейн и М. Г. Крицман [5] получили кофактор, участвующий в реакции переаминирования аминокислот. В дальнейшем было установлено, что этот фактор трансаминаэ представляет собой пириодоксаль-5-фосфат.



Строение фосфоририодоксала было установлено путем полного синтеза в 1952 г. [12].

Участие фосфоририодоксала в реакциях переаминирования связано с образованием шиффова основания или азометина в результате соединения альдегидной группы с аминогруппой субстрата. Полученный при этом продукт может существовать в двух таутомерных формах:



При действии трансаминаz форма II превращается в пиридоксамин и кетокислоту.

Исследование механизма действия фосфопиридоксала посвящены работы советских ученых — А. Е. Браунштейна и М. М. Шемякина [6]. Фосфопиридоксаль обладает способностью соединяться с аминокислотами, на что указывают спектрофотометрические изменения [8].

Ферменты, содержащие фосфопиридоксаль — трансаминазы, декарбоксилазы, рацемазы, фосфорилазу, триптофаназу, триптофансинтетазу и др.—имеют важное значение для обеспечения синтеза белков, никотиновой кислоты из триптофана, расщепления гликогена и др.

Указанные ферменты высокоспецифичны по отношению к своим субстратам, даже трансаминазы специфичны к определенным аминокислотам.

Как видно из вышеизложенного, пиридоксаль-5-фосфат присутствует во многих ферментных системах. Поэтому выяснение возможности его определения химическим путем, на основе доступной и специфической реакции, представляет большой интерес, поскольку имеющиеся в литературе методы определения фосфопиридоксала трудоемки [7, 9, 10, 13].

А. М. Алиевым [1—4] была открыта и предложена новая цветная реакция на витамины группы В₆ (пиридоксин, пиридоксаль и пиридоксамин). Эта реакция отличается высокой специфичностью, чувствительностью и простотой выполнения. Сущность этой реакции заключается в том, что азокрасители витаминов группы В₆ в спирто-водной среде при pH=6,5—7,0 с ионами некоторых металлов — цинка, меди, ртути, кадмия, таллия образуют окрашенные комплексные соединения.

В настоящей работе мы задались целью выяснить возможность обнаружения фосфопиридоксала с помощью этой цветной реакции.

В этих целях нами были проведены вначале определения с растворами пиридоксала. После получения азокрасителя пиридоксала изучали его взаимодействие с ионами ртути, цинка, меди и кадмия. При этом было обнаружено, что окрашенные продукты с большой интенсивностью образуются в спиртовой среде.

Методика определения заключалась в следующем: в начале приготавляли раствор соли диазоний стрептоцида путем растворения около 0,05 г стрептоцида белого в 2—3 мл 1%-ного раствора соляной кислоты, к полученному раствору добавляли 5—6 капель 1%-ного раствора нитрита натрия, через 3 мин добавляли по каплям 20%-ный раствор мочевины и взбалтывали до полного выделения пузырьков газа.

1 мл 0,01%-ного раствора пиридоксала в воде помещали в мерную колбу емкостью 25 мл, добавляли 0,5 мл свежеприготовленного раствора соли диазония стрептоцида, перемешивали и добавляли 3 мл 10%-ного раствора натрия ацетата, через 1—2 мин приливали при взбалтывании спирт этиловый 95° до метки. Полученный раствор азокрасителя пиридоксала желтого цвета помещали в четыре пробирки по 5 мл и к каждому в отдельности добавляли соответственно 1—2 капли 0,5%-ного раствора хлорида цинка, дихлорида ртути, сульфата меди и йодида кадмия. После тщательного перемешивания измеряли спектры поглощения. В качестве контроля брали смесь: спирт этиловый 95° и вода (5:1). Параллельно определяли спектры поглощения самого азокрасителя пиридоксала.

Результаты этих определений представлены на рис. 1. При этом для азокрасителя $\lambda_{\text{мак}}=440 \text{ мкм}$, для ртутькомплекса — 505—510, для цинккомплекса — 500—505, для медьюкомплекса — 495—500 и для кадмийкомплекса — 480—485 мкм . Аналогичным способом определяли пове-

дение пиридоксаль-5-фосфата в этой реакции. При этом было обнаружено, что только ионы ртути образуют стабильное глубокоокрашенное производное, красно-фиолетового цвета. Спектральная характеристика фосфопиридоксала и металлоизвестных его азокрасителя представлена на рис. 2. При этом свободный фосфопиридоксаль имеет максимальное светопоглощение при 389—390 мкм , ртутькомплекс азокрасителя при 500—502, цинккомплекс — 470—475, кадмийкомплекс — 470—475 мкм . В случае образования азокрасителя фосфопиридоксала

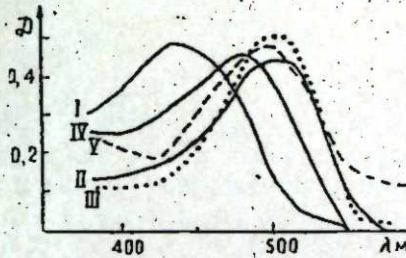


Рис. 1. Спектры поглощения азокрасителя пиридоксала и его металлокомплексов:

I — азокраситель; II — комплекс азокрасителя с ионами Hg^{2+} ; III — комплекс азокрасителя с Zn^{2+} ; IV — комплекс азокрасителя с Cd^{2+} ; V — комплекс азокрасителя с Cu^{2+} .

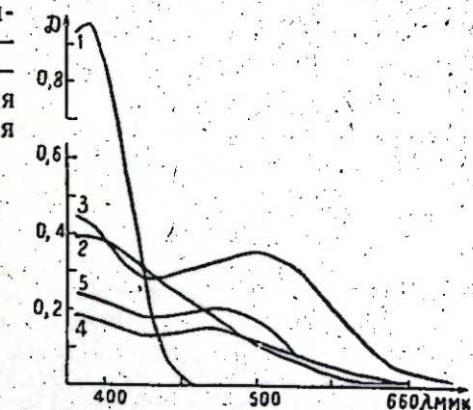


Рис. 2. Спектры поглощения пиридоксаль-5-фосфата, его азокрасителя, металлоизвестных азокрасителей:

1 — пиридоксаль-5-фосфат; 2 — азокраситель пиридоксаль-5-фосфата; 3 — ртуть — комплекс азокрасителя; 4 — цинк — комплекс азокрасителя; 5 — кадмий — комплекс азокрасителя.

наблюдается незначительное перемещение максимума, а также интенсивности поглощения в видимой части спектра. Эти исследования убедительно показывают, что азокраситель фосфопиридоксала также обладает способностью к образованию металлокомплексов и фосфопиридоксаль может быть определен на основе реакции образования ртутькомплекса азокрасителя. Эта реакция отличается высокой чувствительностью (около 0,6 мкг фосфопиридоксала в 1 мл) и селективностью.

Выводы

1. Предложена новая реакция на фосфопиридоксаль, основанная на взаимодействии его азокрасителя с ионами ртути [II] при pH=6,5—7,0 в спиртоводной среде. Чувствительность реакции 0,6 мкг фосфопиридоксала в 1 мл.

2. Спектрофотометрическое изучение предложенной реакции указывает на образование ртутькомплексов азокрасителей пиридоксала и фосфопиридоксала.

3. Продукт цветной реакции имеет максимальное светопоглощение при 505—510 мкм , а фосфопиридоксала — при 500—502 мкм .

ЛИТЕРАТУРА

1. Алиев А. М. 1-й съезд фармацевтов РСФСР. Тез. докл., М., 1962, стр. 91
2. Алиев А. М. „Аптечное дело“, 1964, № 4, стр. 40. 3. Алиев А. М. „Аптечное дело“. 1964, № 6, стр. 31. 4. Алиев А. М. Исследование в области фотометрии препаратов витаминов группы В. Докт. дисс. Баку, 1964. 5. Браунштейн А. Е., Крицман М. Г. Биохимия, 1943, 8, № 1, стр. 1. 6. Браунштейн А. Е., Ше-

мякин М. М. "Биохимия", 1953, 18, стр. 393. 7. Горячеконова Е. А. "Биохимия", 1963, 28, № 3, стр. 565. 8. Диксон М., Уэбб Э. Ферменты. Пер. с англ. под редакцией акац. А. И. Опарина. ИЛ, 1961. 9. Пономарева Т. Ф., Дрель К. А. "Биохимия", 1964, 29, № 2, стр. 185. 10. Торчинский Ю. М. "Биохимия", 1962, № 5, стр. 916. 11. Штрауб Ф. Б. "Биохимия". Будапешт, 1963. 12. Baddiley J., Mathias A. P. J. Chem. Soc., 1952, p. 2583. 13. Schlenk F., Fisher A. Arch. Biochim., 1947, v. 12, p. 69.

Азгосмединститут им. Нариманова

Поступило 8. X 1965.

А. М. Эфендиев, Һ. М. Элиев, Ә. С. Һәсәнов

Фосфоририодоксала аид јени реаксија вә онун спектрофотометрија илә өјрәнилмәси

ХУЛАСӘ

Пиридоксал-5-фосфат вә ја фосфоририодоксал бир чох ферментләрин простетик группу тәшкүл едир. Онун кимјәви үсул илә сәчијәви вә асан реаксија әсасында тә'јин олумасынын мүһүм әһәмијәти вардыр. Бу мәгсәдлә Һ. М. Элиев тәрәфиндән тәклиф олумуш В₆ группу витаминләрилә (пиридоксин, пиридоксал вә пиридоксаламин) рәнклі реаксија јохланылыштыр. Һәмин реаксијадан мүәјјән шәрапитдә фосфоририодоксалы тә'јин етмәк үчүн дә истифадә етмәк мүмкүндүр.

Апардыымыз тәдгигатлардан ашағыдакы нәтичәләрә кәлмәк олар:
1. Фосфоририодоксалы тә'јин етмәк үчүн јени реаксија тәклиф олумуштур. Бу реаксија фосфоририодоксалын әмәлә кәтириди азобојанын чивә ионлары илә pH-6,5–7,0 спирт-су мүнитинде гарышлыглы тә'сиринә әсасланып. Реаксијанын һәссаслығы 0,6 мкг/1 мл-дир.

2. Тәклиф олумуш реаксијанын спектрофотометрија үсулу илә өјрәнилмәси көстәрир ки, пиридоксал вә фосфоририодоксалын азобојалары чивә ионлары илә комплекс бирләшмә әмәлә кәтирир.

3. Пиридоксалын рәнклі реаксијасынын мәһсүлу 505–510 мк-дә, фосфоририодоксалының исә 500–502 мк-дә максимум ишыгудма габилийјетинә маликдир.

АЗЭРБАЙЧАН ССР ЕЛМЛӘР АКАДЕМИЈАСЫНЫН МӘРҮЗӘЛӘРИ
ДОКЛАДЫ АКАДЕМИИ НАУК АЗЕРБАЙДЖАНСКОЙ ССР

ТОМ XXII

№ 6

1966

ФИЗИОТЕРАПИЯ

Ю. Н. ФИЛИППОВ, Д. М. ГУСЕИНОВ, Ф. М. ЭФЕНДИЕВА, А. Х. БУДАГЯН,
А. И. ЖУРАВЛЕВ

ПРОНИКОВЕНИЕ НАФТЕНОВЫХ КИСЛОТ, СОДЕРЖАЩИХСЯ В ЛЕЧЕБНЫХ ГРЯЗЯХ, ЧЕРЕЗ КОЖУ

Изучение органических веществ, содержащихся в минеральных водах и лечебных грязях, в последнее время привлекает внимание многих бальнеологов. Если рядом экспериментальных работ (А. С. Соколов, 1957, Е. В. Утехин, 1965, В. В. Солдатов, 1955) доказано проникновение через кожу некоторых солей и ионов, то в отношении проникновения органических веществ, содержащихся в лечебных грязях, специальных исследований не имеется.

Ранее нами (Ю. Н. Филиппов и др., 1965, Ю. Н. Филиппов, Ф. М. Эфендиева, 1965) были выделены эфирные экстракты из ряда лечебных пелоидов, обладающие высокой биологической активностью. Последние при наружном их применении интенсифицируют регенеративные процессы в ранах, т. е. оказывают биостимулирующее действие.

В связи с этим было весьма интересно установить проникновение через неповрежденную кожу компонентов, входящих в органический комплекс пелоидов.

В настоящей работе исследовалось содержание нафтеновых кислот (Н. К.), относящихся к органическим компонентам иловой грязи оз. Масазыр и сопочной грязи вулкана Клыч-Арзани и способности их проникновения через неповрежденную кожу, поскольку данные соединения относятся к числу активных биостимуляторов (Д. М. Гусейнов, 1963, А. М. Алексеева, Г. И. Пахомова, 1965 и др.).

Работа проведена на 54 нелинейных белых крысах (самцах и самках) весом 160–180 г, содержащихся на обычной диете.

Для определения проникновения нафтеновых кислот через кожу, шерстистой покров на спине животных выстригался площадью 6×10 см. После чего на этот участок кожи накладывалась грязевая лепешка, продолжительностью 20 мин. Для уточнения роли температурного фактора грязевой процедуры нами в отдельной серии опытов накладывалась грязь в подогретом виде (40–42°). По окончании процедуры грязь снималась и кожа промывалась теплой водой. В другой серии опытов вместо грязи на кожу накладывались аппликации нафтеновых кислот. Контрольную группу составляли крысы, не получающие аппликаций (24).

Таблица 3

Проникновение НК в мышцы после аппликации сопочной грязью
(В скобках указано число животных)

Температура грязи во время аппликации, °	В % светопропускания (T)		Вероятность опыта (P)	Разница по отношению к контролю	
	Опыт	Контроль		B % T	Кол. НК в мг на 1 г ткани
20	62,4 ± 2,56 (6)	67,9 ± 1,35 (6)	P < 0,05	5,5	0,1231
42	60,8 ± 3,24 (6)	67,9 ± 1,35 (6)	P < 0,01	7,1	0,1621

Как видно из таблицы, разница в содержании нафтеновых кислот в тканях между контролем и опытом в случаях аппликаций холодной грязью небольшая; нагрев же грязи до 42° значительно стимулирует проникновение нафтеновых кислот через кожу животных.

Аналогичная картина при тех же температурных условиях наблюдалась в серии опытов с сопочной грязью (табл. 3).

Таблица 4

Проникновение НК в мышцы крыс кожных аппликаций (В скобках указано число животных)

Температура нафтеновых кислот при аппликации, °	В % светопропускания (T)		Вероятность опыта (P)	Разница по отношению к контролю	
	Опыт	Контроль		B % T	Кол. НК в мг на 1 г ткани
20	63,6 ± 1,03 (6)	70,4 ± 1,29 (6)	P < 0,01	6,8	0,1426

Сопоставляя данные по проникновению нафтеновых кислот через кожу следует отметить почти отсутствие разницы между результатами опытов с аппликациями грязью или нафтеновыми кислотами.

Казалось бы, что нанесение на кожу нафтеновых кислот, по сравнению с пелоидами, где они содержатся в небольшом количестве, должно было привести к более значительному их проникновению в мышечную ткань, но этого не наблюдалось. Возможно, что нафтеновые кислоты лишь до определенного предела депонируются в мышцах, после чего синтезируются в какие-то другие соединения, не определяемые данным методом.

Для установления проникновения НК через кожу человека мы провели опыт на себе. На внутреннюю поверхность предплечья с помощью предметного стекла с определенной навеской нафтеновых кислот (43 мг) наносился тонкий слой площадью в 6 × 10 см. Одновременно на другом предметном стекле (контроль) бралась такая же навеска нафтеновых кислот, которая стеклянной палочкой растиралась тонким слоем по всей его площади.

После 30-минутной экспозиции нафтеновые кислоты с предплечья и предметного стекла тщательно смывались 0,5%-ным раствором едкой щелочи. Так как нафтеновые кислоты хорошо растворяются в NaOH, какие-либо потери были исключены. Далее смывы подвергали обычной обработке и нефелометрировали. В этих опытах также отмечалось проникновение нафтеновых кислот (см. табл. 5).

Животных забивали декапитацией через 2 час от начала проведения процедуры. У забитых крыс снимался участок кожи, где были положены аппликаторы и на анализ бралась мышечная ткань весом 3 г.

Определение нафтеновых кислот как в мышечной ткани, так и в указанных грязях проводили методом, разработанным академиком Д. М. Гусейновым и А. Х. Будагян (1965 г.).

Навески мыши в количестве 3 г и высушенных до постоянного веса пелоидов растворяли в 70 мл 0,2%-ного раствора NaOH, после чего полученную смесь фильтровали. В фильтрат добавляли 20 мл 2%-ного раствора HCl и путем добавления дистиллированной воды, объем его доводили до 100 см³. Далее образцы оставляли на 1 час при комнатной температуре, после чего нефелометрировали. Измерение проводили на фотоэлектроколориметре-нефелометре ФЭК-53 при светофильтре № 2 ($\lambda_{\text{макс}} = 364 \text{ мкм}$) по шкале светопропускания и оптической плотности. В случае проникновения нафтеновых кислот через кожу в мышцы, в опытных фильтратах из тканей цифровые значения по светопропусканию будут ниже (благодаря образованию более интенсивной муты), чем в контрольных образцах. Поэтому о проникновении через кожу нафтеновых кислот судили по разности, выраженной в процентах светопропускания, между контрольными и опытными образцами. Пересчет нефелометрических определений на мг нафтеновых кислот осуществлялся с помощью градуированной кривой.

В исследуемых грязях содержание НК приводится в табл. 1.

Таблица 1

Содержание НК в лечебных грязях оз. Масазыр и грязевого вулкана Клыч-Арзани

Образцы грязей	Нафтеновые кислоты в % на сухое вещество	Органич. вещества, г на 100 г сухого вещества
Иловая грязь оз. Масазыр	0,033	4,62
Сопочная грязь вулкана Клыч-Арзани	0,010	4,60

Определив наличие нафтеновых кислот в исследуемых лечебных грязях, мы приступили к изучению способности их проникновения через неповрежденную кожу.

Данные табл. 2 и 3 свидетельствуют о прохождении нафтеновых кислот, содержащихся в изучаемых нами пелоидах.

Таблица 2

Содержание НК в мышцах после аппликаций иловой Масазырской грязью (В скобках указано число животных)

Температура грязи во время аппликации, °	В % светопропускания (T)		Вероятность опыта (P)	Разница по отношению к контролю	
	Опыт	Контроль		B % T	Кол. НК на 1 г ткани, мг
20	64,3 ± 0,9 (8)	69,2 ± 1,0 (8)	P < 0,01	4,9	0,1039
42	60,5 ± 2,11 (4)	68,0 ± 2,0 (4)	P = 0,01	7,5	0,1718

Таблица 5

Проникновение НК в кожу человека

№ опытов	Светопроникновение смывов НК в % (T)		Вероятность опыта (P)	Разница по отношению к контролю		
	Опыт	Контроль		V %	T	Кол. НК в мг на 60 см ² кожи
1	31,5	21,5		10,0		0,27
2	34,0	21,5		12,5		0,24
3	37,2	26,4		10,8		0,11
4	47,0	24,5		22,5		0,21
Среднее:	37,4±3,39	23,4±1,2	P<0,001	14,0		0,21±0,003

Резюмируя вышеизложенное, можно сказать, что нафтеновые кислоты обладают способностью проникновения через кожу.

Учитывая, что эти соединения в ничтожно малых концентрациях обладают биостимулирующим действием, можно предположить, что в механизме действия исследуемых пелоидов нафтеновые кислоты имеют определенное значение.

Выводы

1. В лечебных грязях оз. Масазыр и вулкана Клып-Арзани содержатся нафтеновые кислоты.
2. Грязевые аппликации на животных приводят к статистически достоверному ($P<0,05$) проникновению нафтеновых кислот через кожу и обнаружению их в мышечной ткани.
3. При аппликации нафтеновыми кислотами также происходит статистически достоверное их проникновение в кожу и мышечную ткань.

ЛИТЕРАТУРА

1. Алексеева А. М., Пахомова Г. И. Физиология растений. Изд. "Наука", т. 12, вып. 1, М., 1965. 2. Гусейнов Д. М. Некоторые итоги научно-исследовательских работ по применению новых видов удобрений в целях повышения урожайности с/х культур. Нефтяные удобрения и стимуляторы. Баку, 1963. 3. Гусейнов Д. М., Будагян А. Х. Разработка методов определения НРВ в почвах и растениях. Тез. совещания, посвященного 100-летию со дня рождения Д. Н. Прянишникова. Баку, 1965, стр. 57. 4. Ефимов В. В. О проницаемости кожи человека для газов и солей при бальнеопроцедурах, морских купаниях и грязевых аппликациях. В кн. "Вопросы изучения курортных ресурсов СССР", стр. 54—59, Медгиз, 1955. 5. Соколов А. С. О проницаемости неповрежденной кожи для некоторых химических ингредиентов лечебных грязей. В кн. "Вопросы физиотерапии и курортологии". Медгиз, 1959, стр. 132. 6. Солдатов В. В. Морфологические изменения кожи животных под влиянием сапожковского торфа. Материалы Всесоюзного съезда физиотерапевтов и курортологов 25—29 октября 1965 г. стр. 144—145. Баку 1965. 7. Утехин Е. В. Новый метод изучения проницаемости кожи, стр. 166, 167, 1965. 8. Филиппов Ю. Н. и др. Об антиокислительном механизме действия органических фракций некоторых лечебных пелоидов, 1965. 9. Филиппов Ю. Н., Эфендиева Ф. М. О биологической активности и антиокислительных свойствах органических веществ лечебной грязи Масазыр и Клып-Арзани, 1965. 10. Эллис К. Химия углеводородов нефти и их производных. ОНТИ, 1938.

ЦНИИ курортологии и физиотерапии
Институт курортологии и физических
методов лечения им. С. М. Кирова,
Институт почвоведения и агрохимии

Поступило 1. XI 1965

Ж. Н. Филиппов, Д. М. Ыссеинов, Ф. М. Эфенидзе, А. Х. Будагян,
А. И. Журавлев

Мұаличә палчығының тәркибидәki нафтен туршуларының
дәри васитәсілә кечмәсі

ХҮЛАСӘ

Мәгаләдә илк дәфә олараг, Масазыр көлү вә Глыч-Арзани вулкан палчыгларының тәркибидәki туршуларын дәридән кечмәсі еһтималыны субут едән тәдгигатларын иәтичәси верилмишdir.

Палчыг вә нафтен туршуларының, айрыча олараг, ағ сичанлара жаһылмасы илә апарылан тәчрүбәләрдә нафтен туршуларының дәридән кечмәсі бу бирләшмәләрин әзәлә тохумасында нефелометрик үсулла тапылмасы илә субут едилмишdir.

Инсанлара нафтен туршуларының жаһылмасы илә апарылан тәчрүбәләр бу туршуларын дәридән кечмәсінни бир даһа тәсдиг едир.

Палчыгларда олан нафтен туршуларының чүз'и мигдары белә биостимулжатик тә'сирә маликдир. Буну нәзәрә алараг, палчыгларын тә'сир механизминдә нафтен туршуларының бөјүк ролуну нәзәрәламаг лазымдыр.

АГРОХИМИЯ

Н. А. АГАЕВ

**СОДЕРЖАНИЕ ПОДВИЖНОЙ МЕДИ В ОСНОВНЫХ ТИПАХ
ПОЧВ ЗАКАТАЛЬСКОГО РАЙОНА**

(Представлено академиком АН Азербайджанской ССР В. Р. Волобуевым)

Закатальский район находится в пределах Алазано-Агричайской физико-географической провинции.

Почвенно-климатические условия Закатальского района были изучены многочисленными учеными, в том числе и П. Д. Ярошенко, 1930; А. Г. Долухановым, 1938; В. Р. Волобуевым, 1939, 1946; Г. А. Алиевым, 1953; Т. С. Гейдеман, 1940; Р. Г. Султановым, 1944; Р. В. Ковалевым, 1946; М. М. Байрамовым и И. Т. Коноваловым, 1953; В. Д. Гаджиевым, 1954; В. Н. Олюниным и А. И. Троицким, 1955; Е. А. Дояренко, 1957; А. И. Селезневым, 1957; Б. И. Гасановым, 1959; Ф. В. Фигуровским, 1926; Э. М. Шихлинским, 1949 и др.

Климат зоны, в которую входит Закатальский район, умеренно теплый, влажный. Зима мягкая, лето умеренно теплое. Осень теплее весны. Общие особенности климата приближают его к влажным субтропикам Черноморского побережья, но есть и различия, выражющиеся в умеренности климата. С высотой местности климат становится более холодным и влажным. На высоте 1700–1800 м лесная зона сменяется на луговую субальпийскую, затем альпийскую с холодным влажным климатом.

Почвообразующие породы исследуемого района разделяются на две группы: 1) темноцветные глинистые-шиферные сланцы и сланцевые породы, а также песчаники и другие карбонатные породы; 2) серию сильно карбонатных пород и известняков. В горной части почвообразующие породы представлены аллювиальными, пролювиальными и делювиальными отложениями этих пород.

Равнинная часть покрыта аллювиальными, пролювиальными отложениями этих пород и характеризуется пестротой. Такая пестрота почвообразующих пород налагает отпечаток на почвенный покров.

Коренные породы содержат несколько пониженное количество кальция по сравнению с речным наносом. Речные наносы при своем движении постепенно обогащаются кальцием, магнием, сульфатами и щелочными металлами, становясь более щелочными, чем сама порода. Вследствие этого аллювиальные отложения распространены на Алазанской равнине и отличаются большей концентрацией солей.

Почвы Закатальского района представлены комплексом луговых, лугово-лесных, лугово-болотных, иногда и солонцеватых почв аллювиального происхождения.

Содержание доступных растениям микроэлементов в почвах Закатальского района изучено еще недостаточно, тогда как для обоснованного применения микроэлементов под сельскохозяйственные культуры эти данные совершенно необходимы.

Материалы для аналитических исследований были собраны весной и летом 1962–1963 гг. Образцы для составления картограммы были взяты по основным типам почв Закатальского района. С этой целью были взяты почвенные образцы из пахотного слоя в 1216 точках. При составлении картограмм в качестве основы использована почвенная карта Закатальского района, составленная Р. В. Ковалевым, Б. И. Гасановым и В. Д. Гаджиевым в 1958–1959 гг.

Целью наших исследований было выявление содержания подвижных форм марганца, меди и молибдена в основных типах почв Закатальского района.

Таблица 1

Содержание подвижной формы меди в основных типах почв
Закатальского района Азербайджанской ССР

Почвы	Медь		Количество точек
	Пределы колебаний	Среднее содержание	
1–2. Горно-луговые рыхлодерновые (оторфянные), примитивные почвы [1–2]	0,7–1,1	0,8	45
3. Фрагменты горно-луговых плотнодерновых слаборазвитых почв [3]	0,1–0,4	0,2	50
4. Горно-луговые плотнодерновые почвы	0,1–0,6	0,5	54
5. Горно-лугово-лесные почвы [5]	0,8–1,4	1,2	48
6. Горно-лесные бурье типичные [6]	0,6–1,3	1,1	75
7. Горно-лесные бурье оподзоленные [7]	0,6–1,2	0,8	52
8. Горно-бурые послелесные оподзоленные	1,6–2,0	1,7	63
9. Лугово-лесные маломощные выщелоченные	0,1–0,5	0,2	62
10. Лугово-лесные мощные выщелоченные глеевые	1,8–2,5	2,2	55
11. Лугово-болотные лесные мощные	1,9–2,6	2,5	56
12. Аллювиально-луговые мощные выщелоченные глеевые	1,7–2,4	2,2	76
13. Луговые среднегумусные мощные выщелоченные глеевые	0,6–1,0	0,9	72
14. Луговые среднегумусные мощные слабокарбонатные	0,6–1,1	0,8	82
15. Луговые среднегумусные мощные слабосолонцеватые	0,9–1,6	1,4	66
16. Луговые высокогумусные мощные выщелоченные глеевые	1,6–2,2	1,8	75
17. Луговые высокогумусные глеевые слабокарбонатные	1,8–2,4	2,1	85
18. Лугово-болотные почвы	0,3–0,6	0,5	76
19. Тугайные (сероземно-лугово-лесные) оглеенные	0,9–1,4	1,1	70
20. Аллювиально-лугово-болотные почвы	1,9–2,6	2,3	54

Содержание подвижных форм меди в основных типах почв Закатальского района приводится в табл. 1. Данные этой таблицы свидетельствуют о том, что в исследуемом районе содержание подвижной

меди изменяется в зависимости от типов почв, а также от их географического расположения. В большинстве типов почв отмечается слабое обеспечение подвижными формами меди. В некоторых типах почв наблюдается относительная обеспеченность содержанием подвижной формы меди, что вредно отражается на нормальном развитии растений.

Таблица 2

**Группировка почв Закатальского района Азербайджанской ССР
по содержанию в них подвижной меди**

Группы	Содержание подвижной меди, мг/кг почвы	Средн. содержание	Почвы	
			Фрагменты горно-луговых плотнодерновых слаборазвитых почв (3), горно-луговые плотнодерновые (4), лугово-лесные маломощные выщелоченные (9), лугово-болотные почвы (18).	Горно-луговые рыхлодерновые (оторфяные) примитивные почвы (1, 2), горные лугово-лесные (5), горно-лесные бурьи типичные (6), горно-лесные бурьи оподзоленные (7), луговые среднегумусные мощные слабокарбонатные (14), луговые среднегумусные мощные слабосолонцеватые (15), тугайные сероземно-лугово-лесные оглеенные (19).
I	0,1—0,6 (остронуждающаяся)	0,4		
II	0,6—1,6 (нуждающаяся)	1,2		
III	1,6—2,6 (средненуждающаяся)	2,3		

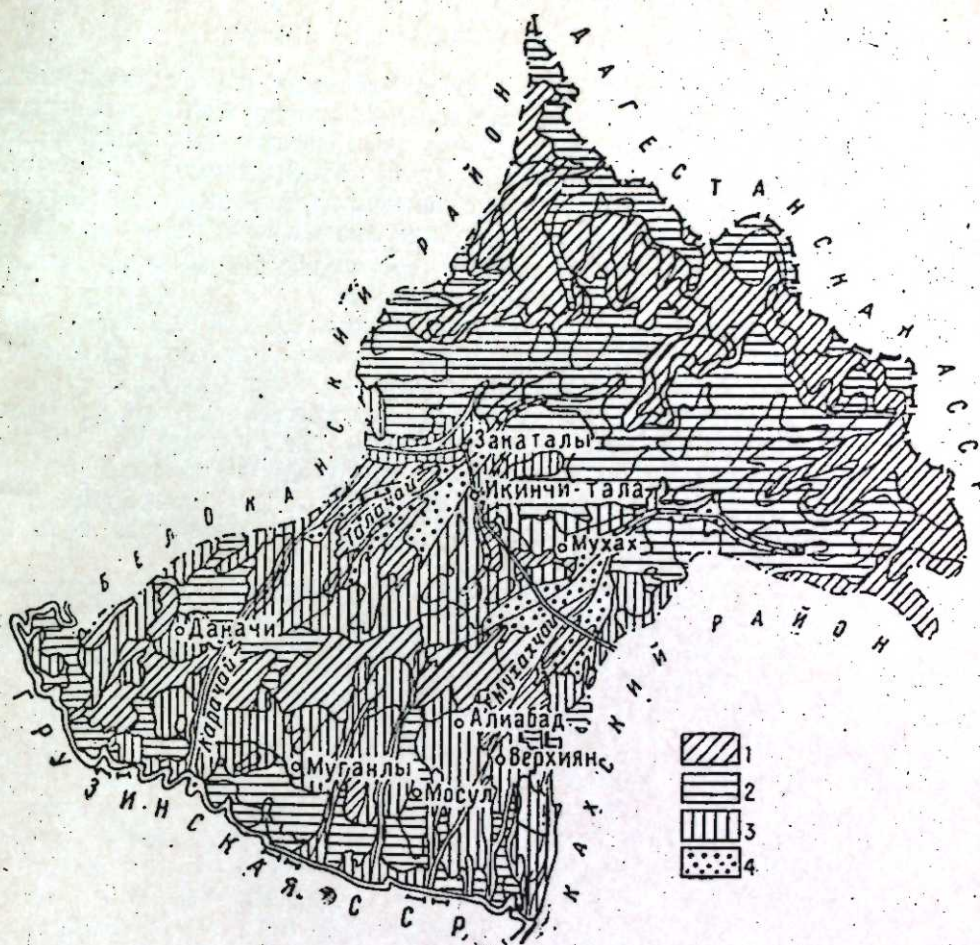
Среди исследуемых почв слабым обеспечением подвижной формой меди отличаются горно-луговые рыхлодерновые (оторфянелые) примитивные, горно-лесные бурые типичные, горно-луговые плотнодерновые, слаборазвитые и лугово-лесные маломощные выщелоченные почвы, которые соответственно содержат этот элемент в пределах от 0,1 до 1,6 мг/кг почвы.

Содержание подвижной меди имеет прямую зависимость от общего содержания меди в почве.

Многочисленные данные по содержанию меди в различных почвах позволяют сгруппировать указанные почвы по этому показателю. В табл. 2 представлена группировка почв Закатальского района по содержанию подвижных форм меди, согласно которой составлена соответствующая картограмма для почв этого района. Показатели табл. 2 и картограмма содержания подвижной меди в почве свидетельствуют об очень низкой обеспеченности большинства почв указанного района подвижной медью. Так, например, горно-луговые плотнодерновые слаборазвитые, лугово-лесные маломощные выщелоченные и лугово-болотные почвы очень бедны (0.1 – 0.6 мкг/кг) кисло-

Немного больше подвижной меди содержат почвы второй группы, например, горно-луговые рыхлодерновые, горные лугово-лесные, горно-лесные бурье типичные и оподзоленные, луговые среднегумусные мощные слабокарбонатные и, наконец, аллювиально-лугово-болотные почвы являются среднеобеспеченными ($1,6$ — $2,6$ мг/кг). Но наряду с другими группами почвы этой группы также нуждаются во

внесении микроудобрений. Получение высокого и качественного урожая сельскохозяйственных культур невозможно без внесения микроудобрений на этих почвах.



Картограмма содержания подвижной меди в почвах Закатальского района Азерб.
ССР (составил Н. А. Агаев, 1964 г.)

ЛИТЕРАТУРА

1. Байрамов М. М. и Коновалов И. Т. Гидрология долины р. Алазани Труды Азерб. комплексной экспедиции по развитию культуры чая. Изд. АН Азерб ССР, 1953. 2. Волобуев В. Р. Почвенные условия районов чаеразведения Алазано-Агричайской долины. Баку, 1939. 3. Волобуев В. Р. Водно-физические свойства почв чайных плантаций Алазано-Агричайской долины. Труды Ин-та почвоведения и агрохимии, т. IV, 1946. 4. Гедеман Т. С. Краткий очерк растительности Закатало-Белоканской низменности. Труды Ботанического ин-та АзФАН СССР, т. 9, 1940. 5. Гаджиев В. Д. Очерк растительности Зақатальского заповедника. Изд. АН Азерб. ССР, 1954. 6. Гасанов Б. И. Почвы Алазано-Агричайской долины. Рукопись. Баку, 1959. 7. Дояренко Е. А. Растительный покров, сенокосы и пастбища Алазано-Агричайской долины и прилегающих гор. Изд. АН СССР, М., 8. Kovalev P. B. Итоги почвенно-агрохимических исследований в Закатальской чайной зоне в 1939—1940 гг. Труды Ин-та агрохимии и почвоведения АН Азерб. ССР, т. IV, 1946.

Институт почвоведения и агрохимии

Поступило 30. II 1965

Загаталаның әсас торпаг типләриндә мисин мүтәһәррик формасының мигдары

ХУЛАСЭ

1962—1964-чү илләр әрзиндә Загаталаның әсас торпаг типләринин әкин гатындан көтүрүлмүш торпаг нұмынәләриндә мисин мүтәһәррик формасы мүајинә едилмишdir. Бунун учун Загаталаның әсас 20 торпаг типинин әкин гатындан 1216 нұмынә көтүрүлмүшdir. Уч ил әрзиндә Азәрбајҹан ССР ЕА Торпагшұнаслыг вә Агрокимја Институту нун микроелементләр лабораторијасында апарылмыш кимјәви мүајинәләре әсасән Загатала торпаглары тәркибләриндәки мүтәһәррик мисин мигдарына керә уч група бөлүнмүшdir:

I груп. Бураja 1 кг торпағын тәркибиндә 0,1-дән 0,6 мг-а гәдәр мүтәһәррик мис олан торпаглар дахил едилмишdir. Бу група мисә кәсскин етијач көстәрән торпаглар групу ады верилмишdir.

II груп. Бу група 1 кг торпағын тәркибиндә 0,6-дан 1,6 мг-а гәдәр мүтәһәррик мис олан торпаглар дахил едилмишdir ки, бу група да мисә етијач көстәрән торпаглар групу ады верилмишdir.

III груп. Бураja 1 кг-да 1,6-дан 2,6 мг-а гәдәр мүтәһәррик мис олан торпаглар дахил едилмишdir. Бу група исә мисә орта етијач көстәрән торпаглар ады верилмишdir.

Бу груплаштырмалара әсасән, Загатала раionунун торпагларында мүтәһәррик мисин мигдарының көстәрән картограм тәртиб едилмишdir. Бу картограмма әсасән, һәр һансы тип торпағын әлавә мис күбәсінә нә гәдәр етијач көстәрмәсі айдан олур.

Л. А. БАБАБЕКОВА

**ХАРАКТЕРИСТИКА ФАУНЫ ОСНОВНЫХ ТИПОВ ПОЧВ
ЛЕНКОРАНСКОЙ СУБТРОПИЧЕСКОЙ ЗОНЫ**

(Представлено академиком АН Азербайджанской ССР В. Р. Волобуевым)

Изучение почвенных беспозвоночных, как одного из основных факторов естественного плодородия почв, несомненно, важно. Между тем, почвенные беспозвоночные в условиях Азербайджанской ССР специально никем не изучались.

Целью настоящей работы явилось исследование видового состава и численности почвенных беспозвоночных 4 типов почв Ленкоранской зоны—горно-лесных желтоземных, желтоземно-подзолистых глеевых, болотных, коричневых сильно выщелоченных. Исследование проводилось в течение 1962—1963 гг. На каждом типе почв были выбраны пробные площади, находящиеся под естественной растительностью. Кроме того, для выявления изменений, происходящих в результате освоения почвы, были выделены пробные площади на желтоземно-подзолистой глеевой почве под культурой чая и на коричневой сильно выщелоченной под виноградником.

Почвенные беспозвоночные учтены методом почвенных раскопок с применением ручной разборки [1]. Почвенные раскопки проводились в три срока (апрель, июль, октябрь). В каждый срок учета на опытных участках было взято по 10 проб, размером в 0,25 м² каждая. Глубина раскопок варьировалась в зависимости от глубины проникновения почвенных животных.

Результаты исследований фауны почвенных беспозвоночных в разных типах почв приводятся в табл. 1.

Как видно из таблицы, наиболее благоприятными для развития почвенных беспозвоночных оказались условия в высокогумусных коричневых сильно выщелоченных почвах, где численность их в среднем составляет 312,7 экз. на 1 м². Следующими по заселенности беспозвоночными являются горно-лесные желтоземы и желтоземно-подзолистые глеевые почвы. Наименьшая численность беспозвоночных наблюдается в болотной почве. Последнее можно объяснить прежде всего неблагоприятным режимом избыточного увлажнения в этих почвах.

При использовании желтоземно-подзолистой глеевой почвы под

Таблица 1

Численность почвенных беспозвоночных в разных типах почв (в экз. на 1 м²)

Почвенные беспозвоночные	Коричневые сильно выщелоченные		Горюческой желтозем		Желтоземно-подзолисто глеевая		Болотная	
	Целина	Виноградник	Лес		Лесная полоса		Чай	Многолетний залежь
			1962 г.	1963 г.	1962 г.	1963 г.		
<i>Lumbicidae</i>	234,6	28,8	75,9	59,5	64,6	60,2	13,5	11,6
<i>Mollusca</i>	—	4,8	0,9	1,1	1,6	0,5	1,1	2,9
<i>Isopoda</i>	2,0	3,7	0,6	1,2	3,4	0,5	0,2	1,2
<i>Chilopoda</i>	9,7	12,2	49,2	25,7	8,4	1,0	6,0	0,4
<i>Diplopoda</i>	0,1	0,9	97,2	58,0	1,2	0,1	—	—
<i>Diplura</i>	8,0	1,3	14,4	8,6	0,6	—	—	—
<i>Gryllootalpidae</i>	—	—	—	—	—	—	1,7	1,7
<i>Cicadidae</i>	0,1	—	—	0,1	—	—	—	—
<i>Psyllidae</i>	34,8	6,8	0,2	0,8	0,5	0,6	4,2	0,8
<i>Dermoptera</i>	1,3	1,5	—	10,5	9,7	15,6	0,6	0,8
<i>Carabidae</i>	—	—	—	0,1	—	—	—	—
<i>Sraphylinidae</i>	—	—	—	—	—	—	—	—
<i>Scarabaeidae</i>	—	—	—	—	—	—	—	—
<i>Cantharidae</i>	—	—	—	—	—	—	—	—
<i>Lampyridae</i>	—	—	—	—	—	—	—	—
<i>Elatieridae</i>	14,4	10,9	0,2	0,5	0,2	0,6	—	—
<i>Tenebrionidae</i>	—	—	—	—	—	—	—	—
<i>Alleculidae</i>	—	—	—	—	—	—	—	—
<i>Currysomellidae</i>	—	—	—	—	—	—	—	—
<i>Circutonidae</i>	—	—	—	—	—	—	—	—
<i>Dryopidae</i>	—	—	—	—	—	—	—	—
<i>Hydrophilidae</i>	—	—	—	—	—	—	—	—
<i>Lepidoptera</i>	—	—	—	—	—	—	—	—
<i>Diptera</i>	—	—	—	—	—	—	—	—
Всего на 1 м ²	312,7	70,9	281,9	185,6	124,6	95,4	19,0	23,8

культуру чая и коричневой сильно выщелоченной под виноградники, численность беспозвоночных резко снижается. Это объясняется отрицательным влиянием обработки почвы и снижением содержания органических веществ. Снижение численности беспозвоночных в результате воздействия обработки отмечается и в литературе [2]. Численность дождевых червей на целинном участке коричневых сильно выщелоченных почв составляет в среднем 234,6 экз. на 1 м², тогда как под виноградником лишь 28,8 экз. в желтоземно-подзолистых глеевых — под лесной полосой 60–64, под культурой чая — 3,0–4,0 экз. на 1 м². В горно-лесных желтоземах дождевых червей на 1 м² найдено 59–76, а в болотной — 11,6–13,5 экз. на 1 м².

Многоножки из класса *Diplopoda* в значительно большом количестве встречались в горно-лесных желтоземах. В желтоземно-подзолистых глеевых и коричневых сильно выщелоченных почвах их было мало и совсем не встречены в болотной почве. Из насекомых отряда *Coleoptera* на целинном участке коричневых сильно выщелоченных почв преобладали по численности представители сем. *Carabidae*. В горно-лесных желтоземах и желтоземно-подзолистых глеевых по численности преобладали жуки и личинки сем. *Scarabaeidae*. Благолюбивые формы насекомых как *Gryllootalpidae*, *Dryopidae*, *Hydrophydidae* были отмечены только в болотной почве. Обнаруженные различия в составе и количественном соотношении отдельных групп объясняются различием почвенных условий.

Таким образом, из вышеприведенного следует, что почвенные условия оказывают большое влияние на формирование комплексов беспозвоночных.

Сезонные изменения численности и распределения по профилю почвенных беспозвоночных приводятся в табл. 2. Из таблицы видно, что максимальное количество почвенных беспозвоночных было зарегистрировано в весенний период. Летом, когда при значительном уменьшении количества атмосферных осадков и высоких температурах воздуха влажность почвы снижается, количество беспозвоночных животных уменьшается и составляет в коричневых сильно выщелоченных почвах на целинном участке 70,8%, а под виноградником — 17,1% от их численности в весенний период. В горно-лесных желтоземах численность беспозвоночных животных летом составляет 45,6%, в желтоземно-подзолистой глеевой почве на целине 29,6%, на плантации чая — 21,6% и в болотной почве — 40,9% от их численности в весенний период. В осенний период с повышением влажности общее число беспозвоночных животных на целинных участках коричневых сильно выщелоченных почв, горно-лесных желтоземах и желтоземно-подзолисто-глеевых почв начинает увеличиваться.

Распределены почвенные беспозвоночные по профилю в разных типах почв неодинаково. В коричневых сильно выщелоченных почвах нижняя граница встречаемости проходит на глубине 50–60 см. В весенний период, когда верхние слои почвы более увлажнены, основная масса почвенных животных (87,0% на целине и 74,7% под виноградником) находится в верхнем слое почвы — 0–10 см, летом же при иссушении почвы, они мигрируют вглубь и концентрируются, в основном, в слое почвы 20–40 см (68,4% на целинном участке и 87,3% под виноградником). Благоприятным условием проникновения почвенных беспозвоночных в глубокие слои является также большая мощность гумусового горизонта в этих почвах. В горно-лесных желтоземах нижняя граница встречаемости находится на глубине 30–40 см. В наиболее влажные периоды года беспозвоночные концентрируются в слое 0–10 см и под опадом (74,3% весной и 85,6% осенью), а в

Таблица 2
Вертикальное распределение почвенных беспозвоночных по профилю в различных типах почв по данным 1963 г.

Почва	Сроки сбора	Глубина, см												Всего на 1 м ²	
		Под опадом		0—10		10—20		20—30		30—40		40—50			
		A	B	A	B	A	B	A	B	A	B	A	B		
Коричневые сильно выщелоченные (целина)	Апрель Июль Октябрь	— — —	— — —	336,0 58,0 104,4	87,0 21,1 36,8	32,0 131,2 132,8	8,3 47,9 46,9	18,0 70,4 35,6	4,6 26,0 12,6	— 12,4 10,4	— 4,5 3,6	— 0,8 —	— 0,2 —	385,0 273,6 283,2	
Коричневые сильно выщелоченные (многоградинки)	Апрель Июль Октябрь	— — —	— — —	123,6 3,2 8,4	74,7 11,2 37,5	35,2 6,8 8,0	21,4 23,9 35,7	6,4 13,2 4,4	3,8 46,5 19,6	— 4,8 1,6	— 16,9 7,1	— 0,4 —	— 1,4 —	165,2 155,2 22,4	
Горючесной желтозем (лес)	Апрель Июль Октябрь	39,6 — 16,0	13,7 87,6 11,3	174,8 60,6 106,0	57,2 66,6 75,2	19,8 27,2 12,0	12,4 20,7 8,5	4,3 14,0 5,6	4,4 10,6 4,0	— 2,8 1,2	— 2,1 0,8	— — —	— — —	288,4 131,6 140,8	
Желтоземно-подзолисто-гасевая (лесная почва)	Апрель Июль Октябрь	22,0 5,6 —	14,7 5,8 —	118,8 86,8 50,0	79,4 89,6 93,2	8,0 4,4 2,0	5,3 6,8 4,5	0,8 6,8 —	0,5 15,3 —	— — —	— — —	— — —	— — —	149,6 44,4 96,8	
Желтоземно-подзолисто-гасевая (плантация)	Апрель Июль Октябрь	— — —	— — —	4,0 8,0 4,0	34,4 90,9 34,4	6,8 0,8 6,8	58,6 9,0 58,6	0,8 — 0,8	— — —	— — —	— — —	— — —	— — —	53,6 11,6 8,8	
Болотная (многолетняя азалежь)	Апрель Июль Октябрь	— — —	— — —	41,6 15,2 14,8	99,0 86,3 97,3	0,4 1,6 0,4	0,9 9,3 0,4	— 0,4 —	— 2,3 —	— — —	— — —	— — —	— — —	42,0 17,2 15,2	

При мечанье, А—численность беспозвоночных животных на 1 км²; Б—% от общего числа.

летний период почвенные беспозвоночные в основном были сосредоточены в слое 10—20 см (97,7%). В желтоземно-подзолистой глеевой почве почвенные беспозвоночные встречались на глубине 20—30 см. В болотной почве основная масса беспозвоночных (83,3%) в летний период обнаружена на глубине 0—10 см. Это, по-видимому, объясняется высоким уровнем грунтовых вод, создающим анаэробные условия существования в нижних слоях почвы. Последнее является фактором, ограничивающим продвижение животных вглубь.

Выводы

1. Видовой состав и численность почвенных беспозвоночных в исследованных типах почв различны. Наиболее благоприятные условия для развития беспозвоночных оказались в коричневых сильно выщелоченных почвах и менее благоприятные в болотной почве. Почвы желтоземного ряда по численности беспозвоночных занимают промежуточное положение.

2. Сравнение численности беспозвоночных животных на необрабатываемых и обрабатываемых участках показывает, что на первых численность больше, чем на последних.

3. Глубина распределения беспозвоночных по профилю почвы зависит от почвенных условий (влажности, содержания органических веществ и глубины залегания грунтовых вод).

ЛИТЕРАТУРА

1. Гиляров М. С. Методы количественного учета почвенной фауны. „Почвоведение”, 1941, № 4. 2. Гиляров М. С. Сравнительная заселенность почвенными животными темноцветной и подзолистой почв. „Почвоведение”, № 9—10, 1942.

Институт почвоведения и агрохимии

Поступило 28. I 1965

Даңқаран субтропик зонасында әсас торы

Лэнкэран субтропик зонасында эсас топраг типлери фаунасынын характеристикасы

ХҮЛАСЭ

Азәрбајҹан шәраитиндә торпағын онурғасыз чанлылары бу күнә гәдәр өјрәнилмәмишdir. Одур ки, 1962—1963-чү илләрдә Ләнкәран зонасында бу саһәдә биринчи дәфә олараг тәдгигат ишләри апарылышдыр.

Тәдгигат ишләри 4 торпагда: дағ-мешә сары, глејләшмиш сары подзоллу, батаглыг вә гәләвиләшмиш гәһвәји торпаг типләринде апарылышыр. Торпаг онурғасызыларының газынтыларда тәдгиги вә не-саба алынмасы М. С. Гилјаровун (1) методу эасында апарылышыр.

Тәдгигат заманы мұәжжән едилмишdir ки, мұхтәлиf характерли торпаг типләриндә онурғасызларын иөв тәркиби вә мигдары мұхтәлиf болур. Белә ки, тәдгиг олунан торпаг типләри ичәрисинде Іүксек һумусlu гәләвиләшмиш гәһвәji торпаг онурғасызлар учун даһа әлве-ришилди. Бурада 1 m^2 саһадә орта һесабла 312,7 онурғасыз һејван ашкар едилмишdir. Иккінчи жерде дәғ-мешә сары вә глеjlәшмиш са-ры подзоллу торпаглар тутур. Баталыг торпаглар исә онурғасызларын-ән аз жақылдығы торпаг типи һесаб едилмәли. Бурада 1 m^2 торпаг саһесинде орта һесабла чәми 24—42 онурғасыз һејван, гејдә алымыш-

дыр. Батаглыг торпагда онурғасызларын даңа аз жајылмасынын сәбәби бу торпағын һәддиндән артыг рүтубәтли олмасы илә изәһ едилir. Глејләшмиш сары подзоллу торпагда чај, гәләвиләшмиш гәһвәйи торпагда исә үзүмлүкләр салындырындан бу торпагларда јашајан онурғасыз heјванларын мигдары кәсекин сурәтдә азалыр. Бу азлыг торпагларын вахташыры ишләнмәси заманы һәмин саһәләрдә үзви маддәләрин азалмасы илә әлагәдардыр. Мүәјҗән едилмишdir ки, торпаг онурғасызларына эн чох јазда раst кәлмәк олур. Јајда атмосфер чөкүнтуләринин азалмасы вә навада истилијин јүксәлмәси нәтичесинде торпагда нәмлик ашағы олур ки, бу вахт онурғасызларын мигдары азалыр.

Онурғасызларын мұхтәлиф тип торпаг шәраитиндә үфги истигамәт-дә јерләшмәси мұхтәлифdir. Торпаг онурғасызларынын мұхтәлиф дәрнликләрдә мигдары илин фәсилләрindән чох асылыдыр.

ФИЗИОЛОГИЯ ЖИВОТНЫХ

М. С. ГАФУЛОВ

ВЛИЯНИЕ ФОЛЛИКУЛИНА НА НАДПОЧЕЧНИКИ, ПОЛОВЫЕ ЖЕЛЕЗЫ И ПОЛОВЫЕ ОРГАНЫ У КРЫС-САМЦОВ

(Представлено академиком АН Азербайджанской ССР А. И. Каравеевым)

Известно, что в семенниках, кроме андрогенов, вырабатывается и ингибин—эстрогенный гормон, участвующий в регуляции цитогенной функции семенных желез (Хеллер с сотр., 1948; Берtronг и сотр., 1949; Хауард и сотр., 1953 и др.).

Некоторые исследователи предполагают, что пропорция эстрогенов к андрогенам играет существенную роль в нормальной половой деятельности самцов (Хеллер и сотр., 1948; М. Юлес и Холло, 1963 и др.).

Нарушение пропорции андрогенов к экстрогенам с преобладанием последнего считается одним из основных причин нарушения половой функции мужчин (И. М. Порудоминский, 1960 и др.).

Наши предыдущие исследования показали, что эстрогенный гормон—фолликулин приводит к заметному снижению тестикулярных андрогенов в перфузате семенных желез у половозрелых собак-самцов.

В настоящем сообщении мы приводим данные о влиянии фолликулина на вес половых желез, надпочечников и полового члена у крыс-самцов. Мы избрали эти органы именно потому, что изменение андрогенов в организме приводит к изменению веса половых желез и в этом процессе надпочечники играют существенную роль.

Методика. Опыты проводились на 50 крысах-самцах из одной семьи. I группа (30 крыс) имела 5-месячный возраст; живой вес каждой 200 ± 5 г; II группа (20 крыс)—4-летний возраст, живой вес каждой 280 ± 7 г.

Из I гр. 15, из II гр. 10 крысам вводили подкожно в течение 10 дней каждой по 250 ME фолликулина, а контрольным крысам I и II групп вводили подкожно каждой по 0,1 мл физиологического раствора. Крысы находились на одинаковом пищевом режиме. На 11 день крысы взвешивались и убивались. На торзионных весах взвешивались надпочечники, пузырковидные железы, семенные пузырьки, предстательные железы и половой член, после освобождения их от окружающей ткани. Результаты первой серии опытов представлены в табл. 1.

Как видно из таблицы, у контрольных крыс, имеющих 5-месячный возраст, средний вес надпочечников на 100 г веса крысы составляет

Таблица 1

Изменение веса надпочечников, семенных пузырьков, пузырковидной железы, предстательной железы и полового члена у крыс 5-месячного возраста под воздействием фолликулина (вес органов в мг на 100 г веса животного)

№ пп.	Надпочечники		Семенные пузырьки		Пузырковидные железы		Предстательные железы		Половой член	
	Контроль		Опытная		Контроль		Опытная		Контроль	
	Контроль	Опытная	Контроль	Опытная	Контроль	Опытная	Контроль	Опытная	Контроль	Опытная
1	20,5	25,5	1558	1323	445	225	55	—	109	100
2	22,1	30,6	1325	1018	442	112	50	—	122	132
3	20,0	30,0	1323	555	585	138	45	40	106	75
4	22,5	25,0	1310	1228	615	136	46	44	115	94
5	23,0	35,0	1423	1377	539	218	29	46	120	113
6	22,0	34,7	1300	755	639	102	55	39	113	82
7	22,18	31,0	1285	1189	421	150	47	47	131	94
8	22,18	30,0	1720	1364	647	223	37	53	133	110
9	24,0	31,0	1319	1160	488	290	32	51	97	130
10	20,0	30,0	1324	564	583	173	45	48	107	136
11	22,0	25,0	1300	1080	689	214	54	48	110	90
12	22,0	21,0	1285	1350	421	285	46	60	130	106
13	22,0	23,0	1600	1311	649	305	37	57	133	101
14	23,0	23,0	1423	1167	595	205	30	40	120	112
15	20,0	32,0	1320	1059	580	155	44	54	110	89
Сред. арифм.	21,6± ±0,36	28,8± ±0,36	1388± ±3,60	1164± ±7,34	563±26,5	194±26,5	43,4±2,38	48,4±1,95	118± ±5,06	104± ±5,07

21,6±0,36, а у опытной группы, получившей фолликулин 28,8±0,36 мг, с достоверностью 99,99%, т. е. в опытной группе по сравнению с контрольными наблюдалось увеличение веса надпочечников в среднем на 33,3%. У контрольных крыс средний вес семенных пузырьков на 100 г веса крысы составляет 1388±3,60 пузырковидной железы 563±26,5, а у опытных, получивших фолликулин, соответственно 1164±7,34 и 194±58,9 с достоверностью 99,99%, т. е. в опытной группе по сравнению с контрольными наблюдалось уменьшение семенных пузырьков на 16,1%, пузырковидной железы на 65,5%. У контрольных крыс средний вес предстательной железы на 100 г веса крысы составляет 43,4±2,38 мг, половой член 118±5,060, у опытных, соответственно, —48,4±1,96 и 104±5,07. Однако полученные изменения статистически не достоверны.

Общеизвестно, что уменьшение веса пузырковидной железы является результатом уменьшения количества тестостерона в организме. Введенный фолликулин, по нашему мнению, приводит к сильному подавлению инкреторной деятельности семенных желез и поэтому в наших опытах наблюдается снижение веса указанных органов.

В литературе имеются сообщения о том, что после кастрации наблюдается заметное увеличение веса надпочечников (для поддержания стероидного равновесия в организме), что у самцов вес надпочечника имеет меньший вес, чем у самок (Г. Бюров и др.). В наших опытах увеличение веса надпочечников после введения фолликулина, вероятно, есть результат компенсаторной функции надпочечников для поддержания стероидного равновесия в организме в ответ на уменьшение инкреторной деятельности семенных желез в этом периоде развития. В этих опытах мы не наблюдали достоверного уменьшения веса полового члена и предстательной железы. Возмож-

Таблица 2

Изменение веса надпочечников, семенных пузырьков и пузырковидной железы у крыс 4-летнего возраста под воздействием фолликулина (вес железы в мг на 100 г веса животного)

№ пп.	Надпочечники		Семенные пузырьки		Пузырковидные железы	
	Контрольная	Опытная	Контрольная	Опытная	Контрольная	Опытная
1	21,1	23,3	1096	808	232	89
2	26,0	19,0	1050	840	183	100
3	16,0	20,0	957	581	183	95
4	18,0	15,0	743	861	146	97
5	17,0	15,0	1039	715	199	80
6	16,0	22,0	1071	743	145	90
7	26,0	16,0	943	840	146	100
8	20,0	16,0	903	620	101	86
9	13,0	16,0	1120	655	104	89
10	13,0	16,0	943	645	105	75
Средн. арифм.	18,6±1,57	17,9±0,99	981±38,2	731±32	154±17,46	90±1,06

но, увеличение стероидов надпочечникового происхождения в какой-то степени, компенсируя стероиды семенных желез, оказывает регулирующее влияние на вес указанных органов.

Результаты опытов, проведенных у крыс, имеющих 4-летний возраст, представлены в табл. 2, из которой видно, что у контрольных крыс, имеющих 4-летний возраст, средний вес надпочечников на 100 г веса животных составляет 18,6±1,57; у опытных, получивших фолликулин 17,9±0,99, полученное изменение статистически не достоверно. У контрольных средний вес семенных пузырьков составлял 981±38,2 пузырковидной железы 154±17,46 мг. У опытных соответственно—731±32 пузырковидные железы 90±1,06 мг. Уменьшение достоверно 99,99%, т. е. у опытных крыс, получивших фолликулин, по сравнению с контрольными, наблюдалось уменьшение веса семенных пузырьков на 25,4%, пузырковидной железы на 58,4%.

Введение фолликулина крысам, имеющим 4-летний возраст, приводит к заметному изменению веса пузырковидной железы и семенных пузырьков. Но не изменяется вес надпочечных желез. Данные опыты говорят о том, что в этом периоде развития крыс фолликулин приводит к подавлению инкреторной деятельности семенных желез. Однако на уменьшение инкреторной деятельности семенных желез надпочечники не отвечают компенсаторной функцией, как это наблюдалось у крыс, имеющих 5-месячный возраст. Это не означает, что в данном периоде развития крыс организм становится менее чувствительным к фолликулину, так как введение фолликулина пожилым крысам приводит к более сильному снижению семенных пузырьков и пузырковидной железы, чем у крыс в 5-месячном возрасте.

Выводы

1. У белых крыс в 5-месячном и 4-летнем возрасте фолликулин приводит к уменьшению веса пузырковидной железы и семенных пузырьков, существенно не влияя на вес предстательной железы и полового члена.

2. У крыс в 5-месячном возрасте фолликулин приводит к увеличению веса надпочечников, а в 4-летнем возрасте не приводит к изменению их.

3. У молодых и старых крыс фолликулин подавляет инкреторную деятельность семенных желез. Это подавление у крыс в 5-месячном возрасте в какой-то степени компенсируется за счет увеличения веса надпочечников.

ЛИТЕРАТУРА

1. Порудоминский И. М. Половые расстройства у мужчин. М., 1960.
2. Berthouug M., Goodwin W. E., Scott W. W. Estrogen production by the Testis. J. Clin. Endocrinol. 9, 979, 1949.
3. Bawden H. Biological actions of sex hormones Cambridge, 1949.
4. Chauhard P., Mazoue A., Lecog P.: Recherches Chrono-ximétriques, sur les hormones sexuelles Ann. Endocrinol. № 4, 14, 1953.
5. Heller C. Q., Maddock W. O., Sungck E. O., Nelson W. O. The Sertoli Cell. J. Clin. Invest. 27, 540, 1948.

Сектор физиологии

Поступило 21.V.1964

М. С. Гафулов

Еркек сичанларда фолликулинин бөјрәкүстү вәзиләрә, тәнасүл вәзиләринә вә тәнасүл үзүнә тә'сирі

ХҮЛАСӘ

Еркек тәнасүл вәзиләриндә еркек чинсијәт һормонларындан баш-
га, диши чинсијәт һормону—ингибин дә һасыл олунур. Бу һормон
естрокен тәбиәтли олуб, еркәкләrin тәнасүл фәалијәтнә бөյүк рол
оңайыр.

Кечмиш тәдгигатларымыз көстәрмишdir ки, итләрдә тохумлуғы
естрокен һормонлардан фолликулинлә гычыгандырығыда тестикулдар
андроинләри әмәлә кәлмәсі ләнкијир.

Биз бу тәдгигаттызда фолликулинин тәнасүл вәзиләри, тәнасүл
үзүв вә бөјрәкүстү вәзиләрин чәкисинә тә'сирини өjrәндик.

Тәдгигатларымыздан алынан нәтичәләр көстәрир ки, 5 айлыг вә 4
иллик ағ сичанларда фолликулин тохумлуғун, простат вәзинин чәкисини
азалдыр. Тәнасүл үзүнүн чәкисинә исә статистик кафи тә'сир
көстәрми. Фолликулинин бөјрәкүстү вәзиләре тә'сирі сичанларын
јашындан асылыдыр. 5 айлыг сичанларда фолликулин бөјрәкүстү вәзиләри
нипертрофијасыны әмәлә кәтириди һалда, 4 иллик сичанларда
бөјрәкүстү вәзиләрин чәкисини статистик кафи дәјишдирми.

ЦИТОЛОГИЯ РАСТЕНИЙ

Ю. М. АГАЕВ, Е. Е. ФЕДОРОВА

О ДВУЯДЕРНЫХ КЛЕТКАХ И АМИТОЗЕ У ДИПЛОИДНОЙ И ПОЛИПЛОИДНОЙ ШЕЛКОВИЦЫ

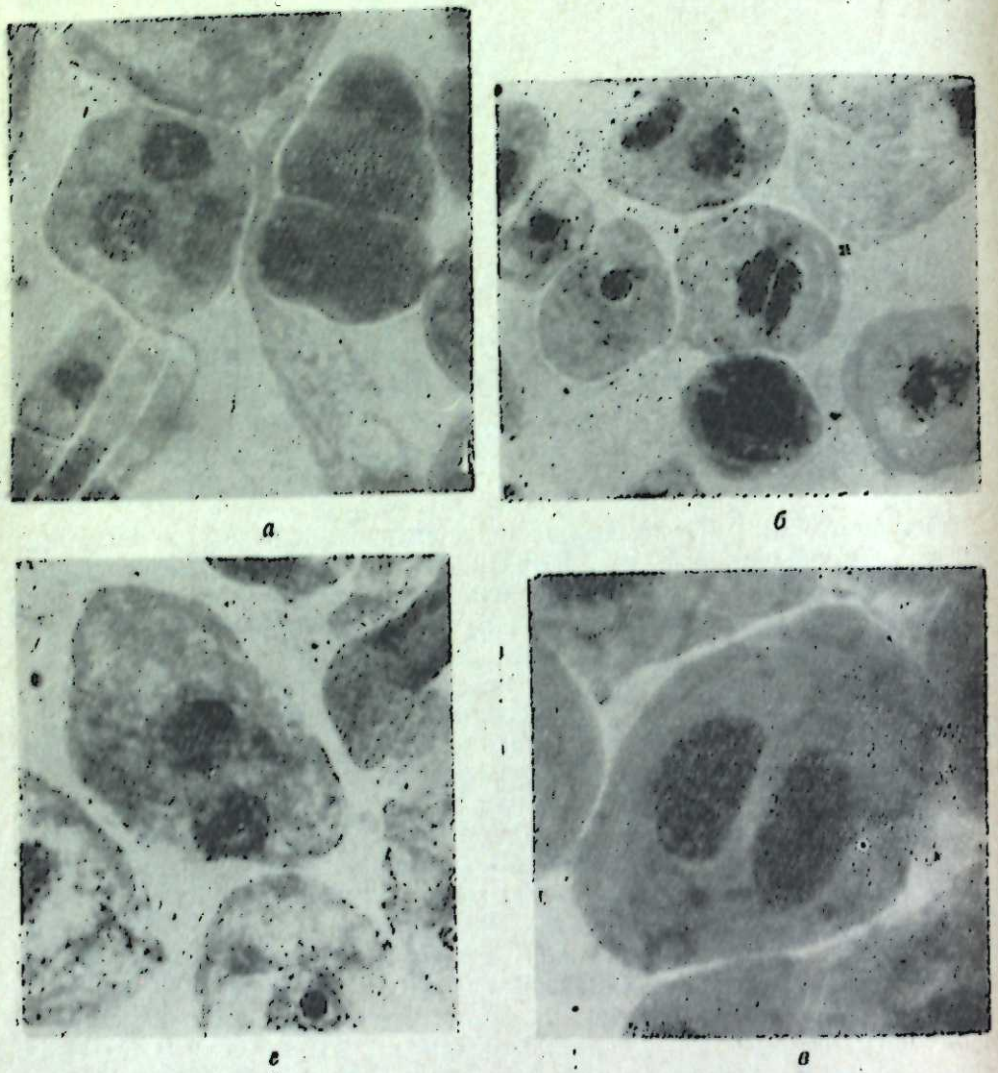
(Представлено академиком АН Азербайджанской ССР И. К. Абдуллаевым)

Общеизвестно, что соматические клетки растительных и животных организмов обычно бывают одноядерными и размножаются митотическим путем. Вместе с тем, сравнительно редко встречаются дву- или многоядерные клетки и параллельно, как правило,—явление амитоза. Для некоторых тканей животных и растений вообще характерно наличие дву- и многоядерных клеток (клетки печени у животных, например пыльников и т. п.). Двуядерность соматических клеток и амитоз изучены, однако, в недостаточной степени. В частности, мало освещенным остается вопрос о встречаемости амитотически делящихся и двуядерных клеток у родственных растений, отличающихся друг от друга по степени полидности. Нами был проведен цитологический анализ соматических клеток у следующих диплоидных и полиплоидных форм и сортов шелковицы диплоиды: Тозляян-тут, Эмин-тут, Зариф-тут; Азерб. № 82, Кирни; триплоиды: Ханлар-тут, Шах-тут, Бидана-тут; тетраплоиды: Тегеран-тут, 1 СП-17/44, 1 СП-11/24; гектаплоид: 2-17; 12—плоид: гибрид Хар-тут×Зариф-тут; 22—плоидная форма Хар-тут.

Из перечисленных сортов и форм часть выведена академиком И. К. Абдуллаевым. Тетраплоидные формы 1 СП-17/44 и 1 СП-11/24 получены Н. А. Джараровым путем колхицинной обработки. Образцы нами были взяты в Кусарчайской и Апшеронской опытных шелковичных плантациях Института генетики и селекции, а также в Кировабадской шелковичной плантации Института шелководства. Для исследования брались молодые листочки с верхушками растущих побегов, которые фиксировались в смеси Карнуа с последующим переводом их в 70% спирт. Микроскопический анализ проводился на давленных ацетокарминовых препаратах.

Цитоанализ исследованных нами диплоидных и полиплоидных форм и сортов шелковицы показал, что в молодых листочках всегда можно найти отдельные двуядерные клетки. О двуядерности этих клеток не могло быть сомнения, так как в них четко выделялись ядра, а следовательно образования перегородки совершенно не было заметно. Пространство между ядрами было занято цитоплазмой так же, как и остальная

часть полости клетки (рис. *a*, *b*, *c*, *d*). Ядра в двуядерных клетках, как правило, имели грубо зернистую структуру без четко оформленных, сравнительно мелких ядрышек (рис. *b*, *c*, *d*). Нередко, однако, ядрышки были более ясно выраженными и мало отличались от ядрышек клеток, характеризующихся наличием одного ядра (рис. *a*).



Двуядерные клетки в листочках диплоидной, триплоидной, тетраплоидной и 22-плоидной шелковицами:

a—Тозлани-тут; *b*—Шах-тут; *c*—Тегераи-тут; *d*—Хартут.

Интересно, что ядра в двуядерных клетках примерно в два раза мельче ядер одноядерных клеток. Связано ли это с редукцией хромосомного комплекса, сказать трудно. Это можно окончательно установить цитофотометрическим способом. Однако попадается немало и таких двуядерных клеток, ядра которых соразмерны с ядрами одноядерных клеток. Это видно, например, на рис. *c*, где изображены клетки листочка 308-хромосомной шелковицы Хар-тут.

На изготовленных препаратах мы ни разу не наблюдали многоядерных клеток, а также дальнейшего деления ядер в двуядерных клетках.

Между представителями шелковицы с различной степенью полидности в форме двуядерных клеток существенной разницы нет. С возрастанием степени полидности, как правило, размеры двуядерных клеток и их ядер в среднем несколько увеличиваются, достигая максимума у самой высокополиплоидной формы Хар-тут.

Подсчет общего количества двуядерных и одноядерных клеток на полях зрения микроскопа показал, что двуядерные клетки у триплоидной и тетраплоидной шелковицы встречаются гораздо реже, чем у 168- и 308-хромосомных представителей этой культуры. Диплоидные формы занимают промежуточное положение. Так, например, на каждые 1000 клеток в среднем встречалось: у диплоидов—18 двуядерных клеток, у триплоидов—9, тетраплоидов—8, у гибрида с $2n=168-50$, у 308 хромосомной формы Хар-тут—80. Или соответственно количество двуядерных клеток составляло: 1,8, 0,9, 0,8, 5 и 8% от общего количества клеток.

Первое знакомство с изготовленными препаратами наводит на мысль, что в листочках помимо типичного митотического деления происходит и амитоз. Это особенно ясно видно у высокополиплоидных растений. Впоследствии, на основании более тщательных анализов большого количества препаратов мы окончательно пришли к заключению, что амитоз действительно имеет место, притом у растений с $2n=2x$, $3x$, $4x$, амитоз встречается реже, чем у растений с $2n=12x$ и $22x$. Поскольку аналогичная зависимость устанавливается также между количеством двуядерных клеток и степенью полидности, естественно, возникает вопрос, не имеется ли связь между явлением двуядерности и амитотическим типом деления. Оказалось, что такая связь есть: нами было установлено возникновение определенного количества двуядерных клеток путем типичного амитоза. В большинстве же случаев деление ядер, приводящее, очевидно, к двуядерности, невозможно было отнести строго ни к тому, ни к другому типу деления клетки. Оно носило признаки митоза и амитоза. Подобные случаи деления ядер по типу промежуточному между митозом и амитозом, описаны Чельцовской [3].

Деление ядер амитотическим путем происходит двумя способами: в первом случае ядро в середине образует слегка замечаемую перетяжку, затем на этом месте оно оказывается разделенным на две части. Во втором случае посередине ядра формируется перегородка, а образования перетяжки не наблюдается. Как ни странно, оба указанных способа амитотического деления описаны и у животных объектов (см. Вильсон, 1936). На рис. *b* в середине изображена клетка, ядро которой разделилось на две части, очевидно, по второму способу.

Нельзя отрицать того, что двуядерные клетки зачастую формируются также и в результате митотического деления, отличающегося от типичного митоза только тем, что из общего цикла процесса деления выпадает фаза цитокинеза. Ядра двуядерных клеток, возникшие путем митоза, как правило, располагаются в той или иной степени отдаленно друг от друга, а при амитозе они обычно располагаются ближе друг к другу, иногда почти соприкасаются между собой. Двуядерные клетки, возникшие путем митоза, представляют собой как бы последнюю фазу митотического деления, в которой не происходит формирования клеточной перегородки.

В соматических тканях взрослых листьев нами не было замечено ни одного случая наличия двуядерных клеток. Все клетки взрослых листьев были одноядерными. Следовательно, у двуядерных клеток листочков шелковицы независимо от способа их возникновения рано или поздно формируется перегородка, и они превращаются в одно-

ядерные. Отсюда можно заключить, что двуядерность представляет собой временное явление у отдельных клеток, связанное с тем что, фаза цитокинеза наступает необычно поздно. В стареющих листьях клетки также одноядерные. Ядра в столбчатой паренхиме этих листьев приобретают причудливую форму: значительно вытягиваются и на концах образуют длинные нитевидные выросты.

Наши наблюдения показали, что у высокополиплоидных растений шелковицы не только двуядерные и амитотически делящиеся клетки, но и вообще делящиеся клетки встречаются чаще, чем у растений с низкой степенью полипloidии. Это свидетельствует о медленном темпе деления клеток, что фенотипически находит свое выражение в затяжном характере вегетационного периода высокополиплоидных шелковиц. Указанное согласуется с данными И. К. Абдуллаева и Н. А. Джагарова [1], которые установили, что для высокополиплоидной формы шелковицы Хар-тут внешние характерны медленные темпы развития.

ЛИТЕРАТУРА

1. Абдуллаев И. К., Джагаров Н. А. 1962 г. Новые данные о биологии и семенном размножении высокополиплоидной шелковицы Хар-тут. Изв. АН Азерб. ССР, № 2, 1962.
2. Вильсон Э. Клетка, т. 1, М.—Л., 1936.
3. Чельцова Л. П. К вопросу о митотическом и немитотическом делении клеток у растений. Изв. АН СССР, серия биол., № 3, 1960.

Институт генетики и селекции

Поступило 24. VII 1965

Ж. М. Агаев, Ж. Ж. Федорова

ДИПЛОИД ВАШ ПОЛИПЛОИД ТУТДА ИКИНҮВӘЛИ ҺҮЧЕЈРӘЛӘР ВАШ АМИТОЗ ҺАГГЫНДА

ХУЛАСӘ

Икинүвәли һүчејрәләр вә шелковица амитоз бөлүнмә индијә гәдәр әтрафы өјрәнилмәмиш мәсәләләрдәндир. Мәгалә бу мәсәләләрин диплоид ($2x$) вә полиплоид ($3x, 4x, 7x, 12x, 22x$) тут ағачларында өјрәнилмәсинә һәср олунмушшур. Ситологи анализ меристематик һалда олан ярпагчылар вә там јетишмиш ярпаглар үзәринде апарылышынан.

Мүәйян едилмишdir ки, тәдгиг олунмуш тут ағачларының һамысының ярпагчыларында бирнүвәли һүчејрәләрлә јанаши; нисбәтән аз мигдарда икинүвәли һүчејрәләр дә раст кәлир. Һәмин һүчејрәләр 168 вә 308 хромосомлу тутда нисбәтән чох, диплоидләрдә ондан аз, триплоид вә тетраплоидләрдә исә даһа аз тәсадүф олур.

Икинүвәли һүчејрәләр, мүәллифләrin фикринчә, митоз, амитоз вә һәм дә митозла амитоз арасында кечид тәшкىл едән бөлүнмә ѡллары илә әмәлә кәлир. Һәмин бөлүнмәләр заманы ситокинез фазасы кетмир вә әмәлә кәлән һәр икى нүвә бир һүчејрәдә галыр. Икинүвәли һүчејрәләрдә нүвәнин тәкрабән бөлүнмәси һалы бир дәфә дә олсун раст кәлмәмишdir.

Јетишмиш ярпагларда бүтүн һүчејрәләр бирнүвәлиdir. Сүтунвары паренхимдә нүвәләр хејли дәрәчәдә узунсов шәкил алый, уч тәрәфләрдән сапвары чыхынты әмәлә кәтирир.

АРХЕОЛОГИЈА

РӘШИД ҚӨЛҮШОВ

ЈЕНИ ТИПЛИ ДАШ БҮТЛӘР

(Азәрбајҹан ССР Елмләр Академијасынын академики Ә. Ә. Әлизадә тәгдим етмишdir)

1964-чу илдә Дағлыг Гарабағ әразисинде мүәллифи апардыры археологи тәдгигат ишләри нәтиҗесинде Мардакерт раionunun Чайнатаг вә Ағдам раionunun Bojəhmədli kəndləri әразисинде bir сыра јени типли даш бүтләр ашкар олунмушшур. Һәләлик көстәрилән әрази үчүн характерик олан вә умумијәтлә Азәрбајҹан әразисинде илк дәфә ашкар олунан бу бүтләр истәр форма вә истәрсә дә мәзмүнләры етибарилә сон дәрәчә мараглыдыр.

Әксәрән јени өлчүдә олан бу бүтләrin һүндүрлүјү 1,2 вә ja 1,3 м, ени исә 40—50 см-дир. Бүтүн бүтләрдә инсанын һалызы баш вә көвдә һиссәләри тәсвир едилмишdir. Бүтләrin ајаг һиссәләри исә бүтөв дүзәлдилмишdir. Бу вәзијәт даш бүтләrin ајаг һиссәсийин јерә басдырылмасы илә әлагәдар олунмушшур. Бүтләrin баш һиссәләри хүсуси кәз васитәсилә көвдәдән ајрылышынан. Бу һиссә көвдә илә јени ендә олуб, бир нөв еллипсварынан. Башын үз һиссәсийнә газыма үсулу илә бурун вә көзләр дүзәлдилмишdir. Бүтүн бүтләрдә көзләр ики кичик чаладан ибарәт олуб, алын һиссәсәнән җахындыр. Бу исә үзүн үмуми симметријасыны позмушшур. Бүтләrin дәш һиссәләри дә баш илә ајгадан хүсуси кәз васитәсилә ајрылышынан. Дәш һиссәдә җалызы гол вә әлләrin тәсвир верилмишdir. Даш бүтүн өлчүсүн нисбәтән гол вә әлләр хејли узун дүзәлдилмишdir. Мараглы чәһәт одур ки, даш бүтүн әлләrin дирсәкдән бүкүләрәк үзүнә доғру галхаг вәзијәтдә һәкк едилмишdir (шәкил). Бүтләrin үз һиссәләриндән фәргли олараг, дәш һиссәләриндән тәсвирләр чыхынты һалында дүзәлдилмишdir.

Даш бүтләрә инчәсәнәт нәгтєи-нәэриндән јанашдыгда гејд етмәлийик ки, бир гајда олараг, онларын һамысы кобуд, һәм дә зөвгсүз назырламышынан. Даш бүтләrin бир-бириндән хејли аралы мәсафәләрдә ашкар олунмасына баҳмајараг, илк баҳышдан адама елә қәлир ки, онларын һамысыны бир уста назырламышынан. Элбәттә, бу һал һәмин бүтләrin мүәйян бир ганунила назырламасынан ирәли қәлир.

Елм үчүн мараглы олан һәмин бүтләrin мәзмүнүнүдүр. Һәләлик әли-миздә аналоги материалларын олмасы бу мәсәләни чәтинләшdirсә дә, һәмин бүтләrin билаваситә гәбирлә әлагәдар олмасы онларын мәзмүнүнүдүр. Елм үчүн мараглы олан һәмин бүтләrin мәзмүнүнүдүр. Һәләлик әли-

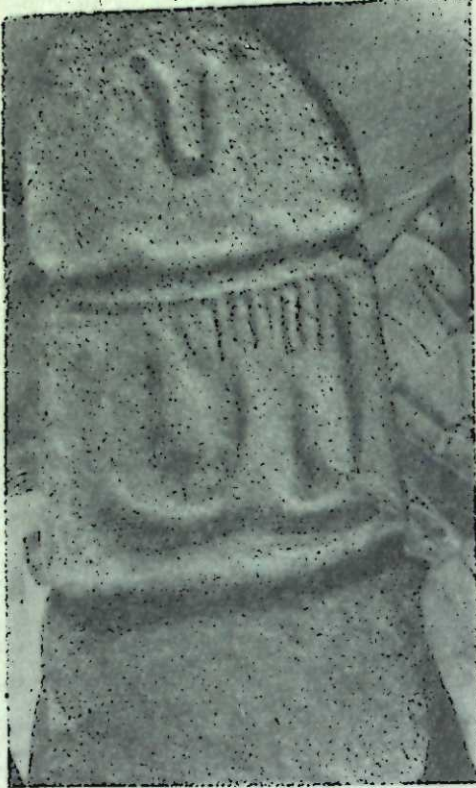
ик ки, һәләлик бу бүтләрин әлимиздә олан һүснәләри гәдим гәбиристанлыглардан ашкар едилмишdir. Бир әдәди исә назырда истифа-дәдә олан вә јерли әһали тәрәфийндән мүгәддәс һесаб едилән; мусәлман-лара мәхсус „Мәләк моллалы“ гәбиристанлығындан ашкар едилмишdir¹. Дикәр дашлар исә христианлыг дөврүнә аид гәбиристанлыглардан ашкар едилмишdir. Апарылмыш тәдгигат ишләри иәтичәсindә айдын олмушdur ки, қәстәрилән бүтләр әсасән ерамызын VIII—IX әсрләrinә аидdir. Һәлә ерамызын илк әсрләри учун характерик олан даش бүтләрин қәстәрилән зонада VIII—IX әсрләрдә јени форма илә мејдана кәлмәси әлбәттә чох мараглыдыр.

Мә’лум олдуғу кими, инидиә гәдәр Азәрбајҹан әразисинде ашкар олунмуш бүтүн христиан гәбиrlәrinдә, олунүн басдырылмасы нәгтиji-иәзәриндән, әсасән бир ганунаујгунилуг вардыр. Бу да онда ибарәтdir ки, һәмни гәбиrlәrdә әсасән скелет диздән азачыг бүкүлү, голлары исә дирсәкдән бүкүләрәк мејитин сиfәтине дөгрү гатламыш һалда дәфи едилirdи. Бу һал өзүү ҳүсүсилә христианлығын илк дөврләrinдә даңа чох бүрүзә вермишdir. Христианлығын сонракы дөврләrinдә исә бу вәзијјәт тәрчила арадан галхымышдыр.

Жухарыда тәсвирини вердијимиз даш бүтләrin үзәриндәki тәсвиirlә, онун мәхсус олдуғу гәбиrdәki скелетин вәзијјәti арасындағы ујгун-луғу иәзәрә алсаг, белә бир иәтичәjә кәлмәк олар ки, қәстәрилән бүтләр башдашы, онларын үзәриндәki тәсвиir исә гәbiрдәki скелетин вәзијјәtinini билдиrән әсас амилdir.

Әлбәттә, белә бүтләrin билаваситә Дағлыг Гарабағ зонасында җаялмасы да тәсадүfi дејилdir. Мә’лум олдуғу кими, Ислам дини бу зонада даңа чиди мүгавимәтә раст кәлмиш вә һәртәрәфli җаяла билмәмишdir. Дикәр тәrәfdәn, бу әрази әvvәllәr христиан динини православ мәzһәbinde олан јерли албанларla Григорjan мәzһәbinde олан ғоншу ермәни килсәsi арасында мүбәризә мејданына чеврилмишdir. Одур ки, VIII—IX әсрләrdә мәhз Гарабағын даглыг вә дагәtәji зоналары дини чәhәтдән гармагарышыг бир вәзијјәтдә иди. Жухарыда қәstәrijimiz даш бүтләrin һәр ики дин мәхсус гәbiристанлыглардан ашкар олунмасы да мәhз бунуна изаһ едилмәlidir. Бүт формалы ҳүсуси башдашыларынын җаялмасы исә дини чәhәтдән гармагарышыглыг дөврүндә көhиeliјә дөгрү атылыш бир адым иди. Она көрә дә тәсадүfi дејилdir ки, қәstәriләn формада назырланыш башдашылары узуи мүлдәт давам етмәшиш вә демәk олар ки, X—XI әсрләrdәn сонра тамамилә сырадан чыхымышдыr.

¹ „Мәләк моллалы“ гәbiриstanлығы Агdam раionunun Bojәhмәlli Советлиjини Шәfibәjli kәndindәdir.



Јени типли даш бүт.

Бүтүн дејиләnlәrә әсасән белә бир иәтичәjә кәлмәк олар ки, тәс-вир етдијимиз даш бүтләr дини һәrçmәrçlik дөврүнүн мәисулу ол-магла, онлар мәхсус олдуглары гәbiрдәki скелетин вәзијјәtinini көs-тәrәn bir нишанкаh олмушdur.

Tarix институту

Алынышдыр 25. 11 1965

Рашид Геюшев

Каменные идолы нового типа

РЕЗЮМЕ

В 1964 г. при археологическом обследовании на территории Нагорного Карабаха автором был обнаружен ряд каменных идолов, которые на территории Азербайджана встречаются впервые. Эти идолы в основном были обнаружены на старых кладбищах, относящихся к VIII—IX в. н. э. в деревне Джанятаq Мардакертского района и Бойахмедлы Агдамского района.

Найденные идолы очень интересны как по своей форме, так и по своему значению.

Высота их достигает от 1,2 до 1,3 м, а ширина колеблется между 40—50 см. Все идолы специальными вырезными линиями разделены на три части—головную, грудную и нижнюю. Голова имеет эллипсообразную форму. На лице обозначены глаза и нос человека, а на грудной части изображены длинные руки, согнутые к лицу человека. В нижней части идола ничего не изображено, потому что эта часть находилась под землей. Все идолы играли роль надгробных камней.

Появление такого типа надгробных камней можно связать с особенностями религиозных представлений местного населения. Как известно, начиная с VIII в. территория Нагорного Карабаха была ареной борьбы между monoфизитами и тиофизитами, а также между христианством и мусульманством. При таком обстоятельстве появление старых религиозных традиций вполне возможно.

В статье приводятся также разные факты, подтверждающие указанные предположения.

ЕТНОГРАФИЯ

Г. Ч. ЧАВАДОВ

ЧУТ ВӘ ХЫШ ТЕРМИНЛӘРИ ҺАГГЫНДА

(Азәрбајҹан ССР Елмләр Академијасынын академики Э. С. Сүмбатзадә тәгдим етмишdir)

Азәрбајҹан дүнjanын ән гәдим әкиничилик өлкәләриндән биридир. Апарылан археологи газынтылар заманы әлдә едилән әмәк аләтләри субут едир ки, Азәрбајҹанда неолит дөврүндән башлајараг әһали әкиничиликә мәшгүл олмуш, енеолит дөврүндә исә әкиничилик кәнд тасәррүфатынын әсас саһәләриндән биринә чеврилмишdir¹.

Азәрбајҹанда әкиничилик аләтләринин тарихи аз өјрәнилмиш саһәләрлән биридир. Һалбуки, әмәк аләтләринин өјрәнилмәси, К. Марксын гејд етдији кими, бу вә ja дикәр дөврүн ичтимай гурулушунун, иғтисадијатынын өјрәнилмәси үчүн бөյүк әһәмијәтә маликдир².

Мә’лум олдуғу кими, ағач хышлар шум аләти кими түнич дөврүннән мөвчуд олмушшудир³. Соңralар хышын учун каваһын кечирилмиш, шум аләтләри ичәрисиндә ән гәдим вә дағ Јерләриндә кениш мигјасда ишләдилән аләт олараг сон заманлара гәдәр өз ролуну итирмәшишdir.

Гејд етмәк лазымдыр ки, Азәрбајҹанда гәдим дөврләрдә истифадә едилмиш хышларла XIX әсрдә ишләдилмиш хышлар арасында чох бөйүк фәрг нәзәрә чарпмыр. Бу һал тәкчә Азәрбајҹан үчүн дејил, яхын вә Орта Шәрг өлкәләри үчүн дә характерикдир. Н. И. Вавилов вә Д. Д. Букинничә көрә, Араплыг дәнизи саһили, Габаг вә Орта Асија өлкәләриндә антик дөврдә мөвчуд олмуш хышларла XX әсрдә ишләдилән хышлар арасында чох дәјишиклик олмамышдыр.⁴ Буну Азәрбајҹанда Гобустан гаја тәсвиrlәrinдәki хыш рәсми⁵, Иранда тапылмыш

¹ Т. А. Буниятов. Земледелие и скотоводство в Азербайджане в эпоху бронзы, Баку, 1957, сән. 30; О. Нәбиуллајев. Күltәпнәдә археологи газынтылар, Бакы, 1959, сән. 109.

² К. Маркс, Капитал, 1-чи чилд. Бакы, 1948, сән. 131.

³ Г. Асланов, Р. Вайдов, Г. Ионе. Древний Миннечеаур, Бакы, 1959, сән. 122; Т. Э. Бунијадов. Азәрбајҹанда әкиничилији инкишафы тарихинә даир, Бакы, 1964, сән. 9.

⁴ Н. И. Вавилов и Д. Д. Букиннич. Земледельческий Афганистан; бах: Избранные труды акад. Н. И. Вавилова, том I, М.—Л., 1959, сән. 280—282.

⁵ И. М. Чәфәрзәдә. Гобустан гајаларында тәсвиrlәр (Азәрбајҹан тарихинә даир материаллар), Азәрбајҹан Тарихи Музейинин Әсәрләри, Бакы, 1957, сән. 99—118.

вә ер. әв. V әсрә аид едилән бир цилиндрик мөһүр үзәрнәдәки чүт-шәклиниң⁶ мүасир дөврдә мөвчуд олан хышлара чох охшамасы су-бут едир.

Хышын вә үмумијәтлә шум аләтләринин узун бир мүддәт әрзин-дә көклү дәјишикликләрә уграмамасынын сәбәби исә мүхтәлиф амил-ләрлә, ән әввәл ичтимай мүнасибәтләрә бағылышы⁷ вә дикәр тәрәф-дән, онун дағ Јерләри үчүн ән мүнасиб шум аләти олмасы илә изаһ олуна биләр.

Тарихи әдәбијатда бу шум аләти мүхтәлиф адларла—Азәрбајҹан Губа, Газах раionларында „чүт“ (чүфт), Шамахы, Көйчә, Нуҳа, Губадлы, Җәбрајыл вә башга раionларында исә „хыш“ (хиш) ады илә мә’лумдур⁸.

Һәмин терминләр мүасир тарихи әдәбијатда да ејни формаларда ишләдилмәкдәdir. Бурадан көрүнүр ки, „чүт“ вә „хыш“ сөзләри ејни бир әшjaja верилән мүхтәлиф адлар олуб, бир-бириннин синонимләридир.

Акад. Э. Э. Элизадә յазыр ки, XIII әсрдә Азәрбајҹанда әһали тор-пағы бечәрмәк үчүн әсасен өкүздән истифадә етмишdir. Бир чүфт¹⁰ (вә ja бир бојун) өкүз фарсча „чүфт-и-гәв“, бә’зән „гәв-чүфт“ вә ja гысалдылмыш шәкилдә садәчә „чүфт“ адланырыды¹¹. Беләниклә, Азәрбајҹан дилиндәки чүт сөзу „чүфт“ сөзүнүн дәјишилмиш формасы олуб, өзүнүн илкин мә’насында „ики“ вә јаҳуд „хыша гошулу mush ики өкүз“ демәкдир. Э. Фирдовсинин „Шаһнамә“ әсәриндә дә „чүфт“ сөзу көстәрдијимиз мә’нада ишләдилмишdir¹².

Н. А. Абелова көрә, хышы „чүт“ адланырмаг дүзкүн дејилдир. Чүники „чүт“ сөзу „ики“ демәкдир ки, бу да хыша бир чүт һејванын гошулу масы илә әлагәдардыр¹³. Һәгигәтән Азәрбајҹан дилиндәки „чүт сүрмәк“, „чүтә чыхмаг“ ифадәләри дә буны тәсдиғ едир; бурада да хыша гошулан һејванларын сүрүлмәси нәзәрәт тутулур.

Азәрбајҹанда јашајан татлар арасында исә „чүт“ дедикдә хыша гошулан һејванларын бојундуруғу нәзәрәт тутулур.

Гејд етмәк лазымдыр ки, хыша гошулан һејванын сајындан асылы олараг терминләр дә дәјишир. Мәсәлән, хыша бир чүт һејван гошуланда „чүт“, „дүгав“, „диав“, ики чүт һејван гошуланда „чаргав“ (чар—фарс дилиндәки чаһар сөзүндән олуб, дөрд демәкдир) адланырылыр ки, бу да хыша дөрд өкүзүн гошулуғуну көстәрир. Дејиләнләрдән айдан олур ки, чүт сөзу һеч дә хыш сөзу илә ејнилик тәшкىл етмир. Чүт хыша гошулан гошгу һејванларынын сајыны, хыш исә аләти өзүнү билдирир.

⁶ И. М. Дьяконов. История Мидии. М.—Л., 1956, сән. 140.

⁷ И. П. Петрушевский. Земледелие и аграрные отношения в Иране XIII—XIV веков, М.—Л., 1960, сән. 149.

⁸ Іенә орада, сән. 152.

⁹ Буидан әлавә, хыш союзын „һеш“—хыш (Чәнуби Азәрбајҹан вә Зәнкілан), нешәмраз—бүтүн ләвазиматы илә бирликдә хыш, нешалат—чүт (Ордубад), хишалат—хыш она гошулу mush һејванларла бирликдә (Губа), Түрәз (Губа, Гусар), хыш вә диннәр (Губа-Шаңдаг групу) вә с. формаларда раст көлирик. Бах: Азәрбајҹан дилинни диалектологи лүгти, Бакы, 1964, сән. 393, 421—422.

¹⁰ Чүфт сөзу һинд-Авропа дилиләри мәхсүс олмагла, фарс дилиндә soft, пәнләви дилиндә jux, авеста дилиндә ухшә вә с. формаларда мә’лум олуб ики демәкдир. Бах: Б. В. Миллер. Талышский язык, М., 1953, сән. 35.

¹¹ А. А. Ализаде. Социально-экономическая и политическая история Азербайджана XIII—XIV вв., Баку, 1956, сән. 317.

¹² Фирдоуси. Шахнаме, т. I, М., 1960, сән. 38.

¹³ А. Н. Абелов. Экономический быт государственных крестьян Геокчайского и Шемахинского уездов, Бакинской губернии; Материалы для изучения экономического быта государственных крестьян Закавказского края, т. VI, ч. II, Тифлис, 1887, сән. 128.

Орта эсрләрдэ „чүфт“ термини өлчү ваһиди кими дэ ишләдил. Проф. И. П. Петрушевски гејд едир ки, „чүфт-и-гав“ термини вэ онун синоними олан „фәддан“ бу күнэ гәдәр Иран вэ она гоншу өлкәләрдэ торпагы өлчмәк учун тәсәррүфат ваһиди кими ишләдилмәкдәдир¹⁴.

Мәһәммәд Нәсәфинин „Кичик Канди“ эсәриндә хәбәр верилир ки, Сәмәргәнд рајонундакы Искәндәргам каналы 1486, Сенгии вэ Сенграсан каналлары исә 275 чүфт-и-гав торпагдан ибарәт иди.¹⁵

Башга бир мәнбәдән аյдын олур ки, Рәшидәддинин вэ Газан ханын мүлкләри кәндләрин сајы илә дејил, чүфт-и-гавларын вэ ја фәдданларын сајы илә һесабланырыдь¹⁶. Бундан башга, „чүфт“ кәндлиләрдән верки алма, онларын кәлирини тә'јинетмә, һәмчинин канал вэ кәһризләрин мәчбури тәмизләнмәсindә өлчү ваһиди кими ишләдилләрди.

„Чүфт-и-гав“ вэ онун бир сыра синонимләри Габаг вэ Орта Асија өлкәләриндә кениш јајылараг, бу күнэ гәдәр ики мә'нада ишләдилмәкдәдир:

- 1) ишчи гүввәси вэ гошгу һејванлары илә бирликдә йүнкүл, Јаҳуд ағыр котан;
- 2) бир мөвсүмдә кәндлиләр тәрәфиндән өкүз гошулараг бечәрилән, шумланан вэ әкилә билән торпаг саһеси¹⁷.

Торпагын гуруулушундан, чәтин, асан шумланмасындан, бечәрилмә шәртләриндән, суварма системиндән, ишчи вэ гошгу һејванларынын күчүндән асылы олараг, „чүфт“ өлчусу Габаг вэ Орта Асија өлкәләриндә, һәтта Иранын айры-айры рајонларында белә мүхтәлиф олмушдур. Мәсәлән, мұасир дөврдә Иранда чүфтүн орта өлчусу 6–7 ha-ja бәрабәрдир¹⁸. А. А. Молчанов Хорасан вэ Орта Асијада чүфтүн өлчүсүнүн буғда вэ арпа јерләри учун 6–7 ha, чәлтик әкилән торпаглар учун исә 2–3 ha олдуғыну гејд едир¹⁹.

Беләлеклә, „чүфт“ (чүт) сезү даһа кениш мә'наларда ишләдиләрәк, неч дә „хыш“ мәғнүму илә еңилек тәшкил етмир. Хыш мәғнүму дедикдә исә биз анчаг ағачдан дүзәлдилиб, јери шумламаг учун сәнралар учун дәмир кәваһын кечирилмиш шум аләтини нәзәрәттүтуруг. Хыш сезүнүн етимолокијасы һәлә дәгиг мүәjjән едилмәмишdir. Орта эсрләрдә бу сезә мүхтәлиф формаларда: хишавә—шум учун назырламыш торпаг вэ ја һәр чүр әкин учун тәмизләнмиш јер, хишкар—хышла ишләјән, әкини вэ башга формаларда раст кәлмәк олур²⁰.

Һәмин терминләр хышинын етимологи мә'насынын фарс мәншәли олдуғыну демәјә әссас верирсә дә, кәләчәк тәдгигатларда бу мәсәлә һәртәрәфли өјрәниләчәкдир.

Тарих институту

Алынмышдыр 8.I 1966

¹⁴ И. П. Петрушевский. Земледелие и аграрные отношения в Иране XIII—XIV веков, с. 289.

¹⁵ В. В. Бартольд. Туркестан в эпоху монгольского нашествия, М., 1963, с. 50.

¹⁶ И. И. Петрушевский. Феодальное хозяйство Рашид-ад-дина, „Вопросы истории“ журналы, 1951, № 4, с. 90—93.

¹⁷ И. П. Петрушевский. Земледелие и аграрные отношения в Иране XIII—XIV вв., с. 290.

¹⁸ И. П. Петрушевский. Феодальное хозяйство Рашид-ад-дина, „Вопросы истории“, журналы, 1951, с. 92—93.

¹⁹ А. А. Молчанов. К характеристике налоговой системы в Герате. Бах: Родонаучальник узбекской литературы, Ташкент, 1940, с. 166.

²⁰ И. П. Петрушевский. Земледелие и аграрные отношения в Иране XIII—XIV вв., с. 126—147.

Г. Д. Джавадов

О терминах „джут“ и „хыш“

РЕЗЮМЕ

В статье, на основе изучения литературных и этнографических материалов,дается история происхождения терминов „джут“ и „хыш“.

Как показывает исследование, термин „хыш“—это, вероятно, персидское слово и обозначает соху. В средневековых источниках это слово встречается в сочетании с другими словами. Например, „хышава“—земля, которую расчищали для всяких земледельческих работ, вспаханная земля, „хышкар“—работающий с сохой и т. д.

Термин же „джут“ возникает позднее слова „хыш“ и восходит к персидскому слову „джут-и-гав“, что обозначает „пара быков“.

В земледелии „джут“ в отличие от „хыша“ обозначает соху, в которую впряженна пара быков для обработки почвы.

В статье проводится четкое разграничение между терминами „хыш“ и „джут“. В дореволюционной и советской исторической литературе эти термины почти не отделены друг от друга.

Интересным наблюдением является и то, что термин „джут“ в странах Ближнего и Среднего Востока обозначает меру измерения земли.

МҮНДЭРИЧАТ

Ријазијјат

Р. Ж. Эмәизадә. Герихәтли-еластик материалдан гајырылмыш назик
ексцентрик һалганын дајаныглығы 3

Иидродинамика

Г. Н. Чәлилов. Лајын гери-бирчинслилијини, нефт вә сујун өзлүлүкә-
риндәки фәрги нәзәрә алдыгда гујуларын сушашмасынын ганунаујуналуғу нағ-
ында 8

Физика

Н. Б. Абдуллаев, Ж. Н. Насиров, Ж. С. Фејзиев. Ге Тө бир-
ләшмәсендә галајы лантанла өвөзтәнниң бирләшмәнин термоелектрик хассәлә-
рине тә'сириний тәдгиги 13

Електрофизика

Н. Давжанов, М. Н. Шантактийский, В. И. Тагиров;
Б. С. Элиева, Э. А. Гулиев. Таллиумла ашгарланмыш теллурин һөлл
эмсалының инверсијасы нағында 15

Кимја

С. Ч. Мендијев, Р. Э. Бабаханов, Ш. Т. Эһмәдов, Р. Э.
Исмајолова. Алкилциклонексил төрәмәли пропанолларын синтези 18

Физики кимја

З. Н. Зүлфугаров, Э. Э. Новрузов. Хромоксиди катализаторлары вә
дашыјычыларын кимјәви тәркибинин онларын электрик кечиричилијине вә термо-
ЕhГ-нә тә'сириний тәдгиги 23

Үзиг кимја

С. И. Садыхзадә, А. С. Рзајева. Оксисиркә вә β -оксипропион
туршуларынын мурәккәб винил ефиirlәrinde өвөзедичиләrin сабунлашма реак-
сијасынын сүр'етине тә'сири 28

Кеокимја

Ә. Җ. Сұлтанов, Ә. Л. Ысесинов, О. Ш. Наibов, Л. Г. Ту-
микjan. Күровдағ структуру сұхурларында микроелементләrin пајланмасы-
на даир 31

Е. А. Ағамирзәјев. Балаханы-Сабунчұ-Рамана нефт жатағы ГА дәстә-
синин суда һәлл олунмуш газларынын дојма, тәзігиги вә компонент тәркиби 35

Кеофизика

Ш. С. Рәнимов, Ф. Т. Гулиев, К. Ш. Исламов. 10 мај 1963-чү ил Худат зәләэләси	40
Нефт қеолокијасы	
А. А. Сәркисов. Қарбонатлы сұхур сәттіндән нефтиң јујулмасына температуралы тә'сирі	42
Чорграфија	
Р. Л. Рейфман. Дұз, яғылмыш вә чәм радиасијаларының иисбәти һағында	45
Тибб	
А. М. Эфәнидиев, Н. М. Элиев, Э. С. Нәсәнов. Фосфорири- доксала аид жени реаксија вә ону спектрофотометрија илә өјрәнілмәсі	49
Физиотерапија	
Ж. Н. Филиппов, Д. М. Һусеинов, Ф. М. Эфәнидиев, А. Х. Будагян, А. И. Журналов. Муаличә палчығының тәркибиндәki нафтен туршуларының дәри васитесілә кечмәсі	53
Агрокимја	
Н. А. Агаев. Загаталаның әсас торпаг типләриндә мисин мүтәһәрrik фор- масының мигдары	58
Торпаг биолокијасы	
Л. А. Бабаев. Ләнқран субтропик зонасында әсас торпаг типләри фаунасының характеристикасы	63
Нејсан физиолокијасы	
М. С. Гафулов. Еркек сичандарда фолликулниң бөјрәкүстү вәзииләре, тәнасүл вәзииләрине вә тәнасүл үзвүнә тә'сирі	69
Битки ситолокијасы	
Ж. М. Агаев, Ж. Ж. Фодорова. Диплоид вә полиплоид тутда икінү- әли һүчөрәләр вә амитоз һағында	73
Археолокија	
Рашид Қејүшов. Жени типли даш бутләр	77
Етнографија	
Г. Ч. Чавадов. Чүт вә хыш терминдері һағында	80

СОДЕРЖАНИЕ

Математика	
Р. Ю. Амензаде. Устойчивость эксцентрического тонкого кольца, из- готовленного из нелинейно-упругого материала	3
Гидродинамика	
К. Н. Джалилов. О закономерности обводнения скважин с учетом неоднородности пласта и различия вязкостей нефти и воды	8
Физика	
Г. Б. Абдуллаев, Я. Н. Насиров, Я. С. Фейзиев. Влияние частич- ного замещения германия лантаном на термоэлектрические свойства GeTe	13
Электрофизика	
Х. Давжанов, М. Г. Шахтахтинский, В. И. Тагиров, Б. С. Алиева, А. А. Кулиев. Об инверсии коэффициента Холла теллура, легированного таллием	15
Химия	
С. Д. Мехтиев, Р. А. Бабаханов, Ш. Г. Ахмедов, Р. А. Исмаи- лова. Синтез алкилциклогексилзамещенных пропанолов	18
Физическая химия	
З. Г. Зульфугаров, А. А. Новрузов. Исследование влияния хими- ческого состава носителей и хромокисльных катализаторов полимеризации на их электропроводность и термоэлдс	23
Органическая химия	
С. И. Садых-заде, А. С. Рзаева. О влиянии природы заместителей в сложных виниловых эфирах окснуксусной и β -оксипропионовой кислот на скорость омыления	28
Геохимия	
А. Д. Султанов, А. Л. Гусейнов, О. Ш. Наибов, Л. Г. Туми- кяи. К вопросу о распределении микроэлементов в породах Кюровдагской структурой	31
Э. А. Агамирзоева. Упругость и компонентный состав водорастворен- ных газов подкирмакинской свиты Балаханы-Сабунчи-Раманикского место- рождения	35
Геофизика	
Ш. С. Рагимов, Ф. Т. Кулиев, К. Ш. Исламов. Худатское зем- летрясение 10 мая 1963 года	40

Геология нефти

- А. А. Саркисов. Влияние температуры на отмыв нефти с поверхности карбонатных пород 42

География

- Р. Л. Рейфман. О соотношении прямой, рассеянной и суммарной радиации над Южным Каспием 45

Медицина

- А. М. Эфендиев, А. М. Алиев, А. С. Гасанов. Новая реакция на фосфорилидоксаль и ее спектрофотометрическое изучение 49

Физиотерапия

- Ю. Н. Филиппов, Д. М. Гусейнов, Ф. М. Эфендиева, А. Х. Будагян. Проникновение нафтеновых кислот, содержащихся в лечебных грязях, через кожу 53

Агрохимия

- Н. А. Агаев. Содержание подвижной меди в основных типах почв Закатальского района 58

Биология почв

- Л. А. Бабабекова. Характеристика фауны основных типов почв Ленкоранской субтропической зоны 63

Физиология животных

- М. С. Гафулов. Влияние фолликулина на надпочечники, половые железы и половые органы у крыс-самцов 69

Цитология растений

- Ю. М. Агаев, Е. Е. Федорова. О двудерных клетках и амитозе у диплоидной и полиплоидной шелковицы 73

Археология

- Рашид Геюшев. Каменные идолы нового типа 77
Г. Д. Джавадов. О терминах «джут» и «хыш» 80

Подписано к печати 1/IX 1966 г. Формат бумаги 70×108¹/₁₆. Бум. лист. 2,75.
Печ. лист. 7,54. Уч.-изд. лист. 6,46. ФГ:06034. Заказ. 115.
Тираж 820. Цена 40 коп.

Типография «Наука» Комитета по печати при Совете Министров
Азербайджанской ССР. Баку, Рабочий проспект, 96.